

جاءدات

۱ - کدام یک از عبارت‌های زیر به درستی بیان شده است؟

۱) حرکت بدون دوران یک جسم با بردار آزاد نمایش داده می‌شود.

۲) کنش یک نیروی خارجی بروی یک جسم صلب را می‌توان بعنوان یک بردار ثابت در نظر گرفت.

۳) کنش یک نیرو بروی یک جسم تغییر شکل پذیر یا غیر صلب بوسیله بردار لغزان نمایش داده می‌شود.

۴) هیچ‌کدام

۲ - مولفه و تصویر نیروی F در امتداد محورهای a و b چقدر می‌باشد؟ (۳)

$$\cos 15^\circ = \frac{F}{\sqrt{2}} \quad \text{and} \quad \frac{\sin 15^\circ}{\sin 12^\circ} = \frac{f_a}{f_b}$$

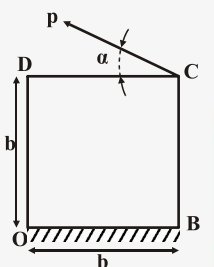
$$(1) \quad \begin{cases} f'_a = 1/\sqrt{2} & \text{تصویر: } \\ f_a = 1/\sqrt{2} & \text{مولفه: } \end{cases}$$

$$(2) \quad \begin{cases} f'_b = 3/\sqrt{2} & \text{تصویر: } \\ f_b = 3/\sqrt{2} & \text{مولفه: } \end{cases}$$

$$(3) \quad \begin{cases} f'_a = 3/\sqrt{2} & \text{تصویر: } \\ f_a = 3/\sqrt{2} & \text{مولفه: } \end{cases}$$

$$(4) \quad \begin{cases} f'_b = 1/\sqrt{2} & \text{تصویر: } \\ f_b = 1/\sqrt{2} & \text{مولفه: } \end{cases}$$

۳ - جعبه‌ای مطابق شکل به وزن w روی سطح افقی در حالت سکون قرار دارد حداقل نیروی P با زاویه α که برای دوران جعبه لازم می‌باشد، برابر است با:

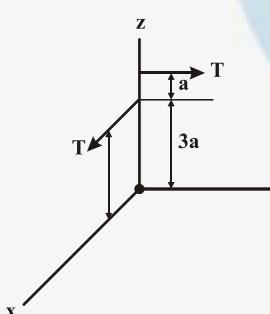


$$P = \frac{w}{2\sqrt{2}} \quad \alpha = 30^\circ \quad (2)$$

$$P = \frac{w}{2\sqrt{2}} \quad \alpha = 45^\circ \quad (1)$$

۴) نیاز به دانستن اطلاعات مربوط به ضریب اصطکاک هستیم.

$$P = \frac{w}{\sqrt{2}} \quad \alpha = 45^\circ \quad (3)$$



۴ - کدام گزینه مختصات نقطه P در صفحه $y-z$ که خط اثر پیچه از آن می‌گذرد را به درستی نشان می‌دهد؟

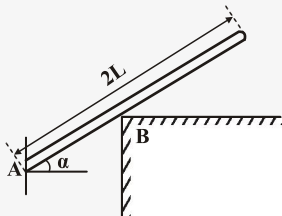
$$y = \frac{\gamma}{2}a \quad z = 0 \quad (2)$$

$$y = \frac{\Delta}{2}a \quad z = \frac{3}{2}a \quad (1)$$

$$y = \frac{3}{2}a \quad z = \frac{\Delta}{2}a \quad (4)$$

$$y = 0 \quad z = \frac{\gamma}{2}a \quad (3)$$

۵ - اگر وزن میله را w فرض کنیم، نیروهای تکیه‌گاهی در نقاط A و B به ترتیب در کدام گزینه به درستی بیان شده‌اند؟ (از اصطکاک صرف‌نظر می‌کنیم).



$$F_B = \frac{w}{\sin \alpha} \quad F_A = wtg \alpha \quad (2)$$

$$F_B = wtg \alpha \quad F_A = \frac{w}{\sin \alpha} \quad (1)$$

$$F_B = \frac{w}{\cos \alpha} \quad F_A = wtg \alpha \quad (4)$$

$$F_B = wtg \alpha \quad F_A = \frac{w}{\cos \alpha} \quad (3)$$

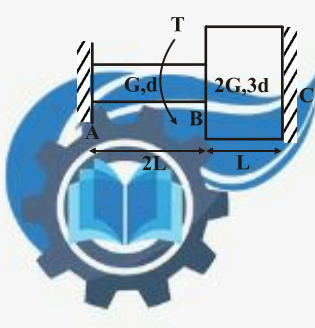
۶ - اگر گشتاور پیچشی T را به تدریج افزایش دهیم کدام بخش از میله دیرتر تسلیم می‌شود؟

(۱) میله AB

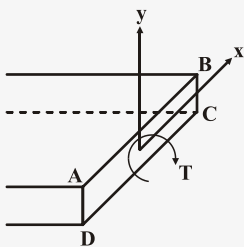
(۲) میله BC

(۳) همزمان با هم دو میله تسلیم می‌شوند.

(۴) داده‌های مساله کافی نیست.

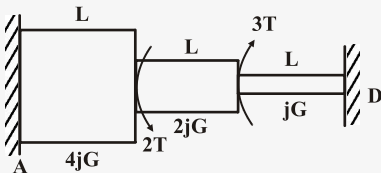


۷ - کدام گزینه پیچش مقاطع مستطیلی را به درستی شرح می‌دهد؟



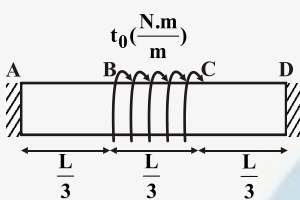
- (۱) تنش برشی در گوشه‌های A و C و D صفر می‌باشد و تنش برشی ماقریم در وسط اضلاع BC و AD رخ می‌دهد.
- (۲) تنش برشی روی اضلاع AB و DC صفر می‌باشد و حداکثر آن در گوشه‌های A و B و D و C رخ می‌دهد.
- (۳) تنش برش ماقریم روی اضلاع AB و DC و در گوشه‌های A و B و C و D صفر می‌باشد.
- (۴) تنش برش ماقریم به نسبت اضلاع مستطیل بستگی ندارد.

۸ - با توجه به شکل داده شده، گشتاور عکس العمل در نقطه D کدام است؟



- (۱) T
- (۲) ۵
- (۳) ۳
- (۴) ۷

۹ - در شکل زیر کدام گزینه زاویه پیچش وسط تیر را به درستی بیان می‌کند؟



- (۱) $\frac{5}{5} jG$
- (۲) $\frac{7}{5} jG$
- (۳) $\frac{1}{12} jG$
- (۴) $\frac{6}{7} jG$

۱۰ - اگر جسمی با ضریب پواسون ν در حالت کرنش دو بعدی باشد آن‌گاه مولفه کرنش در جهت x کدام گزینه خواهد بود؟

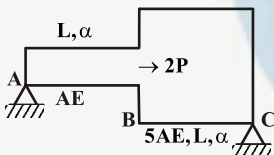
$$\varepsilon_x = \frac{1}{\nu} ((1+\nu^2) \sigma_x + \nu(1+\nu) \sigma_y) \quad (۲)$$

$$\varepsilon_x = \frac{1}{\nu} ((1-\nu^2) \sigma_x - \nu(1+\nu) \sigma_y) \quad (۱)$$

$$\varepsilon_x = \frac{1}{\nu} ((1+\nu) \sigma_x - \nu(1+\nu) \sigma_y) \quad (۴)$$

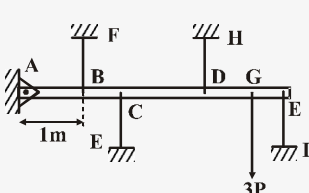
$$\varepsilon_x = \frac{1}{\nu} ((1-\nu) \sigma_x - \nu(1+\nu) \sigma_y) \quad (۳)$$

۱۱ - برای آن که تنش در میله AB صفر شود، دمای میله چقدر باید افزایش یابد؟



- (۱) $\frac{5}{5} \alpha$
- (۲) $\frac{5}{5} \alpha$
- (۳) $\frac{5}{4} \alpha$
- (۴) $\frac{5}{5} \alpha E$

۱۲ - در شکل زیر با فرض اینکه میله AE صلب باشد، اگر نیروی P برابر 20 kN باشد، نیروی مربوط به کابل‌های BF و EC و DH کدامند؟



$$AB = BC = CD = DG = GE = 1m$$

$$F_{BF} = \frac{6}{5} P \text{ و } F_{EC} = 0 \text{ و } F_{DH} = \frac{18}{5} P \quad (۱)$$

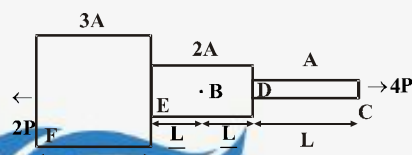
$$F_{BF} = \frac{18}{5} P \text{ و } F_{EC} = \frac{6}{5} P \text{ و } F_{DH} = -\frac{3}{5} P \quad (۲)$$

$$F_{BF} = \frac{18}{5} P \text{ و } F_{EC} = \frac{6}{5} P \text{ و } F_{DH} = -\frac{3}{5} P \quad (۳)$$

(۴) داده‌ها برای حل مساله کافی نیست.

۱۳ - در میله زیر سطح مقطع به صورت پله‌ای تغییر می‌کند. میله از جنس فولاد با چگالی 78 g/cm^3 ساخته شده است. میله را مطابق شکل

تحت نیروی $2P$ و $4P$ قرار می‌دهیم. تنش در نقطه B کدام گزینه است؟



- (۱) $\frac{3}{A}$
- (۲) $\frac{5}{5A}$
- (۳) $\frac{4}{3A}$
- (۴) $\frac{3}{3A}$

۱۴ - ماده‌ای دارای مشخصات $S_{ut} = 400 \text{ MPa}$ و $S_{uc} = 100 \text{ MPa}$ می‌باشد. این ماده تحت کدامیک از بارگذاری‌های زیر می‌شکند؟

$$\sigma_1 = -200 \quad \sigma_2 = 70 \quad (۴) \quad \sigma_1 = 40 \quad (۳) \quad \sigma_2 = -200 \quad \sigma_1 = -150 \quad (۲) \quad \sigma_2 = 60 \quad (۲) \quad \sigma_1 = 70 \quad (۱)$$

۱۵- قطعه‌ای تحت تنش پیچشی ثابت 15° MPa و تنش متناوب خمثی 200 MPa در صورتی که مقاومت نهایی 500 و حد دوام اصلاح شده 65° مقاومت نهایی قطعه باشد، ضریب اطمینان طراحی به روش گودمن کدام است؟

(۱) ۱/۱۵ (۲) ۰/۹۲ (۳) ۰/۳ (۴) ۰/۸۸

۱۶- یک قطعه تحت تنش کاملاً معکوس 5_1 ، 20° ساعت و تحت تنش 5_2 ، 40° ساعت کار می‌کند. اگر 10° ساعت تحت تنش 5_1 کار کند و پس از آن تحت تنش 5_2 قرار گیرد، چند ساعت دوام می‌آورد؟

(۱) ۳۵ ساعت (۲) ۳۰ ساعت (۳) ۲۵ ساعت (۴) ۲۰ ساعت

۱۷- دو میله با مساحت سطح مقطع یکسان و جنسی مشابه جهت انتقال توان انتخاب شده‌اند. اگر مقطع یکی از میله‌ها به صورت دایره‌ای توپر و دیگری به صورت دایره‌ای توخالی باشد، با کدام یک از میله‌ها می‌توان قدرت بیشتری را منتقل نمود؟

(۱) با هر دو میله می‌توان یکسانی را منتقل نمود. (۲) بستگی به ممان اینرسی مقطع دارد. (۳) میله توخالی (۴) میله توپر

۱۸- کدام یک از عبارات زیر در مورد تئوری‌های شکست مواد شکل پذیر به درستی بیان شده‌اند؟

(۱) تئوری کلمب مور مطمئن ترین تئوری و تئوری بهبود یافته مور دقیق‌ترین تئوری می‌باشد.

(۲) تئوری ماکزیمم تنش برشی مطمئن‌ترین تئوری و تئوری انرژی اعوجاجی دقیق‌ترین تئوری می‌باشد.

(۳) تئوری ماکزیمم تنش عمودی مطمئن ترین تئوری و تئوری انرژی واپیچش دقیق‌ترین تئوری می‌باشد.

(۴) تئوری انرژی اعوجاجی مطمئن‌ترین تئوری و تئوری ماکزیمم تنش برشی دقیق‌ترین تئوری می‌باشد.

۱۹- قطر داخلی یک استوانه جدار نازک دو سر بسته 300 میلی‌متر و ضخامت آن 10 میلی‌متر می‌باشد. اگر فشار داخلی استوانه M_{40} و حد تسلیم فلز M_{96} باشد ضریب اطمینان در مقابل تغییر شکل پلاستیک برای نقطه‌ای روی سطح داخلی استوانه چقدر است؟ (از تئوری ماکزیمم تنش برشی استفاده شود).

(۱) ۳ (۲) ۲/۵ (۳) ۲/۳ (۴) ۱/۵

۲۰- در صورتی که بارگذاری روی محوری به صورت $\sigma_a = 100$ MPa و $\sigma_m = 50$ MPa و محور هم دارای جنسی با $S_{ut} = 800$ MPa و $S_y = 55$ MPa و حد دوام تصحیح شده برابر $S_e = 300$ MPa باشد و برای بررسی خستگی از معیار گودمن استفاده کنیم، گزینه صحیح کدام است؟

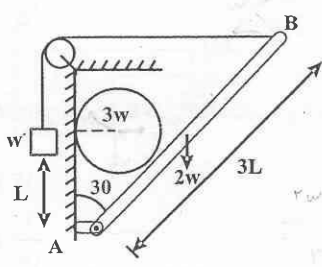
(۱) با ضریب اطمینان $4/0$ گسیخته نمی‌شود.

(۲) با ضریب اطمینان $5/2$ گسیخته نمی‌شود.

(۳) با ضریب اطمینان 2 گسیخته نمی‌شود.



۲۱- اگر سطح تماس گوی با میله و دیواره بدون اصطکاک باشد، نیروی وزن w' برای حفظ تعادل چه مقدار باید باشد؟

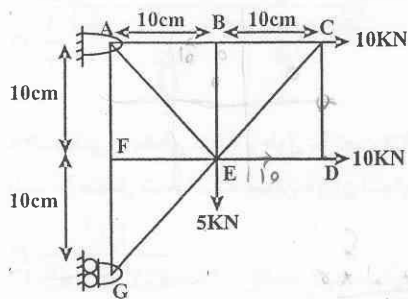


$$5\sqrt{3}w \quad (1)$$

$$\frac{5\sqrt{3}}{2}w \quad (2)$$

$$\frac{5\sqrt{3}}{3}w \quad (3)$$

$$\frac{5\sqrt{3}}{4}w \quad (4)$$



۲۲- نیروی عضو AE در خرپای شکل زیر کدام است؟

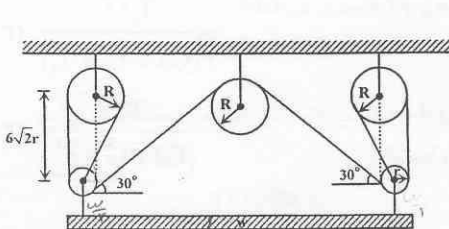
$$10\sqrt{2} \quad (1)$$

$$5\sqrt{2} \quad (2)$$

$$\frac{15\sqrt{2}}{2} \quad (3)$$

$$15\sqrt{2} \quad (4)$$

۲۳- در صورتی که قطر قرقه بزرگ ۴ برابر شعاع قرقه کوچک باشد، میزان کشش طناب بر حسب وزن w کدام گزینه است؟

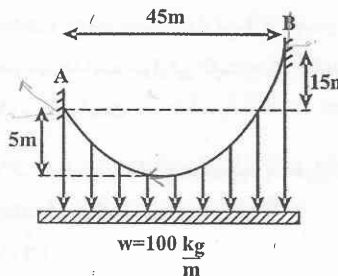


$$\frac{w}{9+4\sqrt{2}} \quad (1)$$

$$\frac{5}{11} \quad (2)$$

$$\frac{3}{11}w \quad (3)$$

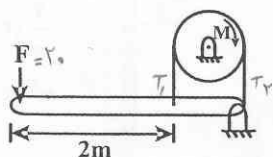
$$\frac{3w}{9+4\sqrt{2}} \quad (4)$$



۲۴- کمترین نیروی کشش کابل زیر کدام است؟

- ۱) 2250 N
- ۲) 2500 N
- ۳) 1225 N
- ۴) 1250 N

۲۵- با اعمال نیروی $F = 20\text{ N}$ اصطکاک تسمه باعث ترمز قرقره، به شعاع 25 cm می‌گردد، اگر $\mu = 0.2$ باشد، مقدار گشتاور ترمز چقدر است؟



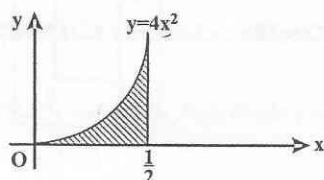
$$M = 25e^{\frac{\pi}{2}} (1 - e^{-\frac{\pi}{2}}) \quad (1)$$

$$M = 100e^{\frac{\pi}{2}} (1 - e^{-\frac{\pi}{2}}) \quad (2)$$

$$M = 100e^{-\frac{\pi}{2}} (e^{\frac{\pi}{2}} - 1) \quad (3)$$

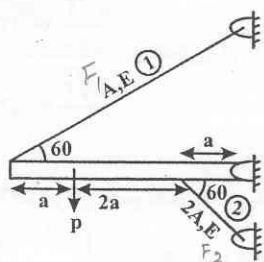
$$M = 25e^{-\frac{\pi}{2}} (e^{\frac{\pi}{2}} - 1) \quad (4)$$

۲۶- مقدار تقریبی شعاع ژیراسیون قطبی سطح زیر حول نقطه ۰ کدام است؟



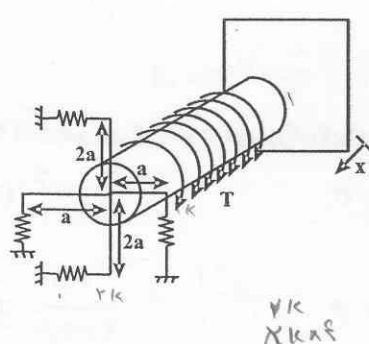
- ۱) ۲
- ۲) ۱
- ۳) ۴
- ۴) ۰/۵

۲۷- اگر نیروی داخلی میله‌های ۱ و ۲ به ترتیب F_1 و F_2 باشد، نسبت $\frac{F_2}{F_1}$ چقدر است؟



- ۱) ۱۶
- ۲) $\frac{1}{16}$
- ۳) ۲
- ۴) $\frac{1}{2}$

۲۸- شفتی با مقطع دایره و طول L تحت لنگر پیچشی $T_o x = T_o L^3$ در تمام طول خود قرار گرفته و در انتهای از طریق میله‌های صلب به ۴ فنر با ثابت K متصل شده است، میزان دوران انتهای شفت چقدر است؟



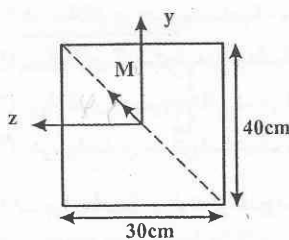
$$\frac{T_o L^3}{GJ + 4Ka^3} \quad (1)$$

$$\frac{T_o L^3}{3(GJ + 10Ka^3)} \quad (2)$$

$$\frac{T_o L^3}{7(GJ + 4Ka^3 L)} \quad (3)$$

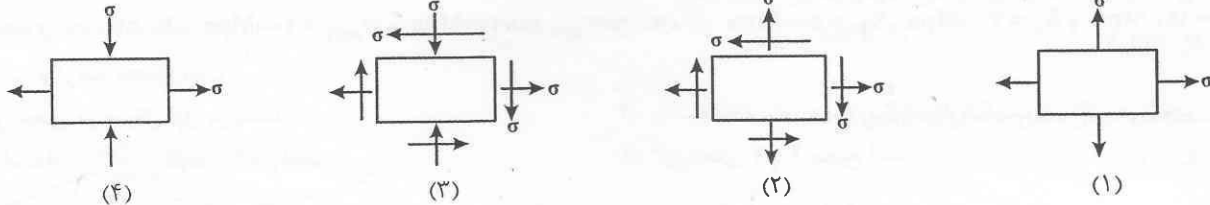
$$\frac{T_o L^3}{(GJ + 10Ka^3)} \quad (4)$$

۲۹- تیر شکل زیر تحت لنگر خمشی قرار گرفته، اگر زاویه φ نسبت به محور مثبت Z سنجیده شود، کدام گزینه در مورد محل تار خنثی صحیح است؟

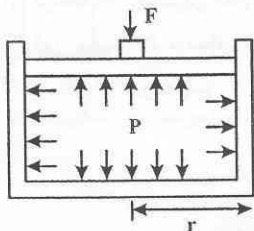


- (۱) محور خنثی همواره در بازه $\varphi < 53^\circ$ قرار دارد.
- (۲) محور خنثی همواره در بازه $\varphi < 36^\circ$ قرار دارد.
- (۳) محور خنثی همواره در بازه $\varphi > 90^\circ$ قرار دارد.
- (۴) محور خنثی همواره در بازه $\varphi < 90^\circ$ قرار دارد.

۳۰- در کدام یک از المان‌های شکل زیر حالت خمش خالص برقرار است؟



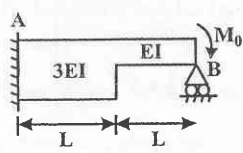
۳۱- یک استوانه جدار نازک با مقطع دایره‌ای تحت فشار P قرار دارد، در صورتی که ضریب اطمینان برای معیار فون میسز برابر ۱/۵ باشد، حداقل نیرویی که می‌توان به پیستون وارد کدام است؟ (تش تشییم ماده σ_y می‌باشد)



$$\frac{4\pi\sigma_y tr}{\sqrt{3}} \quad (2) \quad \frac{4\pi\sigma_y tr}{3\sqrt{3}} \quad (1)$$

$$\frac{4\sigma_y t}{3\sqrt{3}r} \quad (4) \quad \frac{4\sigma_y t}{\sqrt{3}r} \quad (3)$$

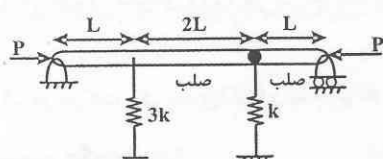
۳۲- نیروی عکس العمل تکیه‌گاه B چقدر است؟



$$\frac{2M_0}{3L} \quad (2) \quad \frac{2M_0}{2L} \quad (1)$$

$$\frac{4M_0}{3L} \quad (4) \quad \frac{2M_0}{4L} \quad (3)$$

۳۳- بار بحرانی سیستم شکل زیر چقدر است؟



$$2KL \quad (2) \quad KL \quad (1)$$

$$\frac{KL}{4} \quad (4) \quad \frac{KL}{2} \quad (3)$$

۳۴- در سیستم‌های انتقال قدرت انعطاف‌پذیر کدام گزینه صحیح نمی‌باشد؟

- ۱) راندمان تسمه‌های دندانه دار بین ۹۷ تا ۹۹ درصد می‌باشد.
- ۲) برای کار آرام و یکنواخت زنجیره و چرخ زنجیر در سرعتهای متوسط و بالا تعداد دندانه‌های چرخ زنجیر محرک معمولاً حداقل ۱۷ انتخاب می‌شود.
- ۳) زنجیره‌های غلتکی در اثر ضعف استحکام کشش می‌شکنند.
- ۴) در کابلهای فلزی با بافت منظم، سیم‌ها و رشته‌ها در جهت مخالف تابیده می‌شوند.

۳۵- در مجموعه چرخدنده ساده، اگر نسبت سرعت افزایش یابد مقدار استحکام دوام تماسی پیویون چه تغییری می‌کند؟

- ۱) افزایش می‌یابد.
- ۲) کاهش می‌یابد.
- ۳) تغییر نمی‌کند.
- ۴) نمی‌توان اظهار نظر کرد.

۳۶- کلاچ مخروطی نو با قطر بزرگ برابر 100mm و قطر کوچک برابر 40mm دارای زاویه مخروط 30° می‌باشد. اگر ضریب اصطکاک برابر باشد و نیروی عمل کننده برابر 10kN به کلاچ اعمال گردد گشتاور منتقله برابر با چه عددی است؟

$$(1) 444\text{Nm} \quad (4) \quad (2) 11965\text{Nm} \quad (3) \quad (3) 148\text{Nm} \quad (2) \quad (1) 140\text{N.m}$$

۳۷ - کدام گزینه در مورد انواع روانکاری صحیح نمی‌باشد؟

- ۱) در روانکاری هیدرودینامیک و هیدرواستاتیک لایه نسبتاً ضخیم روانکار سبب جدایی سطوح می‌شود.
- ۲) روانکاری الاستوهدیرودینامیک برای سطوح دارای حرکت غلتشی به کار می‌رود.
- ۳) روانکاری هیدرودینامیک در اعداد سامرفلید بزرگ به روانکاری مرزی نزدیک می‌شود.
- ۴) در روانکاری هیدررواستاتیک نیازی به حرکت نسبی سطوح نمی‌باشد.

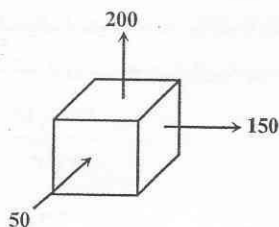
۳۸ - برای آبپندی لوله از فلنچ استفاده می‌شود. اگر پیچ $M_{20 \times 2}$ به تعداد ۱۲ عدد مورد نظر باشد، قطر فلنچ کدام گزینه می‌تواند باشد؟

- | | | | |
|-----------|-----------|-----------|-----------|
| ۲۰۰mm (۴) | ۳۴۰mm (۳) | ۲۴۸mm (۲) | ۲۲۹mm (۱) |
|-----------|-----------|-----------|-----------|

۳۹ - محوری تحت تنש‌های $S_e = 150\text{ MPa}$ و $S_y = 300\text{ MPa}$. $S_{ut} = 500\text{ MPa}$ و $\sigma_{min} = -100\text{ MPa}$ و $\sigma_{max} = 200\text{ MPa}$ قرار دارد. اگر باشد، کدام گزینه صحیح است؟

- ۱) با استفاده از تئوری سادربرگ چار شکست خستگی می‌شود.
- ۲) گزینه‌های ۲ و ۳ صحیح است.
- ۳) این محور در سیکل اول می‌شکند.
- ۴) با استفاده از تئوری گودمن این است.

۴۰ - المان نشان داده شده در شکل مربوط به ماده شکل پذیر می‌باشد، در مورد ضربه اطمینان کدام گزینه صحیح می‌باشد؟



۱) بیشترین تنش محوری > فون میسز > ترسکا

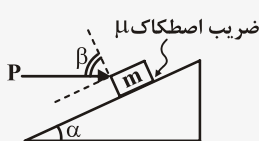
۲) ترسکا = بیشترین تنش محوری > فون میسز

۳) فون میسز > ترسکا > بیشترین تنش محوری

۴) ترسکا > فون میسز > بیشترین تنش محوری



۴۱- با توجه به شکل مقابل نسبت بیشترین مقدار P به کمترین مقدار آن با فرض اینکه جسم در حال تعادل بماند کدام است؟



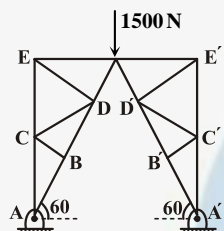
$$\frac{\tan \alpha + \mu \tan \beta}{\tan \beta - \mu \tan \alpha} \quad (2)$$

$$\frac{\tan \alpha + \mu}{\tan \alpha - \mu} \quad (1)$$

۴) نیروی P را می‌توان تا مرحله ممکن افزایش داد.

$$\frac{(\mu + \tan \alpha)(\mu + \tan \beta)}{(\tan \alpha - \mu)(\tan \beta - \mu)} \quad (3)$$

۴۲- در شکل مقابل یک خرپای صفحه‌ای متقاضی مشاهده می‌کنید نیرو در هر یک عضوهای AB و $A'B'$ چند نیوتن است؟



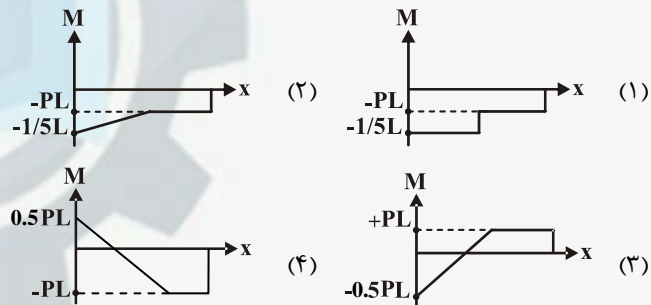
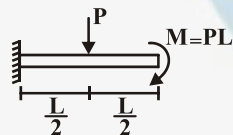
$$500\sqrt{3} \text{ N} \quad (1)$$

$$1500 \text{ N} \quad (2)$$

$$1000\sqrt{3} \text{ N} \quad (3)$$

$$1500\sqrt{3} \text{ N} \quad (4)$$

۴۳- نمودار لنگر خمی تیر نشان داده شده کدام است؟



۴۴- برای نگهداری یک کشتی، طنابی را یک دور کامل حول یک پایه پچیده‌اند، کشش وارد از کشتی برابر 250 kN می‌باشد. می‌خواهیم به وسیله کشش 50 kN از لغزیدن طناب جلوگیری کنیم، μ ضریب اصطکاک بین طناب و پایه برابر است با؟

$$0/31 \quad (2)$$

$$0/26 \quad (1)$$

۴) نمی‌توان با این نیرو در حالت تعادل نگه داشت.

$$0/42 \quad (3)$$

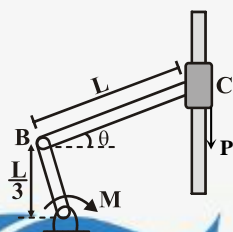
۴۵- مقدار M را برای حفظ تعادل در شکل مقابل برحسب P و L و g بدست آورید:

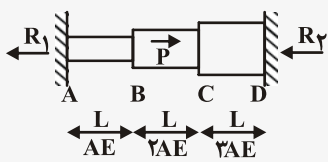
$$M = PL \tan \theta \quad (1)$$

$$M = \frac{PL}{3} \tan \theta \quad (2)$$

$$M = \frac{PL}{3} \cot \theta \quad (3)$$

$$M = PL \tan \theta \quad (4)$$





۴۶- کدام رابطه بین نیروهای تکیه‌گاهی سازه برقرار است؟

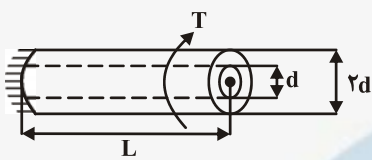
$$R_1 = \frac{2}{9} R_2 \quad (2)$$

$$R_1 = R_2 \quad (1)$$

$$R_1 = \frac{2}{3} R_2 \quad (4)$$

$$R_1 = \frac{q}{2} R_2 \quad (3)$$

۴۷- یک میله آلومینیومی (AL) داخل یک لوله فولادی (st) مطابق شکل جا زده شده است. قطر میله d و قطر خارجی لوله $2d$ و طول آنها L است. مجموعاً در یک انتهای گیردار و در انتهای دیگر تحت کوپل پیچش T قرار دارند. اگر ضمن اعمال کوپل میله و لوله از هم جدا نشده و با هم بپیچند، نسبت کوپل تحمل شده توسط میله آلومینیومی به کوپل لوله فولادی $\left(\frac{T_{AL}}{T_{st}}\right)$ را بدست آورید؟



$$(G_{AL} = 8 \cdot \frac{KN}{mm^2}, G_{st} = 20 \cdot \frac{KN}{mm^2})$$

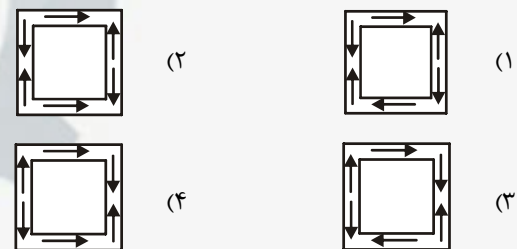
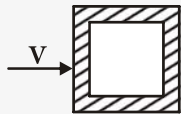
$$\frac{75}{2} \quad (2) \quad \frac{1}{6} \quad (1)$$

$$\frac{2}{75} \quad (4) \quad \frac{1}{40} \quad (3)$$

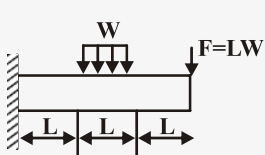
۴۸- کدام گزینه صحیح نیست؟

- (۱) تنش برشی در یک مقطع دایره‌ای در دورترین نقطه ماقزیم است، اما در یک مقطع مستطیلی در دورترین نقطه صفر است.
- (۲) اگر میله‌ای از جنس نرم تحت پیچش گسیخته شود، سطح مقطع گسیختگی عمود بر محور میله می‌باشد.
- (۳) حداکثر تنش برشی در میله‌های راست با سطح مقطع مستطیلی در طول خط وسط ضلع باریک‌تر رخ می‌دهد.
- (۴) اگر میله‌ای از جنس ترد تحت پیچش گسیخته شود، تحت زاویه ۴۵ درجه شکست می‌خورد.

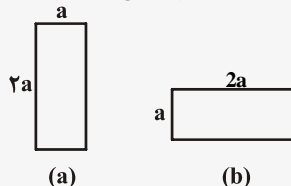
۴۹- برای مقطع شکل مقابل که تحت کنترل نیروی برشی افقی V است، کدامیک از جریان‌های برشی در مقطع صحیح می‌باشد؟



۵۰- یک تیر مطابق شکل بارگذاری شده است. با استفاده از مقدار فلز یکسان، کدام مقطع باعث تنش محوری بیشتری در تیر می‌شود؟



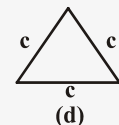
(۴) مقطع



(۳) مقطع



(۲) مقطع



(۱) مقطع

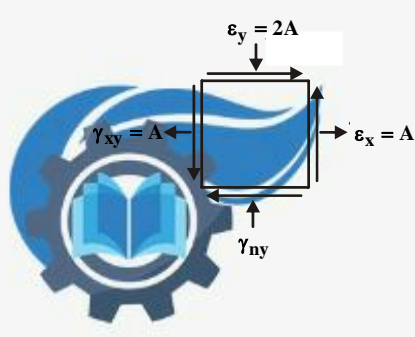
۵۱- در المان نشان داده شده در حالت تنش مسطح، حداکثر کرنش برشی کدام است؟

$$\sqrt{2}A \quad (1)$$

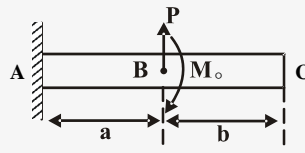
$$2A \quad (2)$$

$$\sqrt{10}A \quad (3)$$

$$10A \quad (4)$$

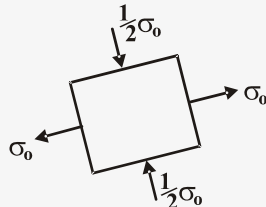


۵۲- تیر AB در نقطه B تحت ممان خالص M_0 و نیروی قائم P قرار دارد. نسبت $\frac{M_0}{P}$ را بیابید.



- | | |
|---------------|-----|
| b/2 | (۱) |
| 2/2 | (۲) |
| $\frac{a}{2}$ | (۳) |
| a/2 | (۴) |

۵۳- با توجه به شکل زیر حداکثر مقدار S_{UT} که باشد تا طبق معیار کولمب - مور ضریب اطمینان $n=2$ شود. $S_{UT} = 7500 \text{ PSI}$



- | | |
|--------------------|-----|
| 3750 PSI | (۱) |
| 5625 PSI | (۲) |
| 3000 PSI | (۳) |
| 6000 PSI | (۴) |

۵۴- یک استوانه جداره نازک به قطر داخلی d و ضخامت t تحت تاثیر فشار داخلی P قرار گرفته است اگر $\frac{d}{t}$ باشد، تنش برشی بیشینه کدام است؟

- | | |
|------------------|-----|
| $\frac{Pd}{16t}$ | (۱) |
| $\frac{Pd}{4t}$ | (۲) |
| $\frac{Pd}{8t}$ | (۳) |
| $\frac{Pd}{2t}$ | (۴) |

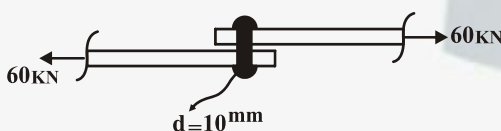
۵۵- قطعه‌ای از یک ماده نرم با مشخصات $S_e = 200 \text{ MPa}$ و $S_{ut} = 500 \text{ MPa}$ در نقطه بحرانی خود تحت تاثیر یک تنش استاتیکی به میزان 25 MPa و یک تنش نوسانی با میانگین 100 MPa و دامنه 75 MPa قرار دارد، ضریب اطمینان قطعه برای عمر نامحدود چقدر است؟ (براساس تئوری اصلاح شده Goodman)

- | | |
|-------|-----|
| ۰/۶۲۵ | (۱) |
| ۱/۶ | (۲) |
| ۱/۷۴ | (۳) |
| ۲/۶۷ | (۴) |

۵۶- در یک پیچ انتقال قدرت دونخه با تکیه‌گاه بدون اصطکاک که در مرز خود قفلی قرار دارد، با فرض ثابت ماندن بقیه پارامترها، اگر قطر سردنه (addendum) و قطر پای دنده (dedendum) و گام پیچ هریک ۲ برابر شود، در وضعیت خود قفلی آن چه تغییری رخ می‌دهد؟

- (۱) وضعیت خودقفلی علاوه بر پارامترهای فوق به زاویه پیش‌روی نیز بستگی دارد.
- (۲) سیستم در آستانه آزادسازی از شرایط خود قفلی قرار می‌گیرد.
- (۳) سیستم از حالت خودقفلی خارج می‌شود.
- (۴) سیستم همچنان در مرز خود قفلی باقی می‌ماند.

۵۷- اگر تنش برشی مجاز پین 140 MPa باشد، چه تعداد پین برای اتصال مطمئن در شکل زیر لازم است؟



- | | |
|---|-----|
| ۶ | (۱) |
| ۵ | (۲) |
| ۲ | (۳) |
| ۳ | (۴) |

۵۸- در یک فنر کششی مارپیچ، قطر مفتول فنر $1/2 \text{ mm}$ و قطر خارجی فنر 12 mm می‌باشد اگر پیش تنش مجاز برشی این فنر 100 MPa باشد، نیروی پیش‌بار کدام است؟

- | | |
|-------|-----|
| ۶۰kN | (۱) |
| ۴۸۴kN | (۲) |
| ۶۰۰kN | (۳) |
| ۴۱۵kN | (۴) |

۵۹- بلبرینگ‌های یک ردیفه‌ی شیار عمیق (Deep Groove):

- (۱) می‌توانند ترکیبی از نیروهای شعاعی و محوری را تحمل کنند.
- (۲) در حضور بار محوری می‌توانند بار شعاعی را تحمل کنند.
- (۳) به میزان دلخواه (تا حدود طراحی) می‌توانند بار محوری تحمل کنند.
- (۴) تنها در حضور بار شعاعی می‌توانند به میزان محدودی بار محوری تحمل کنند.

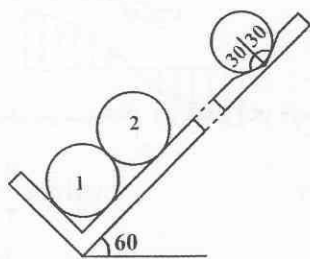
۶۰- دو فنر مارپیچ فشاری درنظر بگیرید که دارای تعییر طول یکسان هستند و تنها پارامتر تعداد حلقه‌های آن‌ها متفاوت است، کدام گزینه صحیح است؟

- (۱) ضریب فنریت دو فنر یکسان خواهد بود.
- (۲) در فنر با حلقه‌های کمتر انرژی بیشتری ذخیره می‌شود.
- (۳) در هر دو فنر به مقدار مساوی انرژی ذخیره می‌شود.
- (۴) ضریب فنریت حلقه‌های کمتر، کمتر است.





۶۱- در شکل زیر دو گوی همگن و صاف به وزن W داخل شیاری با زاویه 60° درجه قرار گرفته‌اند. نیرویی که از طرف تکیه‌گاه به گوی (۱) وارد می‌شود کدام است؟

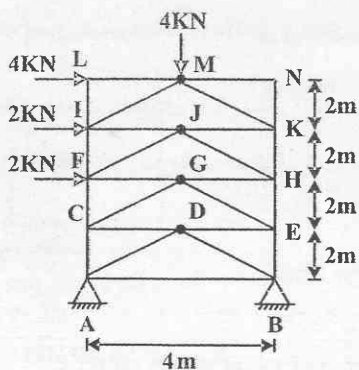


$$\frac{4}{3}W(\sqrt{3}-1) \quad (1)$$

$$\frac{4}{3}W(\sqrt{3}+1) \quad (2)$$

$$\frac{2}{3}W(\sqrt{3}-1) \quad (3)$$

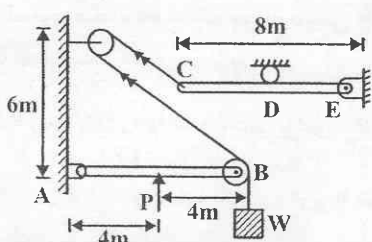
$$\frac{2}{3}W(\sqrt{3}+1) \quad (4)$$



۶۲- نیروی عضو CG در خرپای شکل زیر کدام است؟

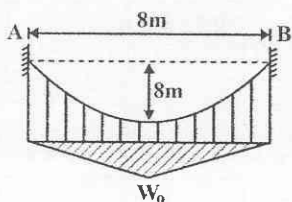
- (۱) $9\sqrt{2}$ فشاری
- (۲) $9\sqrt{2}$ کششی
- (۳) $4\sqrt{2}$ کششی
- (۴) $4\sqrt{2}$ فشاری

۶۳- در صورتی که تکیهگاه D در وسط تیر CE باشد، عکس العمل قائم مفصل E کدام است؟



- (۱) $\frac{3P}{4}$
- (۲) P
- (۳) $\frac{7P}{4}$
- (۴) $\frac{5}{4}P$

۶۴- کابل به چرم ناچیز از نقاط ثابت A و B آویزان شده و بار گستردگی W که نسبت به X متغیر است را تحمل می‌کند، شیب کابل در نقاط A و B کدام است؟



- (۱) ۴
- (۲) ۱
- (۳) ۲
- (۴) ۳

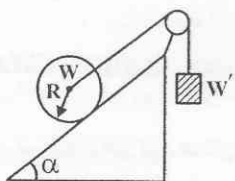
۶۵- یک جسم کروی به وزن W روی سطح شیبداری قرار گرفته و از طریق طنابی به وزنهای به وزن W' متصل شده است، وزن W' برای اینکه در لحظه‌ی شروع حرکت جسم، لغزش و غلتی همزمان صورت گیرد کدام است؟

$$\text{ضریب اصطکاک لغزشی} = \mu \quad \text{و ضریب اصطکاک غلتی} = a = \\ w(\sin \alpha - \mu \cos \alpha) \quad (1)$$

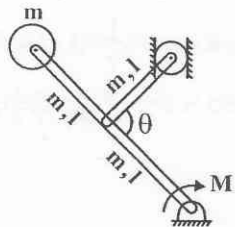
$$w(\cos \alpha - \mu \sin \alpha) \quad (2)$$

$$w(\tan \alpha - \mu) \quad (3)$$

$$\frac{w}{\cos \alpha} (\tan \alpha - \mu) \quad (4)$$



۶۶- در سیستم شکل زیر مقدار لنگر لازم جهت تعادل کدام است؟



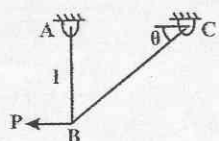
$$\frac{3}{4} mgl \cos \frac{\theta}{2} \quad (2)$$

$$\frac{3}{2} mgl \cos \frac{\theta}{2} \quad (1)$$

$$\frac{11}{4} mgl \cos \frac{\theta}{2} \quad (4)$$

$$\frac{11}{2} mgl \cos \frac{\theta}{2} \quad (3)$$

۶۷- قابی مطابق شکل زیر باز p در مفصل B را حمل می‌کند، تنش قائم مجاز در هر دو میله AB و BC یکسان است، زاویه θ چه میزان باشد تا وزن سازه حداقل شود؟



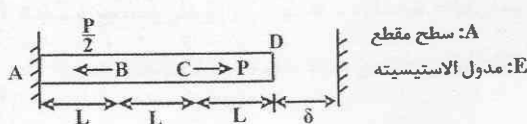
$$\sin^{-1} \frac{1}{3} \quad (1)$$

$$\sin^{-1} \frac{1}{\sqrt{3}} \quad (2)$$

$$\cos^{-1} \frac{1}{\sqrt{3}} \quad (3)$$

$$\cos^{-1} \frac{1}{3} \quad (4)$$

۶۸- میله شکل زیر تحت بارگذاری نشان داده شده قرار گرفته است، در صورتی که پس از اعمال بارگذاری میله به اندازه δ افزایش طول یابد میزان تنشی که در مقطع CD ایجاد می‌شود چه مقدار است؟



A: سطح مقطع
E: مدول الاستیسیته

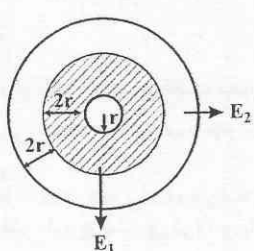
$$\frac{\Delta P}{2A} + \frac{\Delta E}{2L} \quad (1)$$

$$\frac{P}{2A} + \frac{\Delta E}{2L} \quad (2)$$

$$\frac{\Delta P}{2A} - \frac{\Delta E}{2L} \quad (3)$$

$$\frac{P}{2A} - \frac{\Delta E}{2L} \quad (4)$$

۶۹- تیر مرکب دو جنسی شکل زیر را تحت لنگر خمی M خم می‌کنیم، تنش ماکزیمم ایجاد شده در تیر چقدر است؟ ($E_1 = 2E_2$)



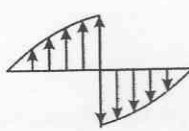
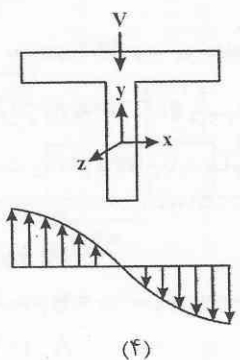
$$\frac{9M}{196\pi r^3} \quad (1)$$

$$\frac{5M}{216\pi r^3} \quad (2)$$

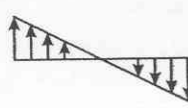
$$\frac{36M}{95\pi r^3} \quad (3)$$

$$\frac{20M}{95\pi r^3} \quad (4)$$

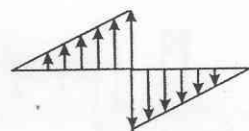
۷۰- در مقطع نشان داده شده، شکل شماتیک توزیع تنش برشی در قسمت بالایی مقطع کدام است؟



(3)



(2)



(1)

۷۱- تنش‌های اصلی برای تاسیور تنش زیر کدام است؟

$$-2\sigma, \sigma, \sigma \quad (1)$$

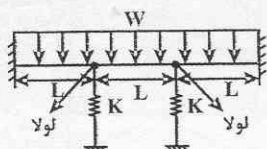
$$\sigma, \sigma, 0 \quad (2)$$

$$-\sqrt{2}\sigma, \sqrt{2}\sigma, 0 \quad (3)$$

$$-\sqrt{2}\sigma, \sqrt{2}\sigma, \sqrt{2}\sigma \quad (4)$$

$$\begin{bmatrix} 0 & \sigma & 0 \\ \sigma & 0 & \sigma \\ 0 & \sigma & 0 \end{bmatrix}$$

۷۲- تغییر مکان وسط تیر شکل زیر چه مقدار است؟ ($K = \frac{3EI}{L^3}$)



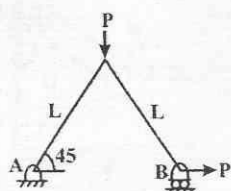
$$\frac{27WL^4}{384EI} \quad (1)$$

$$\frac{37WL^4}{384EI} \quad (2)$$

$$\frac{29WL^4}{384EI} \quad (3)$$

$$\frac{19WL^4}{384EI} \quad (4)$$

۷۳- جایه جایی افقی نقطه B در خرپای شکل زیر کدام است؟



$$\frac{PL^3}{6EI} \quad (1)$$

$$\frac{PL^3}{EI} \quad (2)$$

$$\frac{PL^3}{2EI} \quad (3)$$

$$\frac{PL^3}{4EI} \quad (4)$$

۷۴- در یک یاتاقان کامل لغشی با روان کاری هیدرودینامیک، اگر سرعت زاویه‌ای دوران محور N باشد، نسبت عدد سامر فیلد زمانی که یاتاقان با سرعت $3N$ در خلاف جهت محور بچرخد به حالتی که یاتاقان بدون سرعت زاویه‌ای باشد، چقدر است؟

- (۱) $\frac{1}{4}$ (۲) $\frac{1}{5}$ (۳) $\frac{1}{5}$ (۴) $\frac{1}{4}$

۷۵- برای ثابت کردن موقعیت محوری چرخدنده‌ی ساده بر روی شافت از پین مخروطی استفاده می‌شود. اگر شعاع انتهای بزرگ پین 5 mm و طول جای پین 100 mm باشد، شعاع انتهای کوچکتر پین برابر با چه عددی است؟

- (۱) 3 m (۲) 4 mm (۳) $4/8\text{ mm}$ (۴) 8 mm

۷۶- فنر مارپیچ فشاری فولادی با سرتخت و سنگ خورده دارای قطر مفتول 2 mm و قطر متوسط فنر 20 mm می‌باشد. اگر تعداد کل حلقه‌ها برابر 20 باشد، گام فنر برای این که پایداری فنر حفظ شود، چند میلیمتر است؟

- (۱) 6 mm (۲) $5/5\text{ mm}$ (۳) 7 mm (۴) $4/5\text{ mm}$

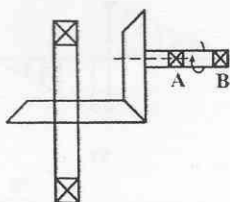
۷۷- در سیستم شکل زیر چرخدنده مخروطی دارای شعاع متوسط پینیون برابر 30 mm و چرخدنده برابر 60 mm و زاویه فشار برابر 30° می‌باشد، اگر زاویه گام 45° و سرعت فعلی دایره گام 20 m/s و سیستم توان 10 kw را منتقل کند، مقدار نیروی محوری در شافت افقی چه مقدار است و کدام یاتاقان باید ساجمه‌ای باشد؟

$$A, 250\text{ N} \quad (1)$$

$$B, 250\text{ N} \quad (2)$$

$$B, 204\text{ N} \quad (3)$$

$$A, 204\text{ N} \quad (4)$$



۷۸- در مورد تسمه‌ها کدام گزینه نادرست است؟

- (۱) تنش خمشی در تسمه‌های تخت فلزی با افزایش ضخامت تسمه افزایش می‌یابد.
(۲) از تسمه‌های تخت برای فوائل محوری زیاد استفاده می‌شود.

(۳) تسمه‌های ذوزنقه‌ای برای سرعت $4000\frac{\text{ft}}{\text{min}}$ مناسب می‌باشند.

(۴) همه‌ی موارد فوق صحیح است.

۷۹- در سیستم ترمز نواری اگر قطر طبلک برابر 100mm و ضخامت نوار برابر 10mm بوده و گشتاور منتقله برابر 10Nm و خریب اصطکاک بین نوار و طبلک $2/0^\circ$ و مقدار زاویه تماس 60° باشد، مقدار ماکزیمم فشار برابر با کدام گزینه است؟

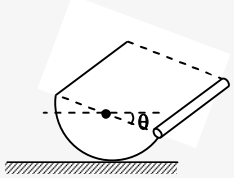
$$(e^{12} = 162750, e^{15} = 1/2) \quad 1/2 \text{pa} \quad 1/2 \text{Mpa} \quad 2/4 \text{Mpa} \quad 24 \text{pa}$$

۸۰- کدام یک از گزینه های زیر صحیح می باشد؟

- ۱) طول ساق موثر در جوش گلوبی برابر $L/414h$ می باشد.
- ۲) در اتصالات با پیچ، شکست ممکن است در آثر پارگی از حاشیه ورق باشد.
- ۳) در اتصال پیچ و مهره اگر نیروی پیش بار صفر باشد، تنش لهیدگی تحمل نمی شود.
- ۴) تمام گزینه ها صحیح است.



-۸۱- میله باریک به جرم m_1 بر یک نیم استوانه به جرم m_2 جوش شده است زاویه θ برای تعادل سیستم چقدر است؟



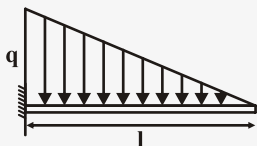
$$\theta = \tan^{-1} \frac{3m}{4m_2} \quad (2)$$

$$\theta = \cot^{-1} \frac{m\pi}{m_2 \times 2} \quad (1)$$

$$\theta = \tan^{-1} \frac{m\pi}{2m_2} \quad (4)$$

$$\theta = \cot^{-1} \frac{3m\pi}{4m_2} \quad (3)$$

-۸۲- مقدار لنگر خمی در وسط دهانه تیر شکل زیر چند برابر مقدار آن در تکیه گاه است؟



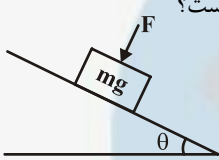
$$\frac{1}{4}$$

$$\frac{2}{6}$$

$$\frac{3}{8}$$

$$\frac{4}{8}$$

-۸۳- حداقل مقدار نیروی P برای جلوگیری از لغزش جسم روی سطح شیب دار با ضریب اصطکاک μ کدام است؟



$$mg(\sin \theta - \mu g \cos \theta) \quad (2)$$

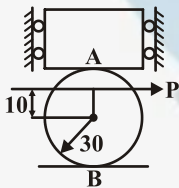
$$mg(\cos \theta - \mu \sin \theta) \quad (1)$$

$$mg\left(\frac{\cos \theta}{\mu}\right) \quad \therefore \theta \quad (4)$$

$$mg\left(\frac{\sin \theta}{\mu}\right) \quad \therefore \theta \quad (3)$$

-۸۴- یک وزنه به وزن W روی یک استوانه به وزن $\frac{1}{2}W$ قرار گرفته است و نیروی P بر استوانه وارد می شود اگر ضرایب اصطکاک در محل های

تماس A و B به ترتیب $\frac{1}{3}$ و $\frac{1}{15}$ باشد، حداقل نیروی P برای حرکت دادن استوانه چقدر است؟



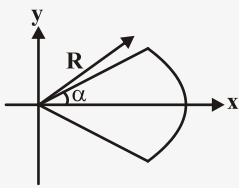
$$\cdot \frac{1}{3}W \quad (1)$$

$$\cdot \frac{1}{4}W \quad (2)$$

$$\cdot \frac{1}{675}W \quad (3)$$

$$\cdot \frac{1}{875}W \quad (4)$$

-۸۵- نسبت گشتاور اینرسی سطح نشان داده شده در شکل را حول محور X نسبت به Y بدست آورید؟



$$\frac{\alpha + \sin \alpha}{\alpha - \frac{\sin \alpha}{2}} \quad (2)$$

$$\frac{\alpha - \sin \alpha}{\alpha + \frac{\sin \alpha}{2}} \quad (1)$$

$$\frac{\sin}{\cos \alpha - 1} \quad (4)$$

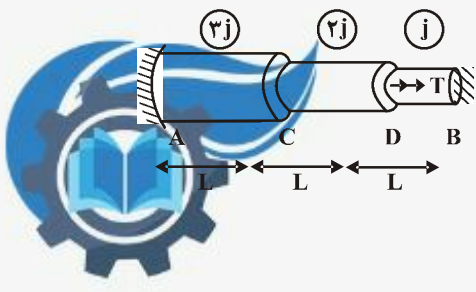
$$\frac{\cos}{\sin \alpha} \quad (3)$$

-۸۶- عضو شکل مقابل با مقطع دایره ای پله ای تحت اثر لنگر پیچشی T در نقطه D قرار گرفته است. نقاط A و B به صورت گیردار می باشد.

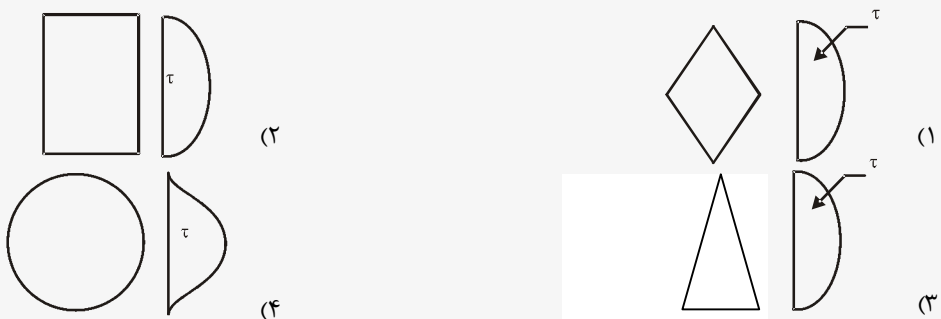
مطلوب است عکس العمل های تکیه گاهی نقاط A و B :

$$T_A = \frac{5}{11} T \quad T_B = \frac{6}{11} T \quad (2) \quad T_A = \frac{6}{11} T \quad T_B = \frac{5}{11} T \quad (1)$$

$$T_A = \frac{8}{11} T \quad T_B = \frac{3}{11} T \quad (4) \quad T_A = \frac{3}{11} T \quad T_B = \frac{8}{11} T \quad (3)$$



۸۷- توزیع تنش برشی در کدامیک از مقاطع زیر درست رسم نشده است؟



۸۸- مقطع تیر شکل روپر I می‌باشد. نسبت تنش برشی ماکزیمم در قسمت AB به تنش برشی ماکزیمم در قسمت BC چقدر است؟



۸۹- تیری با مدول یانگ E مطابق شکل زیر تحت گشتاور خمی M قرار دارد. تغییر طول الیاف پایین تیر (ΔL) را به دست آورید؟

$$\Delta L = \frac{3}{2} \frac{ML}{Ebh^3} \quad (2) \quad \Delta L = \frac{3}{2} \frac{ML}{Ebh^3} \quad (1)$$

$$\Delta L = \frac{3}{8} \frac{ML}{Ebh^3} \quad (4) \quad \Delta L = \frac{3}{8} \frac{ML}{Ebh^3} \quad (3)$$

۹۰- یک استوانه جدار نازکی دو انتهای بسته به ضخامت t ، قطر متوسط D و طول L تحت فشار داخلی P می‌باشد. چنانچه از تنش شعاعی صرفنظر شود، مقدار تنش برشی ماکزیمم در سطح بیرونی مخزن عبارتست از:

$$4t \quad (4) \quad 4t \quad (3) \quad 4t \quad (2) \quad 8t \quad (1)$$

۹۱- مقدار خیز را در انتهای آزاد تیر شکل زیر حساب کنید؟

$$\frac{M_o(a^2 + \frac{b^2}{2EI})}{2EI} \quad (1)$$

$$\frac{M_o(b^2 + 2\frac{a^2}{2EI})}{2EI} \quad (2)$$

۹۲- در تیر نامعین نشان داده شده میزان لنگر در نقطه A چقدر است؟

$$\frac{16}{16} \quad (2) \quad \frac{8}{8} \quad (1)$$

$$\frac{32}{32} \quad (4) \quad \frac{4}{4} \quad (3)$$

۹۳- در قطعه‌ای که تحت تنش پیچشی ثابت M_{150} و تنش متناوب خمی M_{200} قرار دارد در صورتی که مقاومت نهایی $500N/m^2$ و حد دوام اصلاح شده $65N/m^2$ مقاومت نهایی قطعه باشد، ضریب اطمینان طراحی به روش گودمن کدام است؟

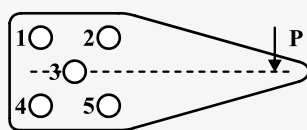
$$0.96 \quad (4) \quad 0.87 \quad (3) \quad 1/16 \quad (2) \quad 1/09 \quad (1)$$

۹۴- یک قطعه تحت تنش خمی کاملاً معکوس $\sigma = 50$ ساعت و تحت تنش $\sigma = 40$ ساعت کار می‌کند اگر 30 ساعت تحت آن چقدر تحت دوام می‌آورد.

$$18 \quad (4) \quad 16 \quad (3) \quad 12/5 \quad (2) \quad 10 \quad (1)$$



۹۵- در شکل زیر با توجه به هماندازه بودن پیچ‌ها کدام گزاره صحیح است؟



۱) پیچ ۳ بحرانی است.

۲) پیچ‌های ۱ و ۴ بحرانی هستند.

۳) پیچ‌های ۲ و ۵ بحرانی هستند.

۴) پیچ‌های ۱ و ۵ بحرانی هستند.

۹۶- در یک فنر مارپیچ اگر قطر مفتول فنر ۲ برابر و قطر فنر ۸ برابر گردد تنش برشی حداکثر در آن چگونه تغییر می‌کند؟

۳۲ (۴)

۱ (۳)

۲ (۴)

۱ (۸)

۹۷- کدام گزینه در مورد بلبرینگ‌ها و رولبرینگ‌ها درست است؟

۲) در شرایط مساوی و با ظرفیت برابر عمر هردو یکسان است.

۴) برای مقایسه نیاز به اطلاعات بیشتری داریم.

۱) در شرایط مساوی عمر رولبرینگ بیشتر است.

۹۸- یک چرخدنده مارپیچ با زاویه فشار $14/5$ و مدول مایل 4mm دارای قطر گام 4mm است. تعداد دندانه‌ها در این چرخدنده کدام است؟

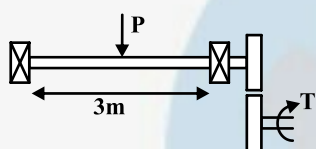
۲۴ (۴)

۲۰ (۳)

۱۹ (۲)

۱۸ (۱)

۹۹- در محور شکل زیر با حد دوام خستگی $M_{300}\text{N}$ و گشتاور پیچشی $\frac{\sqrt{16\pi}}{3}\text{ mm}$ به صورت متوسط، در بحرانی‌ترین وضعیت قطر محور چقدر خواهد بود؟ نیروی $P = 38\text{N}$ بوده و محور در حال دوران است.



$$\frac{\sqrt{16\pi}}{3\pi} \text{ mm } (۲)$$

$$\frac{\sqrt{16\sqrt{7}}}{3\pi} \text{ mm } (۴)$$

$$\sqrt[3]{\frac{16}{3\pi}} \text{ mm } (۱)$$

$$\sqrt[3]{\frac{16}{\pi}} \text{ mm } (۳)$$

۱۰۰- در یک سیستم بالا از یک طناب سیمی استفاده می‌شود چنانچه قطر طناب 16mm و شعاع چرخ مورد استفاده 75mm باشد، حداکثر نیروی وارد بر طناب برای عمر دائم آن چقدر است؟ استحکام کششی نهایی $GP = 1/4$ است.

2320 N (۴)

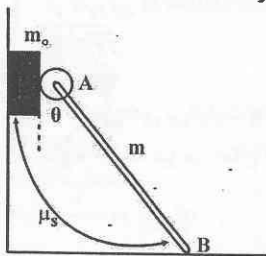
1820 N (۳)

1680 N (۲)

840 N (۱)



۱۰۱- بلوکی به جرم m_0 ، بین دیوار قائم و چرخ کوچک متصل به انتهای میله یکنواخت به جرم m (نقطه A) قرار داده شده است. انتهای تحتانی B به حالت سکون روی سطح افقی قرار گرفته است. اگر ضریب اصطکاک استاتیکی بین بلوک و دیوار و نیز در نقطه B، μ_s باشد. کدام گزینه حداقل زاویه θ را برای اینکه بلوک در تعادل باقی بماند نشان می‌دهد؟ (بین چرخ با بلوک اصطکاک وجود ندارد)



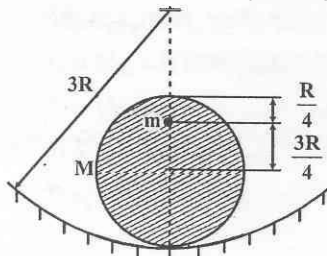
$$\theta = \tan^{-1} \frac{m_0}{\mu_s m} \quad (1)$$

$$\theta = \tan^{-1} \frac{2m_0}{3\mu_s m} \quad (2)$$

$$\theta = \tan^{-1} \frac{\sqrt{3}m_0}{\mu_s m} \quad (3)$$

$$\theta = \tan^{-1} \frac{m_0}{2\mu_s m} \quad (4)$$

۱۰۲- استوانه‌ای با شعاع R و جرم M بدون لغزش روی یک سطح دایروی با شعاع $3R$ می‌غلند. جسم کوچکی به جرم m به استوانه متصل است. اگر بخواهیم وضعیت نشان داده شده در شکل، یک حالت تعادل پایدار باشد، چه ارتباطی باید بین M و m وجود داشته باشد؟



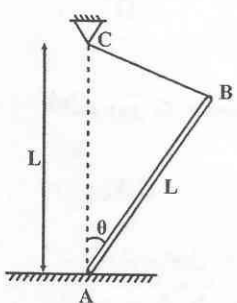
$$M > \frac{m}{4} \quad (1)$$

$$M < \frac{m}{2} \quad (2)$$

$$M < \frac{m}{4} \quad (3)$$

$$M > \frac{m}{2} \quad (4)$$

۱۰۳- در شکل نشان داده شده، اگر ضریب اصطکاک استاتیکی μ باشد، کدام گزینه مقدار زاویه θ را برای حفظ تعادل به درستی نشان می‌دهد؟



$$2\tan^{-1}\mu \quad (1)$$

$$\tan^{-1}\mu \quad (2)$$

$$2\cot^{-1}\mu \quad (3)$$

$$\cot^{-1}\mu \quad (4)$$

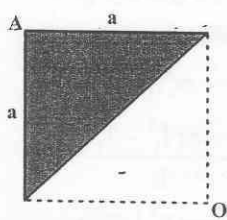
۱۰۴- شعاع ژیرامیون قطبی مثلث نشان داده شده حول نقطه A، چقدر است؟

$$\frac{a}{\sqrt{3}} \quad (1)$$

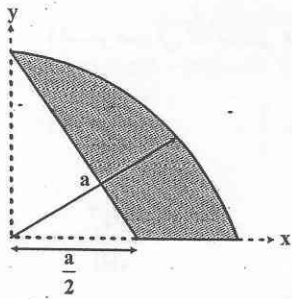
$$\frac{a}{2} \quad (2)$$

$$\frac{2a}{\sqrt{3}} \quad (3)$$

$$a \quad (4)$$



۱۰۵- کدام گزینه مختصه x و y مرکز سطح سایه زده شده را در شکل زیر را به درستی نشان می‌دهد؟



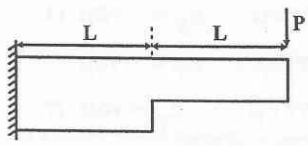
$$\begin{cases} \bar{x} = \frac{a}{\pi - 1} \\ \bar{y} = \frac{\gamma a}{\pi - 1} \end{cases} \quad (2)$$

$$\begin{cases} \bar{x} = \frac{\gamma a}{\pi - 1} \\ \bar{y} = \frac{a}{\pi - 1} \end{cases} \quad (1)$$

$$\begin{cases} \bar{x} = \frac{\gamma a}{\pi - 1} \\ \bar{y} = \frac{2a}{\pi - 1} \end{cases} \quad (4)$$

$$\begin{cases} \bar{x} = \frac{2a}{\pi - 1} \\ \bar{y} = \frac{a}{\pi - 1} \end{cases} \quad (3)$$

۱۰۶- تغییر مکان انتهای تیر که دو مقطع نامساوی به ممان اینرسی‌های I و 2I دارد، چقدر می‌باشد؟



$$\frac{8PL^3}{3EI} \quad (2)$$

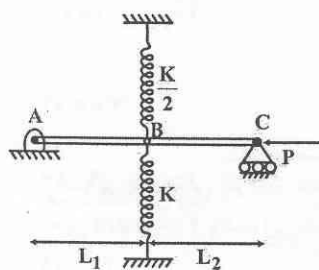
$$\frac{2PL^3}{3EI} \quad (1)$$

$$\frac{3PL^3}{2EI} \quad (4)$$

$$\frac{2PL^3}{EI} \quad (3)$$

۱۰۷- دو میله صلب AB و BC توسط مفصل مطابق شکل به یکدیگر متصل شده‌اند. همچنین از یک طرف به فنری به سختی k که به تکیه‌گاه

صلب مقید شده و از طرف دیگر به فنری به سختی $\frac{k}{2}$ وصل شده‌اند. کدام گزینه بار بحرانی سازه را به درستی نشان می‌دهد؟



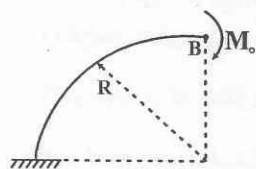
$$\frac{KL_1L_2}{2(L_1 + L_2)} \quad (2)$$

$$\frac{3KL_1L_2}{2(L_1 + L_2)} \quad (1)$$

$$\frac{KL_1L_2}{3(L_1 + L_2)} \quad (4)$$

$$\frac{KL_1L_2}{(L_1 + L_2)} \quad (3)$$

۱۰۸- تغییر مکان قائم رینگ زیر در نقطه B کدام است؟



$$\frac{M_oR^2}{EI} \quad (2)$$

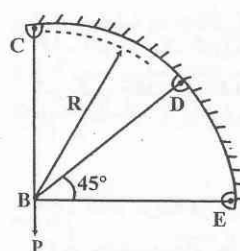
$$\frac{2M_oR^2}{EI} \quad (1)$$

$$0.57 \frac{M_oR^2}{EI} \quad (4)$$

$$\frac{M_oR^2}{2EI} \quad (3)$$

۱۰۹- اگر در سازه شکل زیر، سه عضو سازه (اعضای BD, BE و BC) از یک ماده و سطح مقطعی یکسان تشکیل شده باشند، کدام گزینه نیرو

در عضو BD را به درستی نشان می‌دهد؟



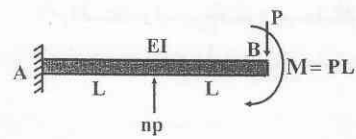
$$\frac{1}{2}P \quad (2)$$

$$\frac{3}{4}P \quad (1)$$

$$\frac{\sqrt{2}}{2}P \quad (4)$$

$$\frac{\sqrt{2}}{4}P \quad (3)$$

۱۱۰- با توجه به بارگذاری زیر، اگر بخواهیم خیز تیر در انتهایش یعنی نقطه B صفر شود، ضریب n باید کدامیک از مقادیر زیر را داشته باشد؟

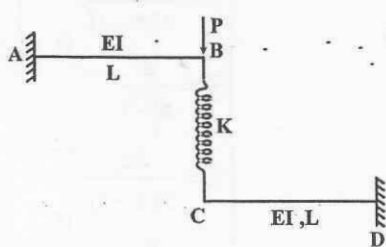


$$\frac{16}{5} \quad (2)$$

$$\frac{28}{5} \quad (1)$$

$$\frac{12}{5} \quad (4)$$

$$3 \quad (3)$$



۱۱۱- در صورتی که سختی فنر $k = \frac{3EI}{L^3}$ باشد، تغییر مکان نقطه B چقدر است؟

$$\frac{PL^3}{2EI} \quad (2)$$

$$\frac{4PL^3}{9EI} \quad (1)$$

$$\frac{PL^3}{9EI} \quad (4)$$

$$\frac{2PL^3}{9EI} \quad (3)$$

۱۱۲- اگر گرنش‌های داده شده در شکل، با استفاده از گلبرگ‌های کرنش آزمایش یک جزء ماشین بدست آمده باشند، کدام گزینه کرنش،

$$\varepsilon_1 = +600\mu, \varepsilon_2 = +450\mu, \varepsilon_3 = -75\mu$$

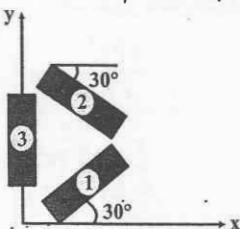
در جهات x و y را به درستی نشان می‌دهد؟

$$\varepsilon_x = 430\mu \quad \varepsilon_y = -75\mu \quad (1)$$

$$\varepsilon_x = 725\mu \quad \varepsilon_y = -75\mu \quad (2)$$

$$\varepsilon_x = -430\mu \quad \varepsilon_y = 75\mu \quad (3)$$

$$\varepsilon_x = -725\mu \quad \varepsilon_y = +75\mu \quad (4)$$



۱۱۳- برای میدان تنش داده شده در زیر، کدام گزینه تنش برشی ماکزیمم را به درستی بیان می‌کند؟ $\sqrt{225} = 16/5$

$$\sigma_{ij} = \begin{bmatrix} 100 & 16/5 & 0 \\ 16/5 & 150 & 0 \\ 0 & 0 & -200 \end{bmatrix}$$

$$177/5 \quad (4)$$

$$185 \quad (3)$$

$$140 \quad (2)$$

$$200 \quad (1)$$

۱۱۴- اگر بلبرینگی ظرفیت دینامیکی 20kN داشته باشد و تحت بار معادلی به صورت یکنواخت و برابر 5kN قرار گیرد و سرعت دورانی محور 2000rpm باشد، این بلبرینگ چقدر عمر خواهد کرد؟

$$64 \text{ ساعت} \quad (4)$$

$$632 \text{ ساعت} \quad (3)$$

$$533 \text{ ساعت} \quad (2)$$

$$420 \text{ ساعت} \quad (1)$$

۱۱۵- کدام گزینه در مورد روانسازها و یاتاقان‌های لغزشی به درستی بیان شده است؟

۱) افزایش دمای روانساز، یکی از عواملی است که روانسازی هیدرودینامیک را به روانسازی مرزی میل می‌دهد.

۲) در مواردی که یاتاقان‌ها در دمای اتاق کار می‌کنند، اغلب از روانسازی فیلم یا لایه جامد استفاده می‌شود.

۳) با کاهش عدد سامرفلد، ضریب متغیر مالش $(\frac{r}{c})$ افزایش می‌یابد.

۴) با افزایش نسبت $\frac{L}{d}$ ، ضریب متغیر مالش $(\frac{r}{c})$ افزایش می‌یابد.

۱۱۶- اگر در یک گیربکس حلزونی از پیچ چهار نخه به قطر 40mm و چرخ 20 دندانه‌ای به قطر 320mm استفاده کنیم. نسبت تبدیل این گیربکس چقدر می‌باشد؟

$$80 \quad (4)$$

$$5 \quad (3)$$

$$20 \quad (2)$$

$$8 \quad (1)$$

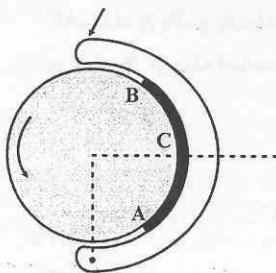
۱۱۷- کدام گزینه در مورد چرخدنده‌ها به درستی بیان نشده است؟

۱) در چرخدنده‌های هلیکال، زاویه هلیکس باید در دو چرخدنده که با هم در گیر هستند مساوی باشد.

۲) در چرخدنده‌های هلیکال، چون در گیری به صورت تدریجی صورت می‌گیرد سر و صدا کم است.

۳) با استفاده از چرخدنده‌های هلیکال در یک حجم و هندسه ثابت از دندانه‌ها نسبت به چرخدنده‌های ساده، می‌توان توان بیشتری را منتقل نمود.

۴) در چرخدنده ساده با نسبت تبدیل و فاصله مراکز ثابت، افزایش تعداد دندانه‌ها منجر به کاهش دایره مبنای شود.



۱۱۸- کدام گزینه در مورد توزیع فشار در ترمز نشان داده شده در شکل صحیح است؟

(۱) از A تا B پیوسته کاهش می‌یابد.

(۲) از A تا B پیوسته افزایش می‌یابد.

(۳) از A تا C افزایش و سپس از C تا B کاهش می‌یابد.

(۴) از A تا C کاهش و سپس از C تا B افزایش می‌یابد.

۱۱۹- برای طبلک ترمز نواری به قطر 300 mm ، ضریب اصطکاک تسمه 0.28 و عرض آن 80 mm و کشش قابل تحمل آن $2/5\text{ kN}$ می‌باشد.

در صورتی که زاویه تماس 27.0° درجه باشد، کدام گزینه نیروی ترمزگیری و گشتاور قابل انتقال را به درستی نشان می‌دهد؟

$$e^{1/22} = 3/74 \quad e^{75/6} = 6/8$$

$$\begin{cases} P = 2\text{ kN} \\ T = 825\text{ N.m} \end{cases} \quad (2)$$

$$\begin{cases} P = 2\text{ kN} \\ T = 960\text{ N.m} \end{cases} \quad (1)$$

$$\begin{cases} P = 1/1\text{ kN} \\ T = 960\text{ N.m} \end{cases} \quad (4)$$

$$\begin{cases} P = 1/1\text{ kN} \\ T = 825\text{ N.m} \end{cases} \quad (3)$$

۱۲۰- کدام گزینه به درستی بیان نشده است؟

(۱) استفاده از تسمه V شکل در فواصل مرکزی طولانی توصیه نمی‌شود.

(۲) در تسمه‌های V شکل، کاهش قطر پولی‌ها باعث کاهش عمر تسمه می‌گردد.

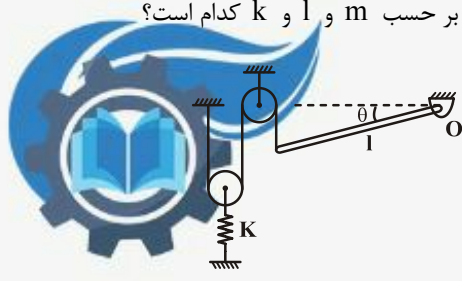
(۳) برای اجتناب از لغزش در تسمه‌های V شکل، عبارت e^{70} باید بزرگتر از نسبت کشش باشد.

(۴) بازده تسمه‌های تخت نسبت به تسمه‌های V شکل، اندکی کمتر است.





۱۲۱- در شکل زیر جرم میله m است و وقتی $\theta = 0^\circ$ فرآزاد است. با فرض θ کوچک مقدار زاویه θ بر حسب m و l و k کدام است؟



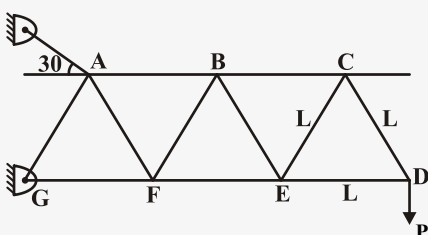
$$\sin^{-1} \frac{mg}{kl} \quad (2)$$

$$\tan^{-1} \frac{mg}{4kl} \quad (3)$$

$$\sin^{-1} \frac{mg}{kl} \quad (4)$$

$$\tan^{-1} \frac{mg}{kl} \quad (5)$$

۱۲۲- نیرو در عضوهای BF و BE در خرپای زیر چقدر است؟



$$1) \text{ فشاری} - \text{ BF} = \frac{2P}{\sqrt{3}} \quad \text{کششی} - \text{ BE} = \frac{2P}{\sqrt{3}}$$

$$2) \text{ فشاری} - \text{ BF} = \frac{\sqrt{3}}{2} P \quad \text{کششی} - \text{ BE} = \frac{\sqrt{3}}{2} P$$

$$3) \text{ کششی} - \text{ BF} = \frac{\sqrt{3}}{2} P \quad \text{فشاری} - \text{ BE} = \frac{\sqrt{3}}{2} P$$

$$4) \text{ کششی} - \text{ فشاری} - \text{ BF} = \frac{2}{\sqrt{3}} P \quad \text{BF} = \frac{2}{\sqrt{3}} P \quad \text{BE} = \frac{2}{\sqrt{3}} P$$

۱۲۳- از نقطه نظر لنگر خمی نقطه طراحی در تیر زیر در کجا قرار دارد؟

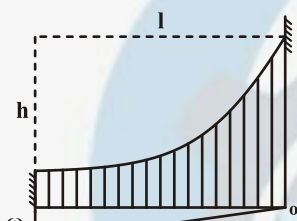
(۱) نقطه B

(۲) نقطه C

(۳) جایی بین B و C

(۴) جایی بین D و E

۱۲۴- کابل با جرم ناچیز از نقاط ثابت آویزان است اگر کابل بار واحد ω را که بر حسب x از 0 تا صفر به طور یکنواخت کاهش می‌یابد تحمل کند معادله منحنی کابل کدام است؟



$$y = -\frac{h}{2} \left(\frac{x}{l}\right)^2 + \frac{3}{2} h \left(\frac{x}{l}\right) \quad (1)$$

$$y = -\frac{h}{2} \left(\frac{x}{l}\right)^3 + \frac{3}{2} h \left(\frac{x}{l}\right)^2 \quad (2)$$

$$y = \frac{h}{2} \left(\frac{x}{l}\right)^3 - \frac{3}{2} h \left(\frac{x}{l}\right)^2 \quad (3)$$

$$y = -\frac{h}{2} \left(\frac{x}{l}\right)^3 + 2h \frac{x}{l} \quad (4)$$

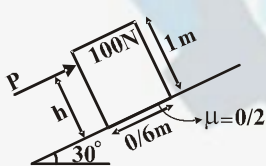
۱۲۵- بیشترین ارتفاع h برای آنکه جعبه بدون واژگون شدن بلغزد کدام است؟

(۱) ۷/۶ m

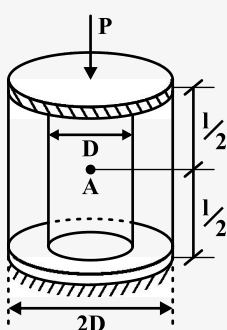
(۲) ۴/۸

(۳) ۸/۶

(۴) ۶/۶



۱۲۶- دو استوانه مطابق شکل تحت بار محوری P، درهم قرار دارند در صورتی که مساحت و مدول یانگ استوانه اولی (داخلی) A_1 و E_1 ، مساحت و مدول یانگ استوانه دوم (خارجی) A_2 و E_2 باشد تغییر مکان نقطه A کدام است؟ ($E_1 = 2E_2$)



$$\frac{1}{2} \frac{PL}{E_1 A_1} \quad (1)$$

$$\frac{1}{4} \frac{PL}{E_1 A_1} \quad (2)$$

$$\frac{1}{6} \frac{PL}{E_1 A_1} \quad (3)$$

$$\frac{1}{5} \frac{PL}{A_1 E_1} \quad (4)$$

۱۲۷- در صفحه زیر حداقل دما بدون این که ورقه فلزی تسلیم شود چقدر است. (v ضریب پواسون و تنش تسلیم برابر σ_v می‌باشد)

$$\frac{(1-v)\sigma_y}{2\alpha E} \quad (2)$$

$$\frac{(1-v)\sigma_y}{\alpha E} \quad (1)$$

$$\frac{(1-\nu^2)y}{\alpha E} \quad (4) \quad \frac{(1-\nu^2)\sigma_y}{\alpha E} \quad (3)$$

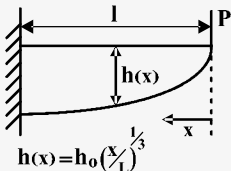
۱۲۸- تیر طرهای با ضخامت ثابت b و $h(x)$ داده شده‌اند. این تیر تحت بار P دچار خمیدگی می‌شود.

(۱) تیر خم شده خمشی از یک هذلولی است.

(۲) تیر خم شده بخشی از یک بیضی است.

(۳) تیر به صورت قسمتی از یک دایره خم شده

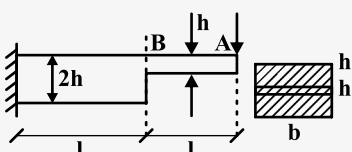
(۴) تیر به صورت خطی خم می‌شود.



۱۲۹- در صورتی که ارتفاع بخش AB تیر دو برابر شود تغییر مکان نقطه B چند برابر می‌شود؟

(۱) تغییر نمی‌کند. $\frac{1}{8}$ برابر می‌شود.

(۴) $\frac{5}{16}$ برابر می‌شود. $\frac{8}{5}$ برابر می‌شود.



۱۳۰- کره جدار نازکی که تحت فشار داخلی P قرار دارد دارای شعاع r می‌باشد در صورتی که باشد ضریب پواسون کدام است؟

(۱) تغییرات شعاع و Δt تغییر ضخامت

۰/۲۵ (۴)

۰/۵ (۳)

۰/۲ (۲)

۰/۳ (۱)

۱۳۱- نسبت ضریب شکل در یک مقطع دایروی به یک مقطع بیضوی شکل کدام است؟

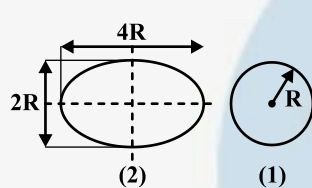
$$\frac{SF_1}{SF_2} = ?$$

۴ (۱)

۲ (۲)

$\frac{1}{2}$ (۳)

۱ (۴)



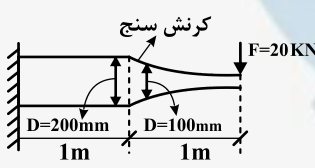
۱۳۲- در تیر زیر با دو مدول الاستیسیته $10^3 \times 200$ MPa در محل ناج یک کرنش‌سنجد قرار داده‌ایم به طوری که عدد $0.032/0$ را نشان می‌دهد. تمرکز تنش هندسی کدام است.

π (۱)

4π (۲)

2π (۳)

$\frac{3}{2}\pi$ (۴)



۱۳۳- در مخزن جداره نازک یکی به شکل استوانه و دیگری به شکل کره وجود دارد. در هر دو شعاع R و فشار داخلی P است. با استفاده از معیار فون میسز نسبت ضخامت t/D استوانه به مخزن کروی برای تنش تسلیم σ_v کدام است؟

$\frac{2}{\sqrt{3}}$ (۴)

$\sqrt{2}$ (۳)

$\frac{\sqrt{3}}{2}$ (۲)

π (۱)

۱۳۴- قطعه مقابل دارای عمر N است اگر بار طوری تغییر کند که تنش متوسط $\sigma_m = 200$ MPa شود آن‌گاه دامنه تنش σ_a را طوری بدست

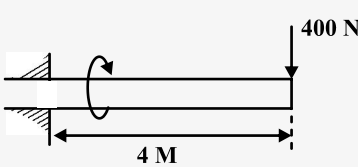
آورید که عمر قطعه N بماند. $(\frac{I}{C} = 7m^3)$ و $(S_e = 400$ MPa, $S_y = 800$ MPa)

۳۰۰ (۱)

۴۰۰ (۲)

۵۰۰ (۳)

۵۸۰ (۴)

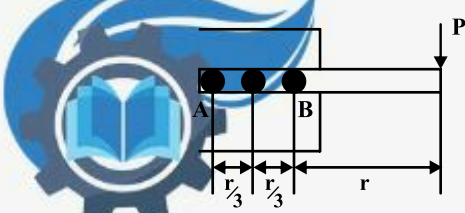


۱۳۵- در شکل زیر تنش وارد به پیچ A چند برابر تنش وارد شده به B است؟

۱ (۲)

$\frac{7}{5}$ (۱)

P



$\frac{5}{7}$ (۳)

$\frac{4}{3}$ (۴)

۱۳۶- در مورد فترهای مارپیچ در صورت واماندگی احتمالی شکست از کدام قسمت رخ می‌دهد؟
 ۱) از سمت داخل فتر ۲) تفاوتی وجود ندارد ۳) از سمت خارج فتر ۴) اطلاعات مساله کافی نیست

۱۳۷- چنانچه بار بلبرینگ شیار عمیقی 18kN باشد و باری معادل 9kN بر آن اعمال شود اگر عمر این بلبرینگ $\frac{83}{3}$ ساعت باشد، سرعت دورانی آن چقدر بوده است؟

۱) 16000 rpm ۲) 1300 rpm ۳) 2000 rpm ۴) 1600 rpm

۱۳۸- دریک چرخ دنده مارپیچ زاویه فشار عمودی $14/5^\circ$ و قطر دایره گام 5 mm است. اگر گام قطری این چرخ دنده $4/5^\circ$ باشد. تعداد دندانه‌ها کدام است؟
 ۱) 56 ۲) 32 ۳) 121 ۴) 20

۱۳۹- تنش برشی مجاز برای شفت توربینی که با سرعت 300 rpm می‌چرخد معادل 48 MPa است. اگر ضریب اطمینان این شفت $1/5$ باشد
 قطر لازم جهت انتقال توان $31/4\text{ kw}$ چقدر است؟

۱) 36 ۲) 48 ۳) 72 ۴) 85
 ۱) 80 ۲) 160 ۳) 395 ۴) 750





جامدات

۱ - گزینه «۱»

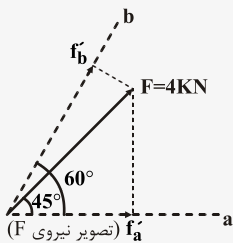
کمیت‌های فیزیکی که با بردارها نمایش داده می‌شوند به سه دسته آزاد، لغزان و یا ثابت گروه‌بندی می‌گردد:

بردار آزاد: برداری است که خط اثر آن به هیچ خط منحصر به فردی در فضا وابسته نبوده و محدود نمی‌باشد جسمی که بدون دوران حرکت کند در این صورت تغییر مکان یا جایگاهی هر نقطه از آن جسم را می‌توان یک بردار در نظر گرفت.

بردار لغزان: برداری است که برای آن، یک خط اثر منحصر به فرد در فضا باید حفظ شود که در راستای آن، کمیت مورد نظر عمل می‌نماید مانند کنش یک نیروی خارجی بروی یک جسم صلب.

بردار ثابت: برداری است که برای آن یک نقطه اثر منحصر به فرد مشخص می‌شود و در نتیجه بردار مجبور دارای موقعیتی خاص در فضا می‌باشد مانند کنش نیرو بروی یک جسم تغییر شکل‌پذیر یا غیر صلب.

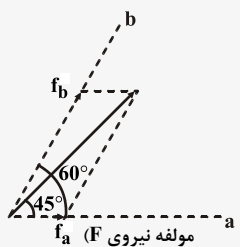




$$f'_a = 4 \cos 45^\circ = 2\sqrt{2}$$

$$f'_b = 4 \cos 15^\circ = 3/6$$

۲- گزینه «۴»
محاسبه تصویر نیروی F
در امتداد محورهای a و b



محاسبه مولفه‌های نیروی F در امتداد محورهای a و b

$$\frac{f_b}{\sin 45^\circ} = \frac{4}{\sin 120^\circ} \rightarrow f_b = \frac{4 \sin 45^\circ}{\sin 120^\circ} = 3/6$$

$$\frac{f_a}{\sin 15^\circ} = \frac{4}{\sin 120^\circ} \rightarrow f_a = \frac{4 \sin 15^\circ}{\sin 120^\circ} = 1/2$$

نکته: توجه کنید که مولفه‌های یک بردار بر روی دو محور به طور کلی، با تصاویر آن بردار برروی همان محورها مساوی نیستند. اگر محور a بر محور b عمود می‌بود، تصاویر و مولفه‌های F یکسان می‌بودند.

۳- گزینه «۱»

نکته: در این گونه مسائل استاتیک باید مرکز گشتاور گیری به گونه انتخاب شود که حداقل تعداد مجھولات در معادله ظاهر شوند. به عنوان مثال در این تست اطلاعاتی از ضریب اصطکاک داده نشده اگر مرکز گشتاور گیری را در امتداد خط OB انتخاب کنیم نیروی اصطکاک حذف می‌شود.

$$\sum M_O = 0 \rightarrow (P \sin \alpha)(b) + (P \cos \alpha)(b) = w \left(\frac{b}{2} \right) \rightarrow P = \frac{w}{2(\sin \alpha + \cos \alpha)}$$

زمانی P حداقل است که $\sin \alpha + \cos \alpha$ حداقل باشد:

$$y = \sin \alpha + \cos \alpha \rightarrow \frac{dy}{d\alpha} = \cos \alpha - \sin \alpha = 0 \rightarrow \tan \alpha = 1 \rightarrow \alpha = 45^\circ \Rightarrow P = \frac{w}{2\sqrt{2}}$$

۴- گزینه «۳»

$$\begin{cases} R_x = T \\ R_y = T \rightarrow \vec{R} = T(\vec{i} + \vec{j}) \quad \& \cos \theta_x \vec{i} + \cos \theta_y \vec{j} + \cos \theta_z \vec{k} = \frac{\vec{R}}{|R|} \\ R_z = 0 \end{cases}$$

$$\rightarrow \cos \theta_x = \frac{1}{\sqrt{2}} \quad \& \cos \theta_y = \frac{1}{\sqrt{2}} \quad \& \cos \theta_z = 0$$

نقطه‌ای دلخواه به مختصات (z) و (y) در صفحه Z-Y در نظر می‌گیریم:

$$\vec{M}_{R_x} = T(3a - z)\vec{j} + T(y)\vec{k}$$

$$\vec{M}_{R_y} = -T(4a - z)\vec{i} \rightarrow \vec{M} = -T(4a - z)\vec{i} + T(3a - z)\vec{j} + T(y)\vec{k}$$

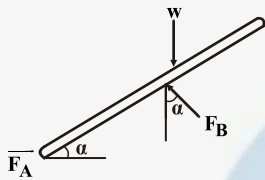
$$M_{R_z} = 0$$

نکته: در پیچه بردار نیروی برآیند و بردار گشتاور کل باید با هم موازی باشند.

$$\Rightarrow \cos \theta_x = \frac{-T(r a - z)}{M} = \frac{1}{\sqrt{2}} \quad , \quad \cos \theta_y = \frac{T(r a - z)}{M} = \frac{1}{\sqrt{2}} \quad , \quad \cos \theta_z = \frac{T y}{M} = 0 \quad \begin{cases} y = 0, z = \frac{\sqrt{2}}{2} a \\ M = T(a\sqrt{2} - \frac{\sqrt{2}}{2} a) \end{cases}$$

۵ - گزینه «۴»

نکته: در سطوح صیقلی و یا بدون اصطکاک، نیروهای تکیه‌گاهی بر سطح تماس عمودند.



$$\sum F_x = 0 \rightarrow F_A = F_B \sin \alpha \quad (1)$$

$$\sum F_y = 0 \rightarrow w = F_B \cos \alpha \quad (2)$$

$$(1), (2) \rightarrow F_A = w \tan \alpha$$

$$F_B = \frac{w}{\cos \alpha}$$

نکته: با توجه به مشخص نبودن محل قرارگیری تکیه‌گاه B نمی‌توان از گشتاورگیری استفاده کرد.

۶ - گزینه «۱»

$$\tau = \frac{TC}{j} \quad \& \quad \phi = \frac{TL}{jG} \rightarrow \phi = \frac{\tau L}{GC} \rightarrow \tau = \frac{GC}{L} \phi$$

$$\Rightarrow \frac{(\tau_{max})_{AB}}{(\tau_{max})_{BC}} = \frac{\left(\frac{GC}{L}\phi\right)_1}{\left(\frac{GC}{L}\phi\right)_2} = \frac{\left(\frac{Gd}{rL}\right)}{\left(\frac{\sigma Gd}{L}\right)} = \frac{1}{12}$$

بنابراین ابتدا میله BC تسلیم می‌شود.



۷ - گزینه «۳»

نکته: در پیچش مقاطع مستطیلی تنش برشی در گوشه‌های A و B و C و D برابر صفر و حداکثر تنش برشی در وسط اضلاع بزرگتر مستطیل رخ می‌دهد.

نکته:

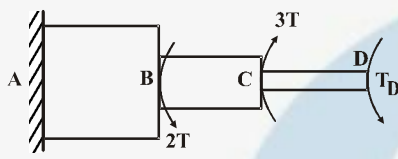
$$\tau_{\max} = \frac{T}{C_1 ab^2} \quad \phi = \frac{TL}{C_1 Gab^3}$$

۱ و ۲ ضرایبی هستند که به نسبت اضلاع مستطیل بستگی دارند.

۸ - گزینه «۳»

نکته: تیر از نظر استاتیکی نامعین است بنابراین نیاز به معادله دیگری علاوه بر معادله تعادل داریم.

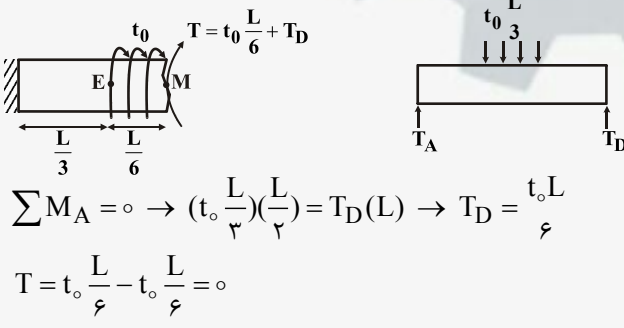
نکته: در این گونه مسائل عکس العمل یکی از تکیه‌گاه‌ها را به عنوان مثال تکیه‌گاه D را بصورت یک گشتاور مجهول به میله اعمال می‌کنیم. سپس زاویه پیچش در D را بدست می‌آوریم و با توجه به شرایط مرزی $\phi_D = 0$ مقدار قرار می‌دهیم.



$$\begin{aligned} \phi_D = 0 &\rightarrow \phi_D = \phi_C + \phi_B = 0 \\ &\rightarrow \frac{T_D L}{jG} + \frac{(T_D - 3T)L}{2jG} + \frac{(T_D + 2T - 3T)L}{4jG} = 0 \rightarrow T_D = T \end{aligned}$$

۹ - گزینه «۲»

نکته مهم برای حل این گونه مسائل: به طور کلی برای بدست آوردن تغییر مکان یا زاویه پیچش هرنقطه دلخواه از تیر، تیر را از آن نقطه قطع می‌کنیم و مجموع نیروها و گشتاورهای قسمت‌های جدا شده را به آن نقطه منتقل می‌کنیم.



$$\rightarrow \phi = \phi_M + \phi_E = \frac{\int_0^{L/6} t_o x dx}{jG} + \frac{t_o \frac{L}{6} (\frac{L}{3})}{jG} = \frac{5}{12} \frac{t_o L^2}{jG}$$

نکته: با توجه به تقارن مساله بدون محاسبه می‌توانیم عکس العمل تکیه‌گاه‌ها را تعیین کنیم.



«۱۰- گزینه «۱»

حالت کرنش دو بعدی $\rightarrow \varepsilon_z = 0$

$$\varepsilon_z = \frac{1}{E} (\sigma_z - v(\sigma_x + \sigma_y)) = 0 \rightarrow \sigma_z = v(\sigma_x + \sigma_y)$$

$$\begin{aligned} \varepsilon_x &= \frac{1}{E} (\sigma_x - v(\sigma_y + \sigma_z)) \rightarrow \varepsilon_x = \frac{1}{E} (\sigma_x - v(\sigma_y + v(\sigma_x + \sigma_y))) \\ &\rightarrow \varepsilon_x = \frac{1}{E} ((1-v) \sigma_x - v(1+v) \sigma_y) \end{aligned}$$

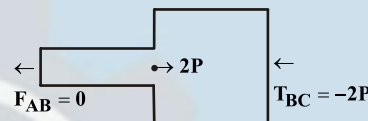
نکته: در حالت کرنش صفحه‌ای $\varepsilon_z = 0$ ولی $\sigma_z = 0$ و در حالت تنش صفحه‌ای $\sigma_z = 0$ ولی $\varepsilon_z = 0$ می‌باشد.

«۱۱- گزینه «۴»

نکته: برای آن که تنش در میله AB صفر شود باید نیرویی که توأمًا برای نیروی $2P$ و افزایش دما در میله AB بوجود می‌آید، صفر شود.

نکته: با دقت در نوع تکیه‌گاه‌های A و C به این نکته پی می‌بریم که تغییر مکان طول AC برابر صفر است.

$$\delta_{AC} = 0 \rightarrow \delta_{CB} + \delta_{BA} = 0$$



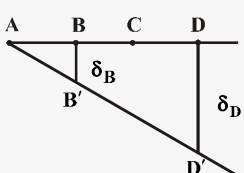
$$\alpha L \Delta T + \alpha L \Delta T - \frac{\gamma PL}{\Delta AE} = 0 \rightarrow \Delta T = \frac{\gamma P}{\Delta AE \alpha} = \frac{P}{\Delta AE \alpha}$$

«۱۲- گزینه «۱»

نکته: ابتدا جهت گشتاور نیروهای وارد به عضو صلب را حول مفصل به دست می‌آوریم. با توجه به جهت گشتاور جهت تمایل حرکت قطعه صلب تعیین می‌گردد. اگر این جهت حرکت باعث شل شدن تعدادی از کابل‌ها گردد از این کابل‌ها صرف‌نظر می‌کنیم. با توجه به این نکته داریم:

$$F_{EC} = F_{EI} = 0$$

$$\sum M_A = 0 \rightarrow (3P)(4) = F_{FB} + 3F_{HD} \quad (1)$$



$$\delta_D = 3\delta_B \xrightarrow{\delta = \frac{PL}{AE}} \frac{\delta_D}{\delta_B} = 3 = \frac{F_{DH}}{F_{BF}} \quad (2)$$

$$(1), (2) \rightarrow F_{BF} = \frac{\gamma}{\Delta} P \text{ و } F_{DH} = \frac{\gamma \lambda}{\Delta}$$



«۱۳» - گزینه

$$\text{حجم } V_{EF} = \frac{3}{2} V_{ED} = \frac{3}{2} V_{DC}$$

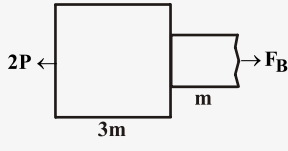
نکته: چون چگالی در طول مسیر برای همه بخش‌ها ثابت در نظر گرفته شده است، بنابراین نسبت جرم‌ها با نسبت حجم‌ها برابر است.

$$\text{حجم } m \propto V$$

نکته: میله در حال تعادل نیست.

$$\sum F_x = m \cdot a_x \rightarrow (4P - 2P) = (3m + 2m + m)a_x \rightarrow a_x = \frac{2P}{6m} = \frac{P}{3m}$$

برای تعیین تنش در نقطه B قسمت FEB را در نظر می‌گیریم:



$$\sum F_x = m \cdot a_x$$

$$\rightarrow (F_B - 2P) = (4m) \left(\frac{P}{m} \right) \rightarrow F_B = \frac{10P}{3} \Rightarrow \sigma_B = \frac{\frac{10P}{3}}{A} = \frac{5P}{A}$$

«۱۴» - گزینه

نکته: در مواد ترد، استحکام فشاری، معمولاً چند برابر بزرگتر از استحکام کششی آن‌ها است.

با توجه به نکته مطرح شده ماده ترد می‌باشد. بنابراین باید از نظریه‌های شکست مواد ترد استفاده کنیم.

$$\frac{1}{n} = \frac{\sigma_1}{S_{ut}} - \frac{\sigma_2}{S_{uc}} \Rightarrow \frac{1}{n} = \frac{70}{100} - \frac{-200}{400} \rightarrow n = \frac{10}{12} < 1$$

نکته: چنانچه ضریب اطمینان کوچکتر از یک باشد ماده دچار شکست می‌شود.

«۱۵» - گزینه

$$\tau_m = 150 \text{ MPa} \text{ و } \tau_a = 0$$

$$\sigma_m = 0 \text{ و } \sigma_a = 200 \text{ MPa}$$

$$\sigma'_m = \sqrt{\sigma_m^2 + 3\tau_m^2} = \sqrt{0 + 3 \times 150^2} = 260 \text{ MPa}$$

$$\sigma'_a = \sqrt{\sigma_a^2 + 3\tau_a^2} = \sqrt{200^2 + 0} = 200 \text{ MPa}$$

$$\frac{1}{n_d} = \frac{\sigma_a}{S_e} + \frac{\sigma_m}{S_{ut}}$$

$$S_{ut} = 500 \text{ MPa} \text{ و } S_e = 0 / 50 \times S_{ut} = 325 \text{ MPa}$$

$$\frac{1}{n_d} = \frac{200}{325} + \frac{260}{500} = 1/13 \Rightarrow n_d = 0/88$$

«۱۶ - گزینه «۴»

آسیب خستگی تجمعی:

$$\sum \frac{n_i}{N_i} = 1 : \begin{cases} n_i = \sigma_i \text{ کار کرده} \\ N_i = \sigma_i \text{ قطعه تا شکست} \end{cases}$$

$N_1 = 20$ و $N_2 = 40$ ساعت
 $n_1 = 10$ و $n_2 = ?$ $\rightarrow \frac{10}{20} + \frac{n_2}{40} = 1 \rightarrow n_2 = 20$

«۱۷ - گزینه «۳»

نکته: چون سطح مقطع هردو برابر است بنابراین ممان اینرسی قطبی میله توخالی بیشتر از میله توبیر است با توجه به فرمول روبرو:

$\tau = \frac{TC}{j}$ در τ_{\max} یکسان برای هر دو مقطع، مقطع توخالی گشتاور بیشتری را انتقال می‌دهد بنابراین با میله توخالی توان بیشتری را می‌توان منتقل نمود.

$(P = 2\pi f T)$

$$T_{\max} > T_{\max} \quad \text{میله توبیر} \quad \text{میله توخالی}$$

«۱۸ - گزینه «۲»

تئوری‌های شکست مواد شکل‌پذیر:

- ماکزیمم نش برشی (ترسکا): مطمئن‌ترین تئوری
- انرژی اعوجاجی (وان میسز): دقیق‌ترین تئوری
- تئوری‌های شکست مواد شکننده (ترد):
- کولمب مور: مطمئن‌ترین تئوری
- بهبود یافته مور: دقیق‌ترین تئوری



«۴» - گزینه ۱۹

$$\sigma_1 = \sigma_t = \frac{Pd_i}{\gamma t} = \frac{(40)(0/3)}{(2)(0/01)} = 600 \text{ MPa}$$

$$\sigma_3 = \sigma_L = \frac{Pd_i}{\gamma t} = 300 \text{ MPa} \quad \text{و} \quad \sigma_3 = -40 \text{ MPa}$$

$$\tau_{max} = \frac{\sigma_1 - \sigma_3}{2} = 320 \text{ MPa}$$

$$n = \frac{S_y}{\gamma \tau_{max}} = \frac{960}{640} = 1.5$$

نکته: فاکتور ایمنی براساس نظریه ماکریم تنش برشی عبارتست از:

$$n = \frac{S_{sy}}{\tau_{max}} \quad \text{و} \quad S_{sy} = o/\Delta S_y$$

نکته: تنش برشی ماکریم برابر نصف تفاضل حداکثر و حداقل تنש‌های اصلی است.

«۲» - گزینه ۲۰

$$\frac{1}{n} = \frac{\sigma_a}{S_e} + \frac{\sigma_m}{S_{ut}} = \frac{100}{300} + \frac{550}{800} \Rightarrow n = 1/0.4 \rightarrow n > 1$$

محور در برابر بارگذاری خستگی مقاوم است.

$$n = \frac{S_{sy}}{\tau_{max}} = \frac{S_y}{\sigma_m + \sigma_a} = \frac{500}{600} \rightarrow n < 1$$

در برابر بارگذاری استاتیکی مقاوم نیست و در اثر بارگذاری دچار شکست می‌شود.

نکته: در این گونه مساله‌ها که مشخص نشده که آیا جسم دچار واماندگی استاتیکی می‌شود یا واماندگی خستگی؛ باید هم ضریب اطمینان خستگی و هم ضریب اطمینان استاتیکی محاسبه شود.





۲۱- گزینه «۳»

ابتدا میله و گوی را جدا کرده و نیروهای وارد بر آنها را رسم می‌کنیم:

$$\text{شکل ۲} : \sum F_y = 0 \Rightarrow N_1 \cos 60^\circ = 3w \Rightarrow N_1 = 6w$$

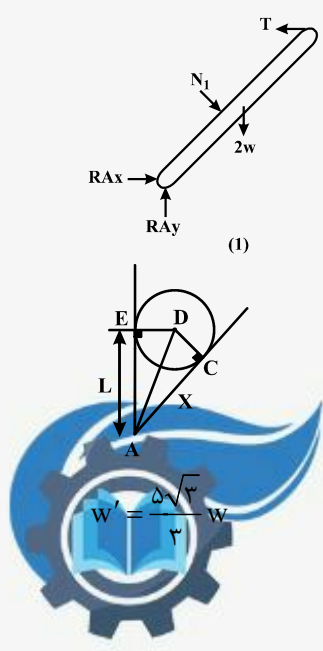
$$\text{شکل ۱} : \sum M_A = 0 \Rightarrow T \times \cos 30^\circ \times 3L = 2w \times \frac{\sqrt{3}}{2} \sin 30^\circ + N_1 \times x \quad (1)$$

برای یافتن x به صورت زیر عمل می‌کنیم:

$$\Delta ADC \sim \Delta AOE \Rightarrow AE = AC \Rightarrow L = x \quad (2)$$

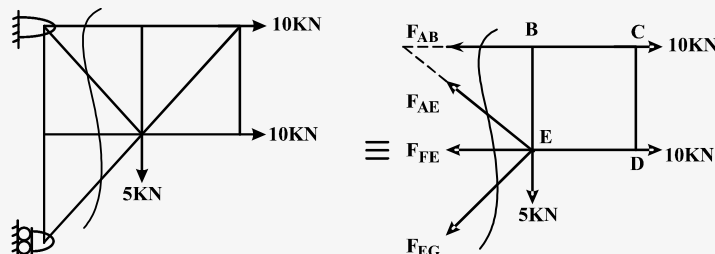
$$\xrightarrow{(1),(2)} T \times \frac{\sqrt{3}}{2} = \frac{3}{2} w + 6w \Rightarrow T \times \frac{\sqrt{3}}{2} = \frac{5}{2} w \Rightarrow T = \frac{5\sqrt{3}}{3} w$$

از طرفی نیروی کشش کابل با نیروی وزن برابر است، لذا:



«۳»-گزینه ۲۲

ابتدا واضح است که نیروهای اعضا AE و BE برابر صفر است، لذا با یک برش به صورت زیر می‌توان نیروی AE را محاسبه کرد:



$$\sum M_E = 0 \Rightarrow F_{AB} \times 10 = 10 \times 10 \Rightarrow F_{AB} = 10 \text{ kN}$$

$$\sum F_y = 0 \Rightarrow F_{AE} \times \frac{\sqrt{2}}{2} - F_{EG} \times \frac{\sqrt{2}}{2} = 5 \quad (1)$$

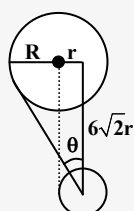
$$\sum F_x = 0 \Rightarrow F_{AE} \times \frac{\sqrt{2}}{2} + F_{EG} \times \frac{\sqrt{2}}{2} + F_{AB} = 20 \quad (2)$$

با جایگذاری رابطه (۱) در رابطه (۲) داریم:

$$F_{AE} \times \frac{\sqrt{2}}{2} + (F_{AE} \times \frac{\sqrt{2}}{2} - 5) + 10 = 20 \Rightarrow F_{AE} \sqrt{2} - 5 + 10 = 20 \Rightarrow F_{AE} \sqrt{2} = 15 \Rightarrow F_{AE} = \frac{15\sqrt{2}}{2}$$

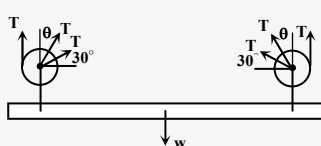
«۳»-گزینه ۲۳

ابتدا زاویه طنابی که از قرقه بزرگ به وسط قرقه کوچک متصل شده است را محاسبه می‌کنیم:



$$\sin \theta = \frac{R + r}{\sqrt{(R+r)^2 + 72r^2}} = \frac{3r}{\sqrt{9r^2 + 72r^2}} = \frac{3r}{9r} = \frac{1}{3}$$

حال دیاگرام آزاد وزنه را به همراه طناب‌ها رسم می‌کنیم:



$$\begin{aligned} \sum F_y &= 0 \Rightarrow 2T + 2T \sin 30^\circ + 2T \cos \theta = w \Rightarrow 3T + \frac{4\sqrt{2}}{3} T = w \\ \Rightarrow T &= \frac{3w}{9 + 4\sqrt{2}} \end{aligned}$$



«۲۴- گزینه ۱»

$$y = \frac{W}{2T_0} x^2$$

پایین ترین نقطه کابل را به عنوان مبدا در نظر می‌گیریم و با داشتن مختصات دو نقطه A و B داریم:

$$\begin{aligned} y_A &= \frac{100x_A^2}{2T_0} \Rightarrow \Delta = \frac{100x^2}{2T_0} & (1) \\ y_B &= \frac{100x_B^2}{2T_0} \Rightarrow \gamma = \frac{100(4\Delta - x^2)}{2T_0} & (2) \end{aligned}$$

$$\left. \begin{array}{l} \frac{(2)}{(1)} \Rightarrow \gamma = \frac{(4\Delta - x^2)}{x^2} \\ \Rightarrow 4\Delta - x^2 = 2x \Rightarrow x = 15m \end{array} \right\}$$

حال مختصات نقطه A را در معادله کابل سهمی فرار می‌دهیم تا مقدار نیروی T_0 که کمترین نیروی کشش کابل می‌باشد حاصل شود:

$$y_A = \frac{wx_A^2}{2T_0} \Rightarrow \Delta = \frac{100}{2T_0} (15)^2 \Rightarrow T_0 = 10 \times (15)^2 = 2250N$$

«۲۵- گزینه ۴»

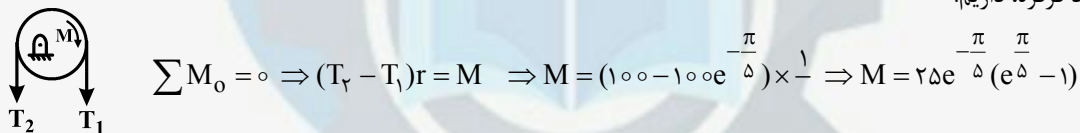


$$\sum M_A = 0 \Rightarrow T_1 \times 0 / \Delta = 2 / \Delta \times 20 \Rightarrow T_1 = 100N$$

از طرفی T_1 را می‌توان از رابطه زیر محاسبه کرد:

$$T_1 = T_r e^{\mu \alpha} \Rightarrow T_1 = T_r e^{-\mu \alpha} \Rightarrow T_1 = 100 e^{-\pi x / 2}$$

حال با رسم دیاگرام آزاد قرقره، داریم:



«۲۶- گزینه ۴»

$$J = Ar_J^r, J = I_x + I_y$$

$$I_x = \int y^r dA = \int y^r \left(\frac{1}{r} - x\right) dy = \int_0^1 \left(\frac{1}{r} - \frac{y^r}{r}\right) y^r dy = \frac{1}{42}$$

$$I_y = \int x^r dA = \int x^r y dx = \int_0^1 \frac{x^r}{r} y dx = \frac{x^r}{r} \Big|_0^1 = \frac{1}{40}$$

$$A = \int dA = \int y dx = \int_0^1 \frac{y}{r} dx = \frac{y^r}{r} \Big|_0^1 = \frac{1}{6}$$

$$J = I_x + I_y = \frac{1}{42} + \frac{1}{40} = \frac{41}{180}$$

$$J = Ar^r \Rightarrow \frac{41}{180} = \frac{1}{r^r} \Rightarrow \frac{1}{21} = \frac{1}{r^r} \Rightarrow r^r = \frac{r}{4} \Rightarrow r = \frac{r}{4} \times 21 = 5.25$$

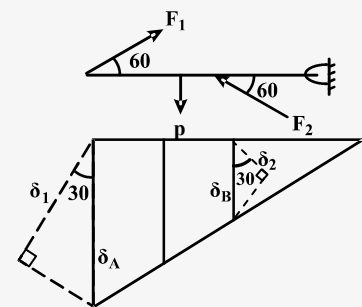
«۲۷- گزینه ۳»

ابتدا نیروهای وارد بر میله را مشخص می کنیم:

با رسم جابه جایی مربوط به میله های (۱) و (۲) و تشابه مثلث های ایجاد شده داریم:

$$\frac{\delta_B}{\delta_A} = \frac{a}{4a} = \frac{1}{4}$$

$$\delta_A = \frac{\delta_1}{\cos 30^\circ}, \quad \delta_B = \frac{\delta_2}{\cos 30^\circ} \Rightarrow \frac{\frac{\delta_2}{\delta_1}}{\frac{\cos 30^\circ}{\cos 30^\circ}} = \frac{1}{4} \Rightarrow \delta_1 = 4\delta_2 \quad (1)$$



$$\delta_1 = \frac{F_1 L_1}{A_1 E_1} = \frac{F_1 \times \frac{4a}{\cos 30^\circ}}{AE}, \quad \delta_2 = \frac{F_2 \times L_2}{A_2 E_2} = \frac{F_2 \times \frac{a}{\cos 30^\circ}}{AE} \quad (2)$$

$$\xrightarrow{(2), (1)} 4 \times \frac{F_2 a}{AE \cos 30^\circ} = \frac{F_1 \times 4a}{AE \cos 30^\circ} \Rightarrow F_2 = 2F_1 \Rightarrow \frac{F_2}{F_1} = 2$$

«۲۸- گزینه ۲»

اگر لنگر ناشی از نیروهای فنر بالایی و پایینی را T' و لنگر ناشی از نیروهای فنر کناری T'' باشد، زاویه پیچش برابر است با:

$$\phi = \frac{\int_0^L T_x dx - (2T' + 2T'')L}{GJ} \quad (1)$$

$$\left. \begin{array}{l} T'' = Fa \\ F = K\Delta \\ \Delta = a\phi \end{array} \right\} \Rightarrow T'' = Ka\phi \quad (2), \quad \left. \begin{array}{l} T' = raF \\ F = K\Delta \\ \Delta = r a \phi \end{array} \right\} \Rightarrow T' = rKa\phi \quad (3)$$

$$\xrightarrow{(3), (2), (1)} \phi = \frac{\int_0^L T_o x^r dx - rKa^r(\phi + r\phi)}{GJ} \\ \Rightarrow \phi = \frac{T_o L^r}{rGJ} - \frac{rKa^r \phi}{GJ} \Rightarrow \phi(1 + \frac{rKa^r}{GJ}) = \frac{T_o L^r}{rGJ} \Rightarrow \phi = \frac{T_o L^r}{r(GJ + rKa^r)}$$



«۴» - گزینه ۲۹

محل تار خنثی جایی است که σ_x برابر صفر شود:

$$\sigma_x = -\frac{M_z y}{I_z} + \frac{M_y z}{I_y} \xrightarrow{\sigma_x=0} y = \left(\frac{I_z}{I_y} \tan \theta\right) z$$

در نتیجه تار خنثی خط راستی با شیب $m = \frac{I_z}{I_y} \tan \theta$ می‌باشد، لذا زاویه φ با محور Z از رابطه زیر به دست می‌آید:

$$\tan \varphi = \frac{I_z}{I_y} \tan \theta$$

که θ زاویه‌ای است که M با محور Z می‌سازد و از آنجا که I_v و I_z هر دو مثبت هستند لذا خواهیم داشت:

$$\begin{cases} I_z > I_y \Rightarrow \varphi > \theta \\ I_y > I_z \Rightarrow \varphi < \theta \end{cases}$$

همواره محور خنثی بین M و محوری که I کمتری دارد قرار می‌گیرد.

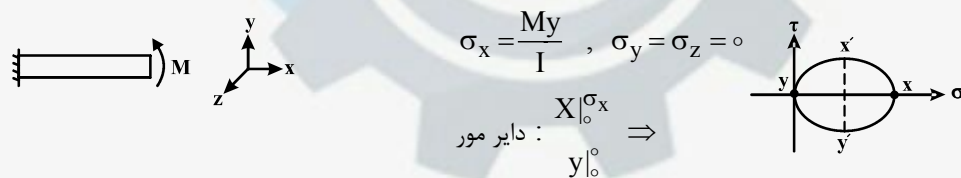
در سؤال داده شده چون I_v دارای مقدار کمتری است لذا محور خنثی همواره بین لنگر M و محور y قرار دارد:

$$\sin \theta = \frac{4}{5} \Rightarrow \theta = 53^\circ$$

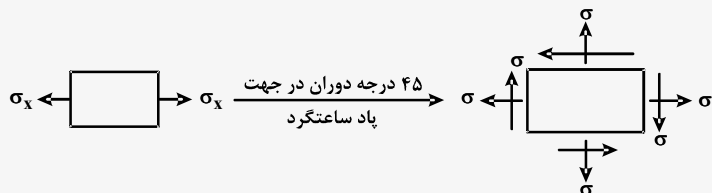
در نتیجه محور خنثی همواره در بازه $53^\circ < \varphi < 90^\circ$ قرار دارد.

«۲» - گزینه ۳۰

برای حل سؤال ابتدا تیری تحت خمث خالص را در نظر می‌گیریم و دایره در آن را رسم می‌کنیم:

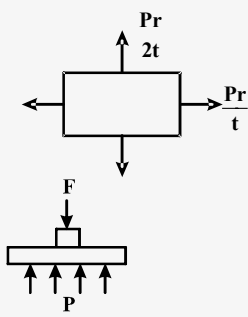


اگر شکل المان مربوط به تنش‌های حاصله در اثر ۴۵ درجه دوران را از روی دایره فوق رسم کنیم، داریم:



۳۱- گزینه «۱»

ابتدا تنش های وارد بر جداره استوانه را محاسبه می کنیم:



$$\sigma_x = \frac{Pr}{2t}, \quad \sigma_\theta = \frac{Pr}{t}$$

از طرفی رابطه نیروی F و فشار وارد بر سطح بالایی عبارتست از:

$$\sum F_y = 0 \Rightarrow F = P \times \pi r^2 \quad (1)$$

تئوری فون میسز به صورت زیر است:

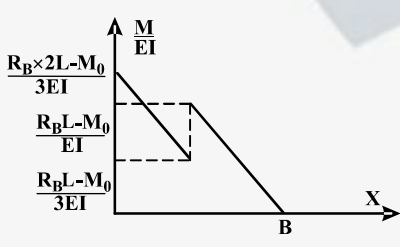
$$\begin{aligned} F.S. &= \frac{\sigma_y}{\sqrt{\sigma_1^2 - \sigma_1 \sigma_2 + \sigma_2^2}} \Rightarrow \frac{r}{r} = \frac{\sigma_y}{\sqrt{\frac{P^2 r^2}{4t^2} - \frac{P^2 r^2}{4t^2} + \frac{P^2 r^2}{t^2}}} = \frac{\sigma_y}{\sqrt{\frac{P^2 r^2 (1-2+4)}{4t^2}}} \\ &\Rightarrow \frac{r}{r} = \frac{r \sigma_y t}{\sqrt{3} P r} \Rightarrow P = \frac{r \sigma_y t}{\sqrt{3} r} \quad (2) \\ &\xrightarrow{(2), (1)} F = P \times \pi r^2 = \frac{r \sigma_y t}{\sqrt{3} r} \times \pi r^2 = \frac{\pi r \sigma_y t}{\sqrt{3}} \end{aligned}$$

۳۲- گزینه «۳»

از روش لنگر مساحت جابه جایی نقطه B را محاسبه می کنیم و آن را مساوی صفر قرار می دهیم:

$$M = R_B x - M_o \quad 0 < x < 2L$$

حال نمودار $\frac{M}{EI}$ را رسم می کنیم:



$$t_B = \sum_{i=1}^3 (\text{مساحت ناحیه } \times \bar{x})_i$$

$$\Rightarrow t_B = \left(\frac{R_B L - M_o}{2EI} \times L \right) \frac{2L}{3} + \left(\frac{(R_B L - M_o)L}{3EI} \times \frac{2}{3} L \right) + \frac{R_B L}{2EI} \times \frac{L}{2} \times \left(L \times \frac{2}{3} L \right)$$

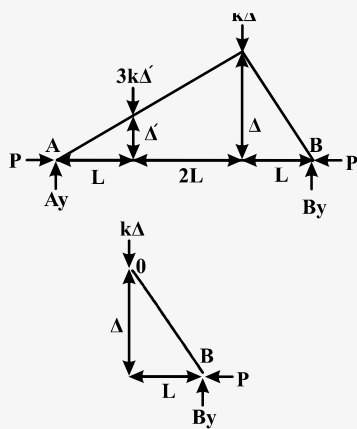
$$\delta_B = 0 \Rightarrow t_B = 0 \Rightarrow \frac{R_B L - M_o}{3} + \frac{R_B L - M_o}{2} + \frac{\Delta R_B L}{18} = 0$$

$$\Rightarrow \frac{6R_B L - 6M_o + 9R_B L - 9M_o + \Delta R_B L}{18} = 0 \Rightarrow 15R_B L = 15M_o \Rightarrow R_B = \frac{M_o}{L}$$



۳۳- گزینه «۱»

ابتدا سیستم را به اندازه Δ از حالت تعادل خارج می‌کنیم:



$$\text{تشابه مثلث} : \frac{\Delta'}{\Delta} = \frac{L}{3L} \Rightarrow \Delta' = \frac{\Delta}{3}$$

$$\sum M_A = 0 \Rightarrow B_y \times 4L = K\Delta \times 3L + 3K\Delta' \times L$$

$$\Rightarrow B_y = \frac{3K\Delta L + 3K \times \frac{\Delta}{3} L}{4} = K\Delta \quad (1)$$

$$\sum M_o = 0 \Rightarrow P_{cr} \times \Delta = B_y \times L \Rightarrow P_{cr} \times \Delta = K\Delta \times L \Rightarrow P_{cr} = KL$$

۳۴- گزینه «۳»

تسممهای دندانهدار در محدوده گستردگی از سرعت بکار می‌روند و دارای راندمانی از ۹۷ تا ۹۹ درصد می‌باشند.

زنگیرهای غلتکی به ندرت در اثر ضعف استحکام کششی می‌شکنند، علت شکست سایش غلتکها یا خستگی آنها می‌باشد. در کابلهای فلزی باافت منظم سیم‌های فلزی در یک جهت تابیده می‌شوند و سپس رشته‌ها در جهت مخالف تابیده می‌شوند.

۳۵- گزینه «۳»

مقدار استحکام دوام در مجموعه چرخدنده‌های ساده برابر است با:

$$\sigma_{c,all} = \frac{S_c Z_N C_H}{S_H K_T K_R}$$

که تنها C_H تابعی از نسبت سرعت می‌باشد و با توجه به نمودارهای موجود در منابع با افزایش نسبت سرعت مقدار C_H افزایش می‌باید بنابراین استحکام دوام تماسی افزایش می‌باید. اما این ضریب (C_H) تنها برای چرخدنده بکار می‌رود بنابراین استحکام دوام تماسی پینیون تغییر نمی‌کند.

۳۶- گزینه «۲»

برای کلاچ‌های مخروطی دو حالت وجود دارد: ۱ - سایش یکنواخت، ۲ - فشار یکنواخت

با توجه به اینکه کلاچ مورد استفاده نمی‌باشد از حالت فشار یکنواخت استفاده می‌شود.

$$T = \frac{F_f}{3 \sin \alpha} \frac{D^3 - d^3}{D^3 - d^3} = \frac{10 \times 10^3 \times 0/2}{3 \times \frac{1}{2}} \frac{0/1^3 - 0/04^3}{0/1^3 - 0/04^3}$$

$$T = 148/5 \text{ N.m}$$

«۳۷ - گزینه «۳»

در روانکاری هیدرودینامیک و هیدرواستاتیک لایه نسبتاً ضخیم روانکار سبب جدایی سطوح میشود.

روانکاری الاستوھیدرودینامیک با وارد شدن یک روانکار بین سطوحی که نسبت به هم دارای حرکت غلتشی هستند به کار میرود.

عدد سامرفلید برابر است با $S = \frac{V}{C}^2 \frac{\mu N}{P}$ افزایش عدد سامرفلید به مفهوم افزایش $\frac{\mu N}{P}$ میباشد و در این اعداد سامرفلید لایه ضخیم تشکیل میشود (حالت پایدار).

در روانکاری هیدرواستاتیک نیاز به حرکت نسیی سطوح نمیباشد.

«۳۸ - گزینه «۳»

برای طراحی فلنچ، برای قطر دایره که پیچها بر روی آن قرار میگیرند رابطه زیر مطرح میشود.

$$3 \leq \frac{\pi D_b}{Nd} \leq 6$$

قطر دایره‌ی سوراخها D_b

قطر پیچها d

تعداد پیچها N

$$d = 20 \text{ mm} \quad N = 12$$

$$3 \leq \frac{\pi D_b}{12 \times 20} \leq 6$$

$$229 \text{ mm} \leq D_b \leq 458 \text{ mm}$$



«۳۹» - گزینه «۲»

در طراحی دینامیکی داریم:

$$\sigma_a = \frac{|\sigma_{\max} - \sigma_{\min}|}{2} = \frac{200 + 100}{2} = 150 \text{ MPa}$$

$$\sigma_m = \frac{\sigma_{\max} + \sigma_{\min}}{2} = 150 \text{ MPa}$$

با استفاده از تئوری گودمن:

$$\frac{\sigma_a}{s_e} + \frac{\sigma_m}{s_{ut}} = \frac{1}{n} \Rightarrow \frac{150}{150} + \frac{150}{500} = \frac{1}{n} \Rightarrow n_f = 1/9$$

با استفاده از تئوری سادربرگ:

$$\frac{\sigma_a}{s_e} + \frac{\sigma_m}{s_y} = \frac{1}{n} \Rightarrow \frac{150}{150} + \frac{150}{300} = \frac{1}{n} \Rightarrow n_f = 1/85$$

با استفاده از لانگر:

$$\frac{\sigma_a + \sigma_m}{s_y} = \frac{1}{n} \Rightarrow n_s = 1/5$$

«۴۰» - گزینه «۴»

برای مواد شکل پذیر در بارگذاری استاتیکی سه تئوری شکست داریم، ترسکا، فون میسر و بیشترین تنش عمودی:

$$\sigma_1 = 200 \text{ MPa} \quad \sigma_2 = 150 \text{ MPa} \quad \sigma_3 = -50 \text{ MPa}$$

ترسکا:

$$\tau_{\max} = \frac{\sigma_1 - \sigma_3}{2} = 125 \text{ MPa}$$

$$s_{sy} = \frac{s_y}{2} \quad n_t = \frac{s_{sy}}{\tau_{\max}} = \frac{\frac{s_y}{2}}{125} = \frac{s_y}{250}$$

فون میسر:

$$\sigma' = \left[\frac{(\sigma_1 - \sigma_3)^2 + (\sigma_1 - \sigma_2)^2 + (\sigma_2 - \sigma_3)^2}{2} \right]^{\frac{1}{2}}$$

$$\sigma' = 230 \text{ MPa} \quad , \quad n_{fon} = \frac{s_y}{230}$$

$$n_{\max} = \frac{s_y}{200}$$

ترسکا > فون میسر > بیشترین تنش محوری

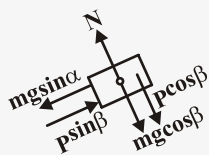




«۴۱» - گزینه «۳»

با تجزیه نیروها در دو جهت عمود بر هم خواهیم داشت:

الف) P_{\max} زمانی رُخ می‌دهد که حجم رویه بالای سطح شیبدار در آستانه حرکت باشد که در شکل (۱) f_S رویه پایین خواهد بود. لذا:



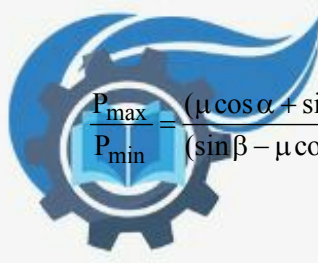
$$\begin{cases} f_S + mg \sin \alpha = P_{\max} \sin \beta \\ f_S = \mu N = \mu(P_{\max} \cos \beta + mg \cos \alpha) \end{cases} \Rightarrow P_{\max} = \frac{w(\mu \cos \alpha + \sin \alpha)}{\sin \beta - \mu \cos \beta}$$

ب) زمانی رُخ می‌دهد که جسم رویه پایین سطح در حال حرکت باشد لذا f_S رویه بالا خواهد بود:

$$f_S + P \sin \beta = mg \sin \alpha \Rightarrow P_{\min} = \frac{w(-\mu \cos \alpha + \sin \alpha)}{(\mu \cos \beta + \sin \beta)}$$

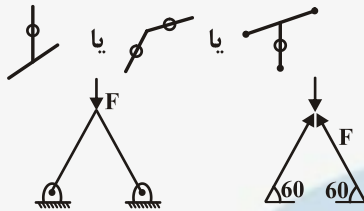
با تقسیم این دو عبارت و تقسیم صورت و مخرج به $\cos \beta \cos \alpha$ خواهیم داشت:

$$\frac{P_{\max}}{P_{\min}} = \frac{(\mu \cos \alpha + \sin \alpha)(\mu \cos \beta + \sin \beta)}{(\sin \beta - \mu \cos \beta)(\sin \alpha - \mu \cos \alpha)} = \frac{(\mu + \tan \alpha)(\mu + \tan \beta)}{(\tan \beta - \mu)(\tan \alpha - \mu)}$$



«۴۲ - گزینه «۱»

نکته: عضو صفر نیرویی، عضوی است که در یک سازه هیچ نیرویی بر آن وارد نمی‌شود و می‌توان آن را در خرپا حذف نمود. بر این اساس عضوهای CD، CB و..... صفر نیرویی هستند (شکل)



لذا اگر عضوهای صفر نیرویی در شکل را حذف نماییم خواهیم داشت: $2F \sin 60^\circ = 1500$

$$F = \frac{1500}{2 \times \frac{\sqrt{3}}{2}} = \frac{1500}{\sqrt{3}} = 500\sqrt{3} N$$

«۴۳ - گزینه «۲»

گشتاور خمسی از انتهای آزاد تیر تا فاصله $\frac{L}{3}$ ثابت و برابر PL می‌باشد و از وسط تیر تا سمت گیردار آن به صورت خطی تغییر می‌کند تا آنکه

در انتهای گیردار به $1/5 pL$ می‌رسد

تذکر: هر دو گشاور هم جهت می‌باشند.

«۴۴ - گزینه «۳»

می‌دانیم برای طنابی که به میزان β (بر حسب رادیان) حول محور پچیده است و ضریب اصطکاک بین طناب و محور μ است و کشش دو طرف T_1

$$\frac{T_2}{T_1} = e^{\mu\beta} \Rightarrow \frac{25^\circ}{5^\circ} = e^{\mu\beta} \xrightarrow{\beta=2\pi} 5^\circ = e^{2\pi\mu} \Rightarrow \mu = \frac{\ln 5^\circ}{2\pi} = 0.62$$

و است داریم:



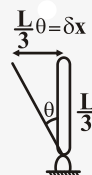


$$x^r + y^r = L^r \quad (1)$$

پس از $xdx + ydy = 0 \rightarrow \delta y = -\frac{x}{y} \delta x$

$$\delta x = \frac{L}{3}\theta, \frac{x}{y} = \cot \theta$$

$$P\delta y + M\delta\theta = 0 \Rightarrow M = \frac{PL}{3} \cot \theta$$



«۴۵- گزینه ۳»

ابتدا لینک BC را در نظر می‌گیریم:



«۴۶- گزینه ۲»

نیروی وارد بر مقطع AB برابر $F_{AB} = R_1$

نیروی وارد بر مقطع BC برابر $F_{BC} = R_1$

نیروی وارد بر قسمت CD برابر $F_{CD} = -R_2$

چون میله از دو طرف بسته است، لذا تغییر طول آن برابر صفر است پس

$$\Rightarrow \Delta_{AB} + \Delta_{BC} + \Delta_{CD} = 0$$

$$\Rightarrow \frac{F_{AB}L}{AE} + \frac{F_{BC}L}{AE} - \frac{F_{CD}L}{AE} = 0$$

$$\Rightarrow \frac{R_1L}{AE} + \frac{R_1L}{AE} - \frac{R_2L}{AE} = 0 \Rightarrow R_1 + \frac{R_1}{2} - \frac{R_2}{3} = 0 \Rightarrow R_1 = \frac{2}{9}R_2$$



«۴۷- گزینه «۴»

چون به هنگام چرخش میله و لوله از هم جدا نشده و با هم می‌چرخند، لذا زاویه پیچش میله و لوله با همدیگر برابرند:

$$\begin{aligned} \phi_{AL} &= \phi_{st} \\ \frac{T_{AL}L}{G_{AL}J_{AL}} &= \frac{T_{st}L}{G_{st}J_{st}} \\ \Rightarrow \frac{T_{AL}}{T_{st}} &= \frac{G_{AL}J_{AL}}{G_{st}J_{st}} = \frac{80}{200} \times \frac{\frac{\pi}{32}d^4}{\frac{\pi}{32}[(2d)^4 - d^4]} = \frac{80}{200} \times \frac{d^4}{15d^4} \Rightarrow \frac{2}{5} \times \frac{1}{15} = \frac{2}{75} \end{aligned}$$

«۴۸- گزینه «۳»

طبق رابطه تنش برشی در مقطع مدور $\tau = \frac{Tr}{J}$ ، ماکزیمم تنش برشی در سطح خارجی میله اتفاق می‌افتد.

اما در مورد پیچش اعضا غیرمدور، به دلیل عدم تقارن محوری تحت اثر لنگر پیچشی دچار آشفتگی خواهد شد به عنوان مثال در یک میله مربعی تحت پیچش، تنش برشی در مقطع با افزایش فاصله از محور میله به طور خطی تغییر نمی‌کند، به عنوان مثال در این مقطع در گوشه‌های میله که حداکثر فاصله را از محور میله دارند تنش برشی صفر است. حداکثر تنش برشی در میله‌های راست با سطح مقطع مستطیلی در طول خط وسط ضلع پهن‌تر رخ می‌دهد.

همچنین اگر میله‌ای از جنس نرم تحت پیچش گسیخته شود، سطح مقطع گسیختگی عمود بر محور میله می‌باشد در حالی که اگر میله از جنس ترد باشد، تحت زاویه ۴۵ درجه گسیخته می‌شود.

«۴۹- گزینه «۴»

نیروی برشی در این مقطع افقی است، در نتیجه برآیند جریان برش در راستای عمودی باید مساوی صفر باشد. در ضمن چون جهت نیروی برش از چپ به راست می‌باشد در نتیجه جریان برش باید از وسط بال چپ شروع شده و در وسطبال خاتمه یابد. به عبارت دیگر جهت جریان برش در بال سمت چپ قرینه بال سمت راست می‌باشد.

همچنین چون نیروی برش افقی است، لذا نیروی برش در بال‌های بالا و پایین همسو و از چپ به راست باشند.



«۴- گزینه ۴»

برای محاسبه تنش محوری بستر در مقاطع باید مقدار $S = \frac{I}{C}$ مقاطع را حساب کنیم.

چون مقدار گشتاور وارده به همه مقاطع برابر است. مقطع با S کمتر دارای بیشترین تنش محوری می‌شود:

$$a \text{ مقطع } S = \frac{I}{C} = \frac{\frac{1}{12}(a)(2a)^3}{a} = \frac{8a^4}{12a} = \frac{2a^3}{3}$$

$$b \text{ مقطع } S = \frac{I}{C} = \frac{\frac{1}{12}\left(\frac{a}{2}\right)(a^3)}{\frac{a}{2}} = \frac{2a^4}{8a} = \frac{a^3}{4}$$

$$c \text{ مقطع } \pi r^3 = 2a^3 \Rightarrow r = \sqrt[3]{\frac{\pi}{2}a} \Rightarrow S = \frac{I}{C} = \frac{\pi r^3}{4}$$

$$= \frac{\pi \left(\sqrt{\frac{\pi}{2}}\right)^3 a^3}{4} = \cdot / 39a^3$$

$$d \text{ مقطع } 2a^3 = \frac{\sqrt{3}}{4}c^3 \quad c = \frac{2\sqrt{2}a}{\sqrt[4]{3}} \quad H = \frac{\sqrt{3}}{2} \times \frac{2\sqrt{2}}{\sqrt[4]{3}} = \sqrt{2}\sqrt[4]{3}$$

$$I = \frac{1}{36}ch^3 \quad C = \frac{rh}{3} \Rightarrow \frac{I}{C} = \cdot / 28a^3$$

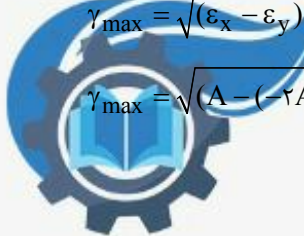
«۳- گزینه ۳»

کرنش برشی ماکزیمم در حالت تنش مسطح و کرنش صفحه‌ای از رابطه زیر بدست می‌آید:

$$\gamma_{max} = \sqrt{(\varepsilon_x - \varepsilon_y)^2 + \gamma_{xy}^2} = \quad \varepsilon_x = A \quad \varepsilon_y = -A \quad \gamma_{xy} = A$$

از شکل مقادیر کرنش‌ها به صورت زیر است:

$$\gamma_{max} = \sqrt{(A - (-A))^2 + A^2} = \sqrt{4A^2 + A^2} = \sqrt{5}A$$



«۵۲- گزینه «۳»

با استفاده از روش جمع آثار، باید شیب نقطه B را تحت ممان M و نیروی قائم P محاسبه کرد و مجموع آنها را برابر صفر قرار داد. با توجه به

$$\theta_B = \frac{Pa^2}{EI}$$

جدول انتهای کتاب مقاومت مصالح - مدرسان شریف، شیب تیر در نقطه B تحت نیروی قائم برابر است با:

$$\theta_B = \frac{M_o a}{EI}$$

همچنین شیب تیر در نقطه B تحت ممان خمثی برابر است با:

$$\theta_B = 0 \Rightarrow \frac{M_o a}{EI} - \frac{Pa^2}{EI} = 0 \Rightarrow \frac{M_o}{P} = \frac{a}{2}$$

حال با استفاده از روش برهم نهی داریم:

«۵۳- گزینه «۲»

با استفاده از رابطه معیار تسلیم مور کولمب که از شکل آن خواهیم داشت:

$$\frac{\text{تنش اصلی کششی}}{S_{uc}} + \frac{\text{تنش اصلی فشاری}}{S_{ut}} = \frac{1}{S.F}$$

در ربع دوم قرار داریم:

$$\frac{\frac{1}{2}\sigma_o}{15000} + \frac{\sigma_o}{7500} = \frac{1}{2}$$

$$\frac{\sigma_o}{30000} + \frac{\sigma_o}{7500} = \frac{1}{2} \rightarrow \sigma_o = \frac{1}{2} \times \left(\frac{7500 \times 30000}{7500 + 30000} \right) = 3000 \text{ PSI}$$



«۳»- گزینه ۵۴

همانگونه که می‌دانیم به یک المان در پوسته یک استوانه جدار نازک سه تنش در سه جهت وارد می‌شود:

$$\begin{cases} \sigma_{Z,L} = \frac{P_o r}{2t} \\ \sigma_{\theta,t} = \frac{P_o r}{t} \\ \sigma_r = 0 \end{cases}$$

که می‌توان این سه تنش که در سه جهت عمود بر هم می‌باشند را مانند σ_1 , σ_2 و σ_3 درنظر گرفت:

$$\tau_{max} = \max \left\{ \left(\frac{\sigma_1 - \sigma_2}{2} \right), \left(\frac{\sigma_1 - \sigma_3}{2} \right), \left(\frac{\sigma_2 - \sigma_3}{2} \right) \right\} = \frac{\sigma_1 + \sigma_2 + \sigma_3}{2}$$

$$\tau_{max} = \frac{P \frac{d}{2t}}{2} = \frac{Pd}{4t}$$



«۳»- گزینه ۵۵

تئوری اصلاح شده گودمن عبارتست از:

$$\frac{\sigma_a}{S_e} + \frac{\sigma_m}{S_{ut}} = \frac{1}{SF}$$

تنش استاتیکی از جنس مولفه‌های میانگین تنش نوسانی بوده و به آن اضافه می‌شود.

$$\sigma_m = 100 + 25 = 125 \text{ MPa}$$

$$\sigma_a = 75 \text{ MPa}$$

در نتیجه:

$$\frac{75}{200} + \frac{125}{500} = \frac{1}{SF} \Rightarrow SF = 1/6$$



«۵۶- گزینه «۴»

در پیچهای انتقال قدرت بدون اصطکاک تکیه‌گاهی، شرط خودقفلی به صورت زیر بیان می‌شود:

$$\mu > \tan \lambda \quad \text{و} \quad \tan \lambda = \frac{1}{\pi d_m}$$

که d_m قطر میانگین دندانه‌ها است:

$$d_m = \frac{\text{قطر پای دنده} + \text{قطر سر دنده}}{2}$$

از آن‌جا که با دو برابر شدن گام، ۱ نیز دو برابر می‌شود بنابراین $\tan \lambda$ تغییری نخواهد کرد و با ثابت بودن ضریب اصطکاک وضعیت خودقفلی تغییری نمی‌کند و همچنان در مرز خود قفلی باقی می‌ماند.
خودقفلی به زاویه پیشروی بستگی ندارد.

«۱»- گزینه «۵۷»

$$\tau = \frac{F}{A} = \frac{\sigma_0 \times 10^6}{\frac{\pi}{4} (10)^2} = 760 \times 10^6 = 760 \text{ MPa}$$

$$n = \frac{760}{140} = 5 / 43 < 6 \Rightarrow n = 6$$

«۳»- گزینه «۵۸»

$$\tau_i = K_s \frac{\lambda F_i D}{\pi d^4} \Rightarrow \begin{cases} D = 12 - 1/2 \Rightarrow C = \frac{D}{d} = \frac{10/\lambda}{1/2} = 9 \\ 100 \times 10^6 = \frac{\lambda \times F_i \times 10 / \lambda \times 1/06}{\pi \times (1/2)^4} \end{cases}$$

$$K_s = 1 + \frac{\sigma / \delta}{C}$$

$$C = \frac{D}{d}$$

$$\Rightarrow K_s = 1/06 \Rightarrow F_i = 484 \text{ kN}$$

«۴» - گزینه «۴»

گزینه صحیح گزینه ۴ می‌باشد چرا که مبنای تحمل بار شعاعی بوده و اگر این بار حضور داشته باشد کمی هم بار محوری تحمل می‌کند و نمی‌تواند بار محوری خالص را به تنها یی تحمل کند.



«۲» - گزینه «۲»

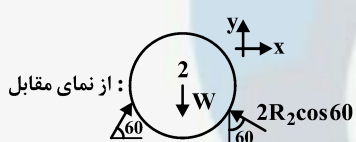
در شرایط مساوی با توجه به فرمول $k = \frac{d^4 G}{\lambda D^3 N_a}$ ، با کاهش تعداد حلقه‌های فنر ضریب فنریت افزایش می‌یابد، لذا گزینه ۱ و ۴ غلط‌اند.

از طرفی $W \approx \frac{1}{2} K \delta^2$ می‌باشد، لذا افزایش K باعث افزایش انرژی ذخیره شده می‌گردد.



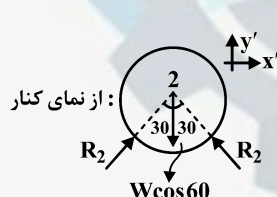
«۳» گزینه «۶۱

ابتدا گوی ۲ را جدا می کنیم:



$$\sum F_y = 0 \Rightarrow w = 2R_2 \cos 60^\circ + R_{12} \sin 60^\circ$$

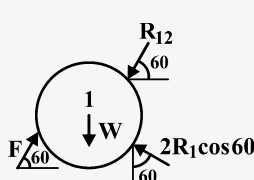
$$\sum F_{y'} = 0 \Rightarrow 2R_2 \cos 30^\circ = w \cos 60^\circ \Rightarrow R_2 = \frac{w}{2\sqrt{3}} \quad (1)$$



$$\xrightarrow{(1), (2)} w - \frac{w}{2\sqrt{3}} = R_{12} \times \frac{\sqrt{3}}{2} \Rightarrow R_{12} = \frac{w}{\sqrt{3}} - \frac{w}{3}$$

$$R_1 = \frac{w}{2\sqrt{3}} \quad \text{طبق حل گوی (2) می توان برای گوی (1) نوشت که:}$$

با نوشتند رابطه تعادل برای گوی (1):



$$\sum F_y = 0 \Rightarrow w + R_{12} \sin 60^\circ - 2R_1 \cos 60^\circ = F \sin 60^\circ$$

$$w + \left(w + \frac{w}{\sqrt{3}} - \frac{w}{3}\right) \frac{\sqrt{3}}{2} - 2 \times \frac{w}{2\sqrt{3}} \times \frac{1}{2} = F \frac{\sqrt{3}}{2}$$

$$\Rightarrow F = \left(\frac{w}{\sqrt{3}} - \frac{w}{3} - \frac{w}{3}\right) = \frac{w}{\sqrt{3}} - \frac{2w}{3} = \left(\frac{2\sqrt{3}-2}{3}\right)w = \frac{2}{3}(\sqrt{3}-1)w$$

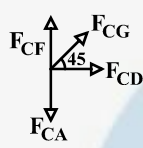
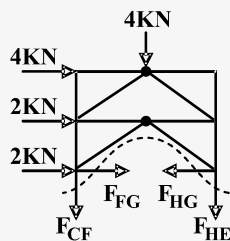
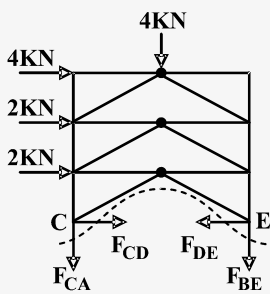


«۳» - گزینه ۶۲

ابتدا از روش برش استفاده می‌کنیم و نیروی CA و CF را محاسبه می‌کنیم، لذا داریم:

$$\sum M_E = 0 \Rightarrow -(4 \times 6 + 2 \times 4 + 2 \times 2) + F_{AC} \times 4 + 4 \times 2 = 0$$

$$F_{AC} = 4kN$$



$$\sum M_H = 0 \Rightarrow 4 \times 2 + F_{CF} \times 4 - (4 \times 4 + 2 \times 2) = 0$$

$$\Rightarrow F_{CF} = 4kN$$

حال از روش مفصل برای مفصل C استفاده می‌کنیم:

$$\sum F_y = 0 \Rightarrow F_{CG} \times \frac{\sqrt{2}}{2} + F_{CF} - F_{CA} = 0$$

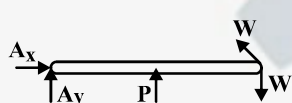
$$\Rightarrow \frac{F_{CG}}{\sqrt{2}} = (4 - 4) \Rightarrow F_{CG} = 4\sqrt{2}$$

«۱» - گزینه ۶۳

ابتدا میله AB را بررسی می‌کنیم و وزن W را بر حسب نیروی p محاسبه می‌کنیم:

$$\sum M_A = 0 \Rightarrow (w \sin \theta - w) \times \lambda + p \cdot 4 = 0$$

$$\sin \theta = \frac{3}{5} \Rightarrow \frac{16}{5} w = 4p \Rightarrow p = \frac{4}{5} w \Rightarrow w = \frac{5}{4} p$$

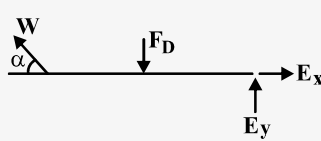


حال عضو CE را در نظر می‌گیریم:

$$\sum M_E = 0 \Rightarrow w \sin \theta \times \lambda - F_D \times 4 = 0$$

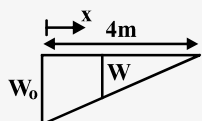
$$\xrightarrow{(1)} \frac{5}{4} p \times \lambda \times \frac{3}{5} - F_D \times 4 = 0 \Rightarrow 5p = 16F_D \Rightarrow F_D = \frac{5}{16} p$$

$$\sum F_y = 0 \Rightarrow E_y = \frac{3p}{2} - \frac{5}{4} p \times \frac{3}{5} = \frac{3}{2} p - \frac{3}{4} p = \frac{3}{4} p$$



«۶۴- گزینه «۴»

ابتدا دستگاه مختصات را در نقطه مینیمم کابل قرار می‌دهیم و معادله تغییرات W بر حسب x را می‌یابیم:



$$\frac{W}{W_0} = \frac{4-x}{4} \Rightarrow W = (1 - \frac{x}{4})W_0$$

$$\frac{dy}{dx} = \frac{w}{T_0} = \frac{W_0}{T_0} \left(1 - \frac{x}{4}\right)$$

با یکبار انتگرال‌گیری از رابطه فوق داریم:

$$\frac{dy}{dx} = \frac{W_0}{T_0} \left(x - \frac{x^2}{4}\right) + c_1$$

$x=0$ نقطه مینیمم کابل است و در این نقطه شیب صفر است لذا:

$$\frac{dy}{dx} \Big|_{x=0} = 0 \Rightarrow c_1 = 0$$

$$\Rightarrow \frac{dy}{dx} = \frac{W_0}{T_0} \left(x - \frac{x^2}{4}\right) \quad (1) \quad \text{انتگرال‌گیری} \rightarrow y = \frac{W_0}{T_0} \left(\frac{x^2}{2} - \frac{x^3}{24}\right) + c_2$$

شرایط مرزی بعدی عبارتست از:

$$y|_{x=0} = 0 \Rightarrow c_2 = 0 \Rightarrow y = \frac{W_0}{T_0} \left(\frac{x^2}{2} - \frac{x^3}{24}\right) \quad \text{و } x=0 \text{ و } y=0$$

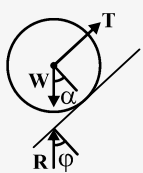
از طرفی با قرار دادن طول و عرض نقاط A یا B می‌توان مجهول $\frac{W_0}{T_0}$ را بدست آورد، لذا:

$$y_A = \frac{W_0}{T_0} \left(\frac{x_A^2}{2} - \frac{x_A^3}{24}\right) \rightarrow \frac{W_0}{T_0} \times \left(\lambda - \frac{\lambda}{3}\right) = \lambda \Rightarrow \frac{W_0}{T_0} = \frac{3}{2} \quad (2)$$

$$\frac{(1),(2)}{dx} \rightarrow \frac{dy}{dx} \Big|_{x=\lambda} = \frac{3}{2} (4-2) = 3$$

«۶۵- گزینه «۱»

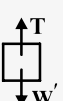
ابتدا دیاگرام آزاد غلتک را رسم می‌کنیم:



$$\sum F_y = 0 \Rightarrow R \cos \varphi = w \cos \alpha \Rightarrow t \varphi = \frac{w \sin \alpha - T}{w \cos \alpha}$$

از آنجایی که سطح تماس کوچک است، لذا φ زاویه کوچکی بوده و می‌توان گفت:

$$t \varphi = \sin \varphi = \frac{a}{R} \quad (1)$$



$$\sum F_y = 0 \Rightarrow T = w' \quad (2)$$

دیاگرام آزاد وزنه w' را هم رسم می‌کنیم:

$$\frac{a}{R} = \frac{w \sin \alpha - T}{w \cos \alpha} \quad (1)$$

نیروی اصطکاک لغشی

برای لغش و غلتش همزمان باید: نیروی اصطکاک لغشی = نیروی اصطکاک غلتشی

$$\Rightarrow \frac{a}{R} = \mu N \quad (1), (2) \rightarrow \frac{w \sin \alpha - w'}{w \cos \alpha} = \mu \Rightarrow \tan \alpha - \frac{w'}{w \cos \alpha} = \mu \Rightarrow \frac{w'}{w \cos \alpha} = \tan \alpha - \mu$$

$$\rightarrow w' = w (\sin \alpha - \mu \cos \alpha)$$

«۶۶- گزینه ۳»

کار هر یک از نیروها را محاسبه می کنیم:

$$w_m = M\delta \frac{\theta}{r} : \text{کار لنگر خارجی}$$

$$w_m = -mg\delta(l + \frac{l}{r})\sin\frac{\theta}{r} - mglsin\frac{\theta}{r} - mg \times lsin\frac{\theta}{r} : \text{کار نیروی وزن}$$

$$\delta w = 0 \Rightarrow \frac{M}{r}\delta\theta = mgl(\frac{r}{r}\cos\frac{\theta}{r} + \cos\frac{\theta}{r} + \cos\frac{\theta}{r})\delta\theta$$

$$\Rightarrow \frac{M}{r} = mgl \times (\frac{1}{r})\cos\frac{\theta}{r} \Rightarrow M = \frac{1}{r}mgl\cos\frac{\theta}{r}$$

«۶۷- گزینه ۲»

وزن سازه در صورتی حداقل می شود که تنش در هر دو میله یکسان باشد:

$$\Sigma F_x = 0 \Rightarrow F_{BC} \cos\theta = p \Rightarrow F_{BC} = \frac{P}{\cos\theta} \quad (1)$$

$$\Sigma F_y = 0 \Rightarrow F_{AB} = F_{BC} \sin\theta = P \tan\theta \quad (2)$$

$$V_T = A_{AB}L + A_{BC} \frac{L}{\sin\theta} = \frac{F_{AB}}{\sigma} \times L + \frac{F_{BC}}{\sigma} \times \frac{L}{\sin\theta}$$

$$\xrightarrow{(2),(1)} V = \frac{p \tan\theta}{\sigma} L + \frac{p}{\sigma \cos\theta} \times \frac{L}{\sin\theta}$$

$$\frac{dV}{d\theta} = 0 \Rightarrow \frac{PL}{\sigma}(1 + \tan^2\theta) - \frac{PL}{\sigma} \left(\frac{\cos^2\theta}{\sin^2\theta} \right) = 0$$

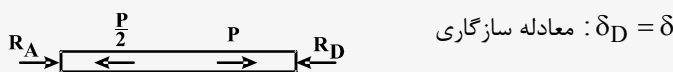
$$\Rightarrow \frac{PL}{\sigma} \left(\frac{1}{\cos^2\theta} - \frac{\cos^2\theta - \sin^2\theta}{\sin^2\theta \cos^2\theta} \right) = \left(\frac{\sin^2\theta - \cos^2\theta + \sin^2\theta}{\sin^2\theta \cos^2\theta} \right) \frac{PL}{\sigma} = 0$$

$$\Rightarrow \sqrt{3}\sin^2\theta - (1 - \sin^2\theta) = \sqrt{3}\sin^2\theta - 1 = 0 \Rightarrow \sqrt{3}\sin^2\theta = 1 \Rightarrow \theta = \sin^{-1}\frac{1}{\sqrt{3}}$$



«۶۸- گزینه ۴»

بعد از اعمال نیروها میله به دیواره می‌چسبد و از طرف دیواره نیز به آن نیرو وارد می‌شود، دیاگرام بعد از بارگذاری به صورت زیر است:



$\delta_D = \delta$: معادله سازگاری

$$\Rightarrow \frac{-R_D \times \frac{P}{2}}{AE} + \frac{P \times \frac{P}{2}}{AE} - \frac{\frac{P}{2} \times L}{AE} = \delta \Rightarrow \frac{P}{2}R_D = \frac{P}{2} - \frac{\delta AE}{L} \Rightarrow R_D = \frac{P}{2} - \frac{\delta AE}{\frac{P}{2}L}$$

$$\sigma_{CD} = \frac{R_D}{A} = \frac{P}{2A} - \frac{\delta E}{\frac{P}{2}L}$$

«۶۹- گزینه ۱»

از انحنای تیرهای مرکب دو جنسی با محور تقارن استفاده می‌کنیم:

$$\sigma_{xi} = \frac{My_i E_i}{E_1 I_1 + E_2 I_2}$$

$$\sigma_{x1} = \frac{My_1 E_1}{I_1 E_1 + I_2 E_2} = \frac{M \times \frac{P}{2} \times E_1}{E_1 I_1 + E_2 I_2} \xrightarrow{E_1 = \frac{P}{2} E_2} \sigma_{x1} = \frac{\frac{P}{2} M r E_2}{\frac{P}{2} I_1 E_2 + I_2 E_2} \Rightarrow \sigma_{x1} = \frac{\frac{P}{2} M r}{\frac{P}{2} I_1 + I_2} \quad (1)$$

$$\sigma_{x2} = \frac{My_2 E_2}{E_1 I_1 + E_2 I_2} = \frac{M \times \frac{P}{2} \times E_2}{E_1 I_1 + E_2 I_2} \xrightarrow{E_2 = \frac{P}{2} E_1} \sigma_{x2} = \frac{\frac{P}{2} M r}{\frac{P}{2} I_1 + I_2} \quad (2)$$

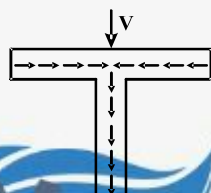
ملاحظه می‌شود که $\sigma_{x1} > \sigma_{x2}$ می‌باشد، لذا حداکثر لنگر خمشی در ماده (۱) رخ می‌دهد:

$$\begin{cases} I_1 = \frac{\pi}{4} (\lambda_1 r^4 - r^4) = 20 \pi r^4 \\ I_2 = \frac{\pi}{4} (\delta_2 5 r^4 - \lambda_1 r^4) = 136 \pi r^4 \end{cases} \xrightarrow{(1)} \sigma_{x1} = \frac{9Mr}{3 \times 20 \pi r^4 + 136 \pi r^4} = \frac{9M}{196 \pi r^3}$$

«۷۰- گزینه ۱»

همواره تغییرات تنفس برشی در راستای تار خنثی به صورت خطی است از آنجایی که قسمت بالایی مقطع دارای تنفس برشی در راستای تار خنثی می‌باشد، لذا تغییرات تنفس آن خطی است، از طرفی اگر جریان برش در مقطع بالایی را رسم کنیم به صورت روبرو است:

طبق شکل مقابل ملاحظه می‌شود که جریان برش در مقطع بالایی از مقدار صفر در کناره‌ها به مقدار ماقزیم در مرکز آن تغییر می‌کند لذا تنها گزینه ۱ یا ۳ صحیح می‌باشد با توجه به اینکه باید تغییرات خطی باشد فقط گزینه ۱ صحیح است.



«۳» - گزینه ۷۱

از طریق معادله زیر تنش‌های اصلی بدست می‌آیند:

$$\sigma'^{\circ} - I_x \sigma'^{\circ} + I_y \sigma' - I_z = 0$$

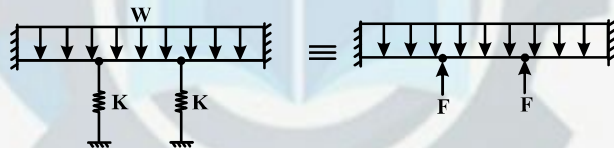
$$I_x = \sigma_x + \sigma_y + \sigma_z = 0, \quad I_y = \begin{vmatrix} \sigma_x & \tau_{xy} \\ \tau_{yx} & \sigma_y \end{vmatrix} + \begin{vmatrix} \sigma_y & \tau_{yz} \\ \tau_{zy} & \sigma_z \end{vmatrix} + \begin{vmatrix} \sigma_x & \tau_{xz} \\ \tau_{zx} & \sigma_z \end{vmatrix} \Rightarrow I_y = -\sigma^{\circ} - \sigma^{\circ} + 0 = -2\sigma^{\circ}$$

$$I_z = \begin{vmatrix} 0 & \sigma & 0 \\ \sigma & 0 & \sigma \\ 0 & \sigma & 0 \end{vmatrix} = 0$$

$$\text{با قرار دادن در معادله } \underline{\underline{\sigma'^{\circ} - 2\sigma^{\circ}\sigma' = 0}} \Rightarrow \sigma'(\sigma'^{\circ} - 2\sigma^{\circ}) = 0 \Rightarrow \begin{cases} \sigma' = 0 \\ \sigma' = \pm\sqrt{2}\sigma \end{cases}$$

«۲» - گزینه ۷۲

ابتدا دیاگرام آزاد تیر با برداشتن فنرها را رسم می‌کنیم:



به هر یک از تیرهای که به لولا متصل هستند نیروی $\frac{F}{2}$ وارد می‌شود با جدا کردن لولا داریم:

$$\begin{aligned} \delta_1 &= \frac{WL^4}{8EI} - \frac{K\delta_1 \times L^3}{2 \times 3EI}, \quad K = \frac{rEL}{L^3} \Rightarrow \delta_1 = \frac{WL^4}{8EI} - \frac{\delta_1}{2} \\ &\Rightarrow \frac{3}{2}\delta_1 = \frac{WL^4}{8EI} \Rightarrow \delta_1 = \frac{WL^4}{12EI} \end{aligned}$$

چون شکل متقاضی است هر یک از تیرهایی متصل به دیواره به میزان δ_1 پائین می‌آید، از طرفی تیر وسط نیز مانند تیر دو سر مفصل عمل می‌کند:



$$\delta_2 = \frac{5WL^4}{384EI}$$

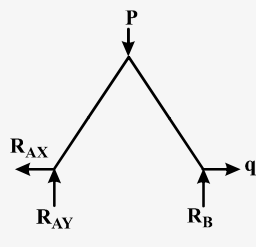
حال جابه‌جایی کل برابر است با:

$$\delta_{\text{total}} = \delta_1 + \delta_2 = \frac{WL^4}{12EI} + \frac{5WL^4}{384EI} = \frac{(32+5)WL^4}{384EI} = \frac{37WL^4}{384EI}$$



«۳» - گزینه ۷۳

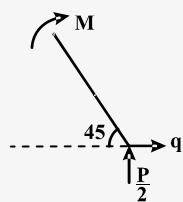
ابتدا به جای نیروی P که به نقطه B وارد می‌شود، برای اینکه با نیروی P عمودی یکسان گرفته نشود اسم آن را عوض کرده و q فرض می‌کنیم، حال نیروی تکیه گاهی را با توجه به این نیروها بدست می‌آوریم:



$$\sum M_A = 0 \Rightarrow R_B = \frac{P}{2}$$

$$\sum F_y = 0 \Rightarrow R_A = \frac{P}{2}, \sum F_x = 0 \Rightarrow R_{AX} = q$$

$$M_1 = qx \sin 45^\circ + \frac{P}{2} \times x \cos 45^\circ$$



چون بارگذاری و شکل متقارن است، کافیست برای محاسبه جابجایی افقی نقطه B به صورت زیر عمل کنیم:

$$\delta_B = \int_0^L \frac{M_1}{EI} \times \frac{\partial M_1}{\partial q} dx = \int_0^L \frac{(q + \frac{P}{2}) \times \frac{\sqrt{2}}{2} x}{EI} \times x \frac{\sqrt{2}}{2} dx$$

$$\Rightarrow \delta_B = \int_0^L \frac{(q + \frac{P}{2})x^2}{EI} dx \xrightarrow[\substack{\text{حال به جای } q \text{ مقدار واقعی} \\ \text{آن یعنی } p \text{ قرار می‌دهیم}]{} \delta_B = \int_0^L \frac{\frac{3}{2}px^2}{EI} dx \Rightarrow \delta_B = \frac{\frac{3}{2}P}{EI} \times \frac{x^3}{3} \Big|_0^L = \frac{PL^3}{2EI}$$

«۴» - گزینه ۷۴

در رابطه‌ی مربوط به عدد سامرفلید سرعت زاویه‌ای تنها مربوط به محور نمی‌باشد و باید سرعت زاویه‌ای یاتاقان و بار را نیز در نظر گرفت:

$$s = \left(\frac{r}{c}\right)^2 \mu N$$

$$N = N_j + N_b - 2N_f$$

N_f سرعت زاویه‌ای محور

N_b سرعت زاویه‌ای یاتاقان

$$s_1 = s' \left| \left[1 + \frac{N_b}{N_j} - 2 \frac{N_f}{N_j} \right] \right| = s' \left| \left[1 + 3 \right] \right| = 4s'$$

$$s_2 = s' \left| \left[1 + \frac{N_b}{N_j} - 2 \frac{N_f}{N_j} \right] \right| = s' \left| \left[1 + 0 - 0 \right] \right| = s'$$

$$\frac{s_1}{s_2} = \frac{4s'}{s'} = 4$$



«۲» - گزینه ۷۵

در پین‌های مخروطی از رابطه زیر برای محاسبهٔ قطر انتهای کوچکتر پین استفاده می‌شود.

$$d = D - \frac{1}{2} \times L, D = 10\text{ mm}, L = 100\text{ mm}$$

$$d = 10 - \frac{1}{2} \times 100 = 7/92\text{ mm} \quad \square \quad \lambda \text{ mm} \Rightarrow r = \frac{\lambda}{4} = 4\text{ mm}$$

«۳» - گزینه ۷۶

برای فنرهای مارپیچ فشاری فولادی با سرتخت و سنگ خورده داریم:

همچنین داریم:

$$L_o < \frac{5}{26}D = 10.5/2\text{ mm}$$

$$N_t = N_a + 2 \Rightarrow N_a = 20 - 2 = 18$$

$$L_o = pN_a + 2d = 18p + 4$$

$$18p + 4 < 10.5/2$$

$$18p < 10.1/2$$

$$p < 5/62(\text{mm})$$

«۴» - گزینه ۷۷

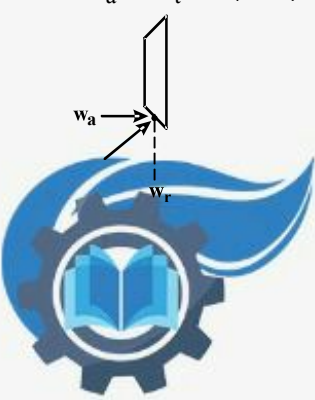
برای چرخدندهٔ مخروطی داریم:

$$w_t = \frac{H}{V} = \frac{10 \times 10^3}{20} = 500\text{ N}$$

$$w_a = w_t \tan \varphi \sin \gamma = 500 \times \frac{\sqrt{3}}{3} \times \frac{\sqrt{2}}{2} = \frac{250}{3} \sqrt{6} \quad 204\text{ N}$$

با توجه به جهت نیروها در چرخدنده‌های مخروطی داریم:

بنابراین یاتاقان B تحت فشار است و باید از نوع ساچمه‌ای باشد.



«۴- گزینه ۷۸»

در تسمه‌های تخت فلزی تنش خمشی σ_0 در اثر پیچیدن تسمه به دور چرخ تسمه برابر است با:

$$\sigma_0 = \frac{EIt}{(1-\nu^2)D}$$

بنابراین با افزایش ضخامت تسمه (t)، تنش خمشی افزایش می‌یابد.

تسمه‌های تخت برخلاف ذوزنقه‌ای برای فواصل محوری زیاد بکار می‌روند.

تسمه‌های ذوزنقه‌ای برای سرعت $\frac{4000}{\text{min}}$ مناسب می‌باشند بطور کلی برای دستیابی به بازده مناسب تسمه ذوزنقه‌ای باید کاملاً سریع چرخد. سرعت‌های بیش از $\frac{\text{ft}}{5000}$ یا کمتر از $\frac{\text{ft}}{1000}$ مشکلاتی ایجاد می‌کنند. بنابراین گزینه ۴ صحیح می‌باشد.

«۲- گزینه ۷۹»

با استفاده از روابط مربوط به ترمز نواری داریم:

$$\frac{P_1}{P_2} = e^{f\phi} = e^{\frac{0/2 \times \pi}{3}} = e^{1.5} = 1/2$$

$$P_1 = 1/2 P_2$$

$$T = (P_1 - P_2) \frac{D}{2}$$

$$10 = (P_1 - P_2) \times 50 \times 10^{-3}$$

$$P_1 - P_2 = 200 \text{ N} \Rightarrow \begin{cases} P_1 = 1200 \text{ N} \\ P_2 = 1000 \text{ N} \end{cases}$$

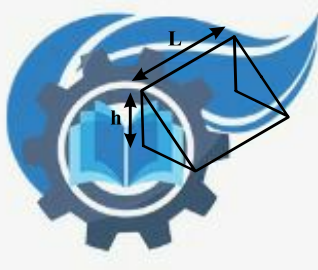
$$P_a = \frac{\gamma P_1}{bD} = \frac{2 \times 1200}{10 \times 10^{-3} \times 100 \times 10^{-3}} = 24 \text{ MPa}$$

«۲- گزینه ۸۰»

در اتصالات با جوش گلوبی، طول ساق موثر برابر $70hL/50$ می‌باشد.

در اتصالات با پیچ، شکست ممکن است در اثر پارگی از حاشیه ورق باشد.

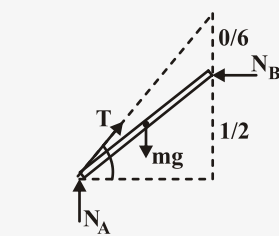
در اتصال پیچ - مهره نیروهای برشی توسط اصطکاک گرفته می‌شود و تنش لهیدگی بوجود نمی‌آید. هنگامی که نیروی پیش بار صفر باشد تنش‌های لهیدگی تحمل می‌شوند.



«۴»- گزینه ۸۱

ابتدا دیاگرام آزاد جسم را رسم می کنیم.

می دانیم که $\bar{F} = \frac{\gamma r}{\pi}$ برای نیمه استوانه معادله تعادل گشتاور را حول نقطه تماس با زمین را می نویسیم.



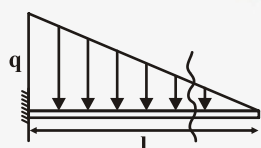
$$\left. \begin{array}{l} -m_1 g \times h_1 + m_2 g h_2 = 0 \\ h_1 = r \cos \theta \\ h_2 = \frac{\gamma r}{\pi} \sin \theta \end{array} \right\} \Rightarrow m_1 g h_1 = m_2 g h_2$$

$$m_1 r \cos \theta = m_2 \frac{\gamma r}{\pi} \sin \theta$$

$$\tan \theta = \frac{m_1 \pi}{\gamma m_2} \Rightarrow \theta = \tan^{-1} \frac{m_1 \pi}{\gamma m_2}$$

«۳»- گزینه ۸۲

برای بدست آوردن M در وسط تیر معادله M بر حسب x را بدست می آوریم.

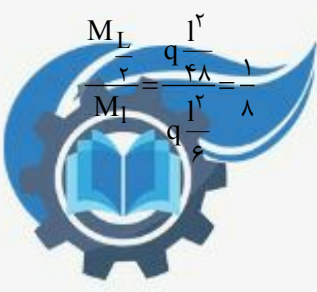


$$\Sigma M_o = 0$$

$$M - \frac{qx^2}{2l} \times \frac{x}{3} = 0 \Rightarrow M = \frac{qx^3}{6l}$$

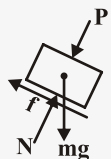
$$M_{\frac{l}{2}} = \frac{q(\frac{l}{2})^3}{6l} = \frac{ql^3}{48}$$

$$x = \frac{l}{2}$$



«۳» - گزینه ۸۳

فرض می‌کنیم جسم در آستانه لغزش به سمت پایین است دیاگرام آزاد جسم به صورت روبرو خواهد بود.



$$\sum F_y = 0$$

$$\left. \begin{array}{l} N - mg \cos \theta - P = 0 \\ f = mg \sin \theta = \mu N \\ N = \frac{mg \sin \theta}{\mu} \end{array} \right\} \Rightarrow \frac{mg \sin \theta}{\mu} - mg \cos \theta = P$$

$$mg \left(\frac{\sin \theta}{\mu} - \cos \theta \right) = P$$

«۲» - گزینه ۸۴

دیاگرام آزاد استوانه را رسم می‌کنیم.

سه حالت وجود خواهد داشت:

۱) در هر دو نقطه لغزش داشته باشیم.

۲) فقط در A لغزش داریم

۳) فقط در B لغزش داریم

چون در حالت اول بیشترین P را خواهیم داشت، پس این حالت بررسی نمی‌شود.

(الف) اگر در A لغزش داشته باشیم:

$$N_A = w$$

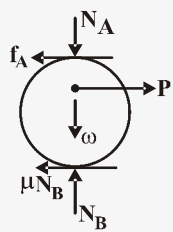
$$\mu N_A = \cdot / 3 w$$

$$N_B = \frac{2}{3} w$$

$$\sum M_B = 0$$

$$P_a \times \cdot / 4 - \cdot / 3 w \times \cdot / 6 = 0 \Rightarrow P_a = \frac{\cdot / 18 w}{\cdot / 4} = \cdot / 45 w$$

ب) اگر در B لغزش داشته باشیم.



$$N_A = w \quad N_B = \frac{r}{\gamma} w \quad \Sigma M_A = 0 \Rightarrow P_a \times \frac{r}{2} - \frac{1}{15} \times N_B \times \frac{r}{6} = 0$$

$$P_a = \frac{\cdot / 9 N_B}{\cdot / 2} = \cdot / 9 \times \frac{r}{2} \times \frac{w}{\cdot / 2} = \frac{\cdot / 27}{\cdot / 4} = \cdot / 675 w$$

$$P_{min} = \cdot / 45 w$$

«۱۰- گزینه «۱۰»

رابطه ممان سطح به شکل مقابل است.

$$I_x = dy^r d\theta$$

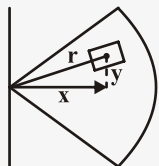
با تغییر متغیر به سیستم قطبی

$$I_y = dx^r dA$$

$$y = r \sin \theta$$

$$x = r \cos \theta$$

$$dA = r dr d\theta$$



$$I_x = \int_0^\alpha \int_0^R r^r \sin^r \theta r dr d\theta = \int_0^\alpha \frac{R^r}{r} \int_0^r 1 - \cos^r \theta d\theta = \frac{R^r}{r} \left[\theta - \frac{\sin^r \theta}{r} \right]_0^\alpha = \frac{R^r}{r} \left(\alpha - \frac{\sin^r \alpha}{r} \right)$$

$$I_y = \int_0^\alpha \int_0^R r^r \cos^r \theta r dr d\theta = \frac{R^r}{r} \int_0^\alpha \cos^r \theta d\theta = \frac{R^r}{r} \int_0^\alpha \frac{1 + \cos^r \theta}{2} d\theta = \frac{R^r}{r} \left[\theta + \frac{1}{r} \sin^r \theta \right]_0^\alpha = \frac{R^r}{r} \left(\alpha + \frac{1}{r} \sin^r \alpha \right)$$

$$\frac{I_x}{I_y} = \frac{\alpha - \frac{\sin^r \alpha}{r}}{\alpha + \frac{1}{r} \sin^r \alpha}$$



«۱» - گزینه «۸۶

چون هر دو سر A و B به صورت گیردار می‌باشند، لذا $\phi_B = \frac{TL}{A}$

حال با استفاده از رابطه $\phi = \frac{TL}{JG}$ داریم:

$$\phi = \frac{T_B L}{JG} + \frac{T_B L}{\gamma JG} + \frac{T_B L}{\gamma JG} - \frac{TL}{\gamma JG} - \frac{TL}{\gamma JG} = 0$$

$$\Rightarrow T_B + \frac{T_B}{\gamma} + \frac{T_B}{\gamma} = \frac{T}{\gamma} + \frac{T}{\gamma} \Rightarrow \frac{(6+3+2)}{6} T_B = \frac{(3+2)T}{6}$$

$$\Rightarrow T_B = \frac{\Delta}{11} T$$

$$T_A = T - T_B = T - \frac{\Delta}{11} T = \frac{6}{11} T$$

همچنین مقدار مجموع T_B و T_A برابر T است، لذا:

«۱» - گزینه «۸۷

توزیع تنش برشی در مقطع عرضی تیرها یکنواخت نیست. در سطوح خارجی مقطع یعنی سطوح فوقانی و تحتانی نیز تنش برشی صفر است.

ماکریم تنش برشی در مقاطعی مانند مقطع دایره‌ای، لوله‌ای، I و T شکل همانند

مقطع مستطیلی بر روی تار خنثی اتفاق می‌افتد. ولی در مقاطعی مانند مثلثی یا لوزی

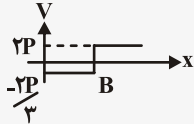
شکل تنش برشی بر روی تار خنثی ماکریم نمی‌باشد.

توزیع تنش برشی در لوزی در شکل روپردازی شده است.



«۲» - گزینه ۸۸

در شکل زیر نمودار نیروی برش مقطع تیر دیده می‌شود:



$$\sum M_A = 0 \quad 2P \times 2L - F_B \times \frac{3L}{2} = 0 \Rightarrow F_B = +\frac{4P}{3}$$

$$F_A = -F_B + F_C = -\frac{4P}{3} + 2P = \frac{-2P}{3}$$

حال به محاسبه تنش ماکسیمم و مقایسه آن می‌پردازیم:

$$\frac{\tau_{\max AB}}{T_{\max BC}} = \frac{V_{AB}}{V_{BC}} = \frac{\frac{2P}{3}}{\frac{-2P}{3}} = \frac{1}{1}$$

«۲» - گزینه ۸۹

برای به دست آوردن تغییر طول الیاف از رابطه کرنش استفاده می‌کنیم:

$$\epsilon = \frac{\Delta L}{L} \Rightarrow \Delta L = \epsilon \times L \quad \textcircled{1}$$

$$\epsilon_{\max} = \frac{1}{\rho}$$

مقدار ϵ یا کرنش در خمی از رابطه رویرو به دست می‌آید:

$$\text{که مقدار } C = h = \frac{2h}{3} \text{ می‌باشد. مقدار } \rho \text{ نیز از فرمول زیر جایگذاری می‌شود:}$$

$$\frac{1}{\rho} = \frac{M}{EI}$$

با جایگذاری مقادیر زیر در رابطه (۱):

$$\Delta L = \frac{C}{\rho} \times 1 = \frac{hM}{EI} \times L = \frac{hML}{E \times \frac{1}{12} b(2h)^3} = \frac{12hML}{8Ebh^3} = \frac{3}{2} \frac{ML}{Ebh^2}$$



«۹۰- گزینه «۲»

در مخازن جدار نازک استوانه‌ای تحت فشار، حداکثر تنش برشی بوجود آمده خارج از صفحه بوده و مساوی است با: (سطح بیرونی)

$$\tau_{\max} = \frac{\sigma_1}{2} = \frac{Pr}{2t} = \frac{PD}{4t}$$

همچنین مقدار تنش برشی ماکزیمم در صفحه‌ای که از دوران المان تنش حول محور Z به اندازه 45° به دست می‌آید، به وقوع می‌پیوندد:

$$\tau_{\max} (\text{in plan}) = \frac{\sigma_1 - \sigma_2}{2} = \frac{PD}{8t}$$

اما مقدار تنش برشی ماکزیمم در استوانه جدار نازک در سطح داخلی از طریق زیر به دست می‌آید:

$$\tau_{\max} = \frac{\sigma_1 - \sigma_3}{2} = \frac{PD}{4t} + \frac{P}{2}$$

لذا با توجه به صورت سؤال که مقدار تنش برشی ماکزیمم در سطح بیرونی مخزن را خواسته است.

«۹۱- گزینه «۴»

با استفاده از روش جمع آثار (روش برهم نهی) به محاسبه خیز تیر در انتهای آن می‌پردازیم.

$$\delta_c = \delta_1 + \delta_2 = \delta_1 + a \tan \theta$$



با توجه به جدول ۲ - A در انتهای کتاب مقاومت مصالح - مدرسان شریف مقدار δ_1 و θ را به دست می‌آوریم:

$$\delta_1 = \frac{M_o b^3}{2EI} \quad \theta = \frac{M_o b}{EI}$$

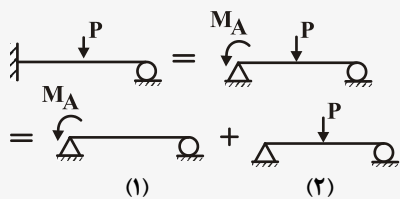
چون θ مقدار کوچکی است لذا: $\tan \theta \approx \theta$

$$\delta_c = \frac{M_o b^3}{2EI} + a M_o b = \frac{M_o (b^3 + 2ab)}{2EI}$$



۹۲- گزینه «۱»

با استفاده از روش جمع آثار داریم:



مقدار شیب در نقطه A صفر است، لذا: $\theta_A = 0^\circ$

از جدول ۲ - انتهای کتاب مقاومت مصالح مدرسان شریف مقدار θ_{A1} و θ_{A2} را وارد می‌کنیم:

$$\theta_A = \frac{-M_A(\gamma L)}{\gamma EI} + \frac{P(\gamma L)}{16EI} = 0^\circ \Rightarrow M_A = \frac{\gamma PL}{\lambda}$$

۹۳- گزینه «۱»

ثوری گودمن یه شکل زیر است:

$$\frac{\sigma_a}{S_e} + \frac{\sigma_m}{S_{ut}} = \frac{1}{n}$$

در این رابطه σ_m تنش میانگین، σ_a تنش نوسانی، n ضریب اطمینان، S_{vt} مقاومت تسليیم، S_{ut} مقاومت نهایی و S_e حد دوام است.

در این مثال $S_{ut} = 500$ و $S_e = 65S_{ut}$ ، $\sigma_a = 200 \text{ MPa}$ ، $\sigma_m = 150 \text{ MPa}$ می‌باشد و با جایگذاری داریم:

$$\frac{200}{65 \times 500} + \frac{150}{500} = \frac{1}{n} \Rightarrow \frac{0/615 + 0/3}{0/915} = \frac{1}{n} \Rightarrow n = \frac{1}{0/915} = 1/0.9$$

۹۴- گزینه «۳»

این سوال با استفاده از عملیات ریاضی به سادگی قبل محاسبه است.

تحت بار ۱ پس از 30° ساعت قطعه $\frac{30}{50}$ از عمر خود را طی کرده است و از کل عمرش $4/0$ باقی است.

تحت بار ۲ در هر ساعت $\frac{1}{40}$ از عمر قطعه سپری می‌شود، پس:

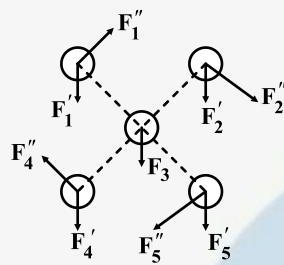


$$\frac{1}{40} \times N = 0/4 \Rightarrow N = 16 \text{ hr}$$

«۳» - گزینه ۹۵

در ابتدا دیاگرام آزاد هر پیچ را رسم می کنیم و نیروهای اولیه و ثانویه را روی آن اعمال می کنیم.
نیروی وارد بر هر پیچ شامل F' و F'' خواهد بود که چون پیچها هم اندازه هستند نیروی F' به صورت مساوی بین آنها تقسیم خواهد شد.

چون پیچ شماره ۳ در گرانیگاه قرار دارد بنابراین گشتاور اعمالی به آنها صفر است و $F_3'' = 0$ خواهد بود در سایر پیچها بدلیل تقارن مقدار نیروی F'' با هم برابر است اما جهت آنها متفاوت خواهد بود.
از برآیند نیروها مشخص است که پیچ ۲ و ۵ دارای شرایط بحرانی هستند.



«۳» - گزینه ۹۶

رابطه تنش برشی در فنر کششی به صورت زیر است:

$$\tau = K_s \frac{\lambda FD}{\pi d^r}$$

در این رابطه D قطر متوسط فنر و d قطر مفتول فنر است.

$$\frac{\tau_o}{\tau_1} = \frac{D_2}{D_1} \times \left(\frac{d_1}{d_2}\right)^r = \frac{\lambda D_2}{D_1} \times \left(\frac{d_1}{\lambda d_2}\right)^r = 1 \quad \tau_2 = \tau_1$$



«۳» - گزینه ۹۷

در محاسبه عمر یاتاقان‌ها از رابطه زیر استفاده می‌کنیم:

$$L_{yo} = \left(\frac{C}{P}\right)^a$$

«۱» - گزینه ۹۸

در چرخ‌دندوهای مارپیچ قطر دایره گام طبق رابطه زیر بدست می‌آید:

$$\begin{aligned} P_d &= P_{dn} \cos \psi \\ P_{dn} &= \frac{1}{m} = \frac{1}{4} \end{aligned} \quad \left\{ \begin{array}{l} P_d = \frac{1}{4} \times \cos 14^\circ / 5 = 0.242 \\ \dots \end{array} \right.$$

$$d = \frac{N}{P_d} \Rightarrow N = d \cdot P_d = 74 \times 0.242 = 17.91$$

بنابراین تعداد دندانه‌ها ۱۸ است.

«۱» - گزینه ۹۹

در این سوال باید توجه داشت که نیروی خمشی کاملاً معکوس شونده M که توسط نیروی P وارد می‌شود را باید درنظر گرفت:

$$S_e = 300 \quad S_{se} = 0.5 S_e = 0.5 \times 300 = 150 \text{ MPa}$$

با توجه به تئوری سانیز ابتدا تاثیر گشتاور پیچشی را بررسی می‌کنیم:

$$\begin{aligned} \tau &= 5^\circ \\ \tau_m &= \frac{15^\circ}{2} = 7.5 \end{aligned} \quad \left\{ \begin{array}{l} \tau < \tau_m \\ \dots \end{array} \right.$$

فقط تاثیر بار دینامیکی را بر قطعه بررسی می‌کنیم چون τ تاثیری بر وامانگی ندارد.

$$A = \frac{Pl}{2} = \frac{38 \times 3}{2} = 57 \text{ N.m}$$

$$d = \sqrt{\frac{32 M_n}{\pi S_e}} = \sqrt{\frac{32 \times 57}{\pi \times 300 \times 10^6}} \approx \sqrt{\frac{32}{6\pi}} \text{ mm}$$

چون حالت بحرانی است: $n = 1$

گزینه ۱ درست است.

«۲»-۱۰۰ گزینه

طبق روابط موجود مقدار بار برای عمر دائم از رابطه زیر بدست می‌آید.

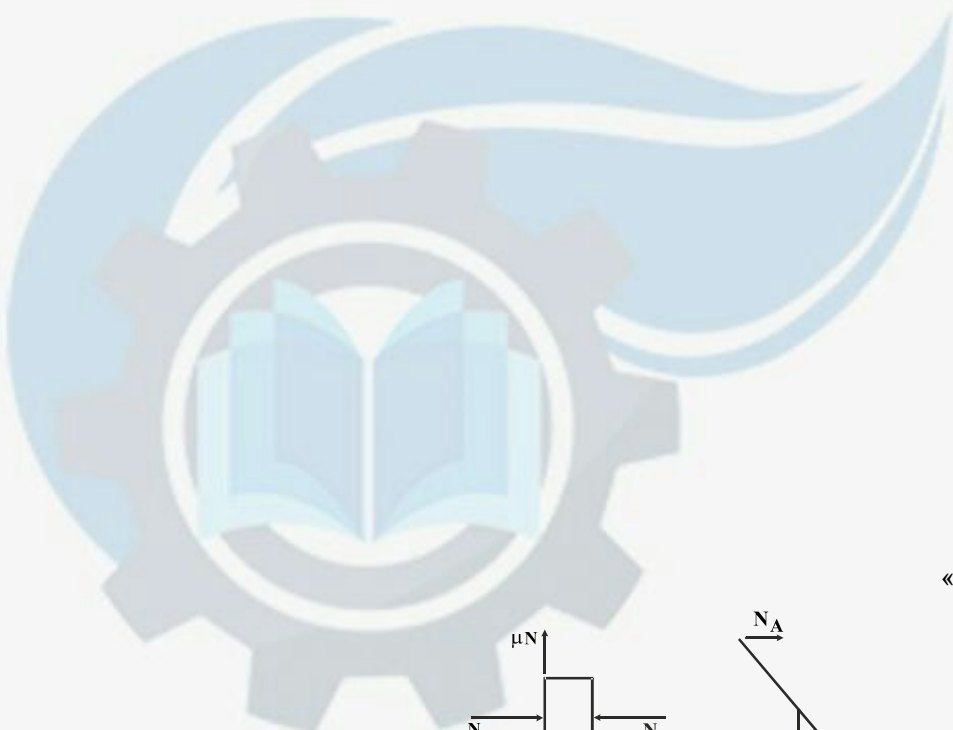
$$F = \frac{d \cdot D \cdot S_u}{2000}$$

در این رابطه d قطر طناب، D قطر چرخ و S_u استحکام کشش نهایی است.

$$D = 2 \times 75 = 150 \text{ mm}$$

$$F = \frac{16 \times 10^{-3} \times 150 \times 10^{-3} \times 1 / 4 \times 10^9}{2 \times 10^3} = 1680 \text{ N}$$





«۴» گزینه ۴ • ۱

$$N = N_A$$

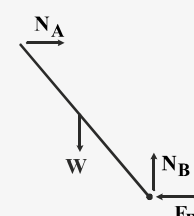
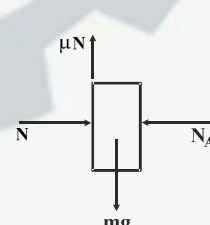
$$\mu_s N = m_o g$$

$$N = N_A = \frac{m_o g}{\mu_s}$$

$$N_A = F_B \quad N_B = mg$$

$$N_A L \cos \theta = W \frac{L}{r} \sin \theta$$

$$\frac{m_o g}{\mu_s} \cos \theta = \frac{m g}{r} \sin \theta \rightarrow \tan \theta = \frac{r m_o}{\mu_s m} \rightarrow \theta = \tan^{-1} \frac{r m_o}{\mu_s m}$$



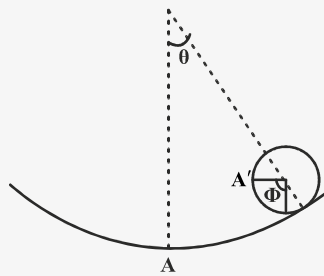
«۳» - گزینه ۱۰۲

$$rR\theta = R(\theta + \phi) \rightarrow \phi = r\theta$$

$$V = -Mg \times rR \cos \theta - mg(rR \cos \theta - \frac{rR}{r} \cos \phi)$$

$$V = -rMgR \cos \theta - mgR(r \cos \theta - \frac{r}{r} \cos r\theta)$$

$$\frac{dV}{d\theta} = 0 \rightarrow \theta = 0^\circ, \frac{d^2V}{d\theta^2} > 0 \quad \theta = 0^\circ \rightarrow M > \frac{m}{r}$$

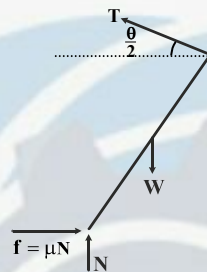


«۱» - گزینه ۱۰۳

$$\sum M_C = 0 \rightarrow \mu NL = W \frac{L}{r} \sin \theta$$

$$\sum F_x = 0 \rightarrow \mu N = T \cos \left(\frac{\theta}{2} \right) = \frac{W}{r}$$

$$\sum F_y = 0 \rightarrow N + T \sin \left(\frac{\theta}{2} \right) = W$$



با حذف T و N از روابط بالا:

$$\sin \frac{\theta}{2} = \mu \cos \frac{\theta}{2} \Rightarrow \theta = 2 \tan^{-1} \mu$$

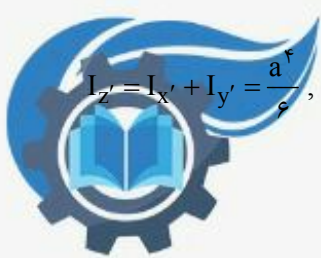
«۲» - گزینه ۱۰۴

$$I_x = I_y = \frac{a^4}{4}$$

$$I_z = I_x + I_y = \frac{a^4}{4} + \frac{a^4}{4} = \frac{a^4}{2}$$

$$k_o = \sqrt{\frac{I_z}{A}} = \sqrt{\frac{\frac{a^4}{2}}{a^2}} = a$$

$$I_{x'} = I_{y'} = \frac{a^4}{12}$$



$$I_{z'} = I_{x'} + I_{y'} = \frac{a^4}{6}, k_A = \sqrt{\frac{I_{z'}}{A}} = \sqrt{\frac{\frac{a^4}{6}}{a^2}} = \frac{a}{\sqrt{6}}$$

«۱۰۵ - گزینه»

نکته: در حالتی که جسم مرکب داشته باشیم:

$$\bar{x} = \frac{\sum(Ax_C)}{\sum A}, \quad \bar{y} = \frac{\sum(Ay_C)}{\sum A}$$

$$A_1 = \frac{\pi a^2}{4}, \quad \bar{x}_1 = \bar{y}_1 = \frac{4a}{3\pi} \quad \text{برای ربع دایره}$$

$$A_2 = \frac{-a^2}{4}, \quad \bar{y}_1 = \frac{a}{3}, \quad \bar{x}_1 = \frac{a}{6} \quad \text{مثلف}$$

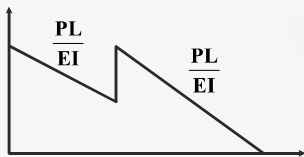
$$\bar{x} = \frac{\frac{\pi a^2}{4} \times \frac{4a}{3\pi} - \frac{a^2}{4} \times \frac{a}{6}}{\frac{\pi a^2}{4} - \frac{a^2}{4}} = \frac{\gamma a}{\pi(\pi-1)}$$

$$\bar{y} = \frac{\frac{\pi a^2}{4} \times \frac{4a}{3\pi} - \frac{a^2}{4} \times \frac{a}{3}}{\frac{\pi a^2}{4} - \frac{a^2}{4}} = \frac{a}{\pi-1}$$

* با استفاده از قانون اشکال مرکب، هندسه صورت سؤال را به دو هندسه ساده تبدیل می‌کنیم.

«۱۰۶ - گزینه»

با استفاده از روش لنگر سطح داریم:

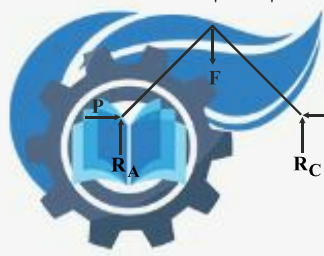


$$t_B = \delta_B = \left(\frac{PL}{EI} \right) \left(L \right) \left(\frac{2L}{3} \right) + \frac{PL}{2EI} \times L \times \frac{2L}{2} + \frac{PL}{2EI} \times L \times \frac{\Delta L}{3} = \frac{3PL^3}{2EI}$$

«۱۰۷ - گزینه»

نکته: چون هر دو فنر در نقطه B به یک میزان جابجا می‌شوند، می‌توان آنها را به صورت دو فنر موازی در نظر گرفت.

$$k_{eq} = k + \frac{k}{2} = \frac{3k}{2}$$



$$\sum M_C = 0 \rightarrow -R_A(L_1 + L_2) + FL_2 = 0 \rightarrow R_A = \frac{3L_2 k \Delta}{2(L_1 + L_2)}$$

$$\sum M_B = 0 \rightarrow -R_A L_1 + P \Delta = 0 \rightarrow P_{Cr} = \frac{3k L_1 L_2}{2(L_1 + L_2)}$$

«۲»- گزینه ۱۰۸

نکته: اگر بخواهیم تغییر مکان در نقطه‌ای از سازه را که در آن نقطه باری وارد نمی‌شود پیدا کنیم، باید از یک نیروی موہومی متناظر با تغییر مکان مطلوب در آن نقطه استفاده کنیم.

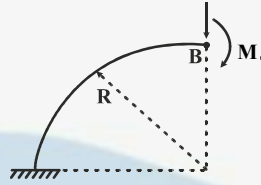
$$\delta_i = \frac{\partial u}{\partial P_i} = \int_0^L \frac{M}{EI} \frac{\partial M}{\partial P_i} dx$$

با توجه به نکته بیان شده بار موہومی قائم P را در B در اعمال می‌کنیم.

$$M = M_o + PR \cos \theta$$

$$\frac{\partial M}{\partial P} = R \cos \theta$$

$$\delta_B = \frac{\partial u}{\partial P} = \int_0^{\pi} \frac{M \frac{\partial M}{\partial P} Rd\theta}{EI} = \int_0^{\pi} \frac{M_o(R \cos \theta)Rd\theta}{EI} = \frac{M_o R \gamma}{EI}$$

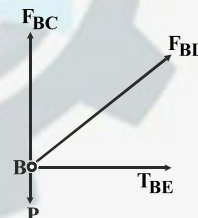


«۳»- گزینه ۱۰۹

نکته ۱: چون تعداد مجھولات از تعداد معادلات حاکم بیشتر است، سازه از نظر استاتیکی نامعین است.

$$\sum F_y = 0 \rightarrow \frac{\sqrt{\gamma}}{\gamma} F_{BD} + F_{BC} = P \rightarrow F_{BD} = \sqrt{\gamma} P - \sqrt{\gamma} F_{BC}$$

$$\sum F_x = 0 \rightarrow \frac{\sqrt{\gamma}}{\gamma} F_{BD} + F_{BE} = 0 \rightarrow F_{BE} = -\frac{\sqrt{\gamma}}{\gamma} F_{BD}$$



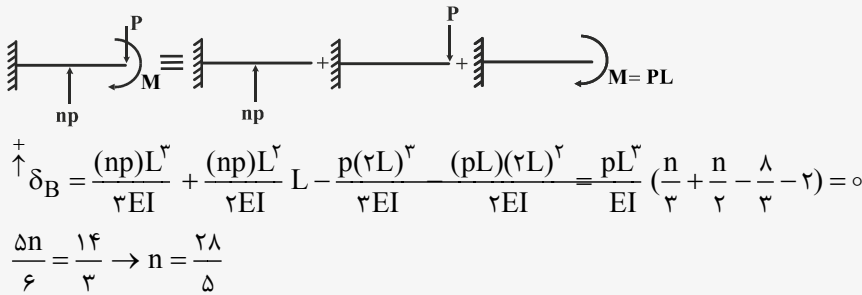
(نقطه C تکیه‌گاه سازه است). $\delta_C = 0$

$$\delta_C = \frac{\partial u}{\partial F_{BC}}, u = \sum \frac{F^\gamma L}{\gamma AE} \rightarrow \delta_C = \frac{R}{EA} \sum F \frac{\partial F}{\partial F_{BC}} = 0 \rightarrow \delta_C = ((F_{BC}) + (-\gamma P + \gamma F_{BC}) + (-P + F_{BC})) \left(\frac{R}{EA} \right) = 0$$

$$\rightarrow F_{BC} = \frac{\gamma}{\gamma} P \rightarrow \sqrt{\gamma} P - \frac{\gamma \sqrt{\gamma}}{\gamma} P = \frac{\sqrt{\gamma}}{\gamma} P$$

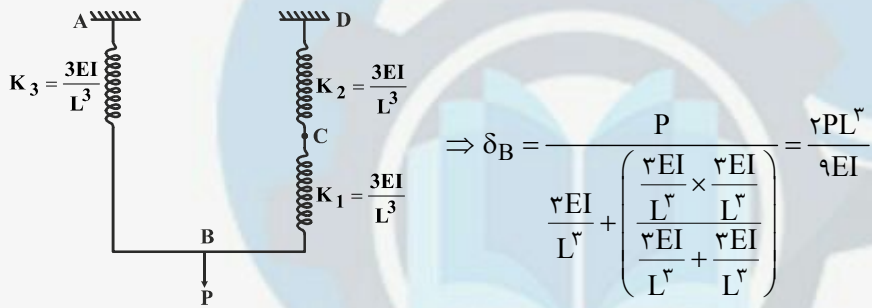


«۱۱۰- گزینه «۱»



«۱۱۱- گزینه «۳»

اگر مجموعه فنر و تیر را به صورت فنرهای معادل در نظر بگیریم، در این صورت فنرهای CD و BC به صورت سری و معادل آنها با فنر AB موازی می‌باشد.



«۱۱۲- گزینه «۲»

$$\theta_1 = 3^\circ, \theta_2 = 15^\circ, \theta_3 = 9^\circ$$

$$\varepsilon_1 = \varepsilon_x \cos^\gamma \theta_1 + \varepsilon_y \sin^\gamma \theta_1 + \gamma_{xy} \sin \theta_1 \cos \theta_1$$

$$0 = 0/\gamma \Delta \varepsilon_x + 0/\gamma \Delta \varepsilon_y + 0/43301 \gamma_{xy} \quad (1)$$

$$\varepsilon_2 = \varepsilon_x \cos^\gamma \theta_2 + \varepsilon_y \sin^\gamma \theta_2 + \gamma_{xy} \sin \theta_2 \cos \theta_2$$

$$0 = 0/\gamma \Delta \varepsilon_x + 0/\gamma \Delta \varepsilon_y - 0/43301 \gamma_{xy} \quad (2)$$

$$\varepsilon_3 = \varepsilon_x \cos^\gamma \theta_3 + \varepsilon_y \sin^\gamma \theta_3 + \gamma_{xy} \sin \theta_3 \cos \theta_3$$

$$-\gamma \Delta = 0 + \varepsilon_y + 0 \quad (3)$$

$$\varepsilon_x = \gamma \gamma \Delta \mu, \varepsilon_y = -\gamma \Delta \mu, \gamma_{xy} = 173/2\mu$$

با حل همزمان سه معادله:

«۱۱۳ - گزینه «۴»

نکته ۱: اگر در صفحه‌ای تنش برشی صفر باشد، تنش نرمال در آن صفحه یکی از تنش‌های اصلی است.

نکته ۲: اگر σ_1, σ_2 و σ_3 تنش‌های اصلی باشند:

$$\tau_{\max} = \max\left(\frac{|\sigma_1 - \sigma_2|}{2}, \frac{|\sigma_1 - \sigma_3|}{2}, \frac{|\sigma_2 - \sigma_3|}{2}\right)$$

$$1 \rightarrow \sigma_3 = -20^\circ$$

$$\sigma = \begin{bmatrix} 100 & 16/5 \\ 16/5 & 150 \end{bmatrix} \rightarrow \sigma_{1,2} = \frac{250}{2} \pm \sqrt{\left(\frac{50}{2}\right)^2 + 16/5^2} = 125 \pm 3^\circ \Rightarrow \begin{cases} \sigma_1 = 155 \\ \sigma_2 = 95 \end{cases}$$

$$2 \rightarrow \tau_{\max} = \frac{155 + 20^\circ}{2} = 177.5$$

«۱۱۴ - گزینه «۲»

$$C = 20 \text{ kN} \quad F = 5 \text{ kN}$$

$$L = \left(\frac{C}{F}\right)^a = \left(\frac{20}{5}\right)^3 = 64 \text{ میلیون دور}$$

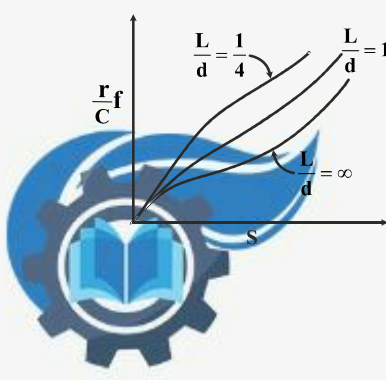
$$\text{ساعت} = \frac{64 \times 10^6}{2000 \times 60} = 533/3$$

«۱۱۵ - گزینه «۱»

نکته ۱: افزایش دمای روانساز باعث کاهش گرانزوی روانساز می‌گردد که این موضوع یکی از عواملی است که روانسازی هیدرودینامیک را به روانسازی مرزی میل می‌دهد.

نکته ۲: در مواردی که باتاقان‌ها در دماهای بسیار بالا کار می‌کنند از روانسازهای جامد استفاده می‌شود.

نکته ۳: با توجه به نمودار زیر با افزایش عدد سامرفیلد یا کاهش $\frac{L}{d}$ ، ضریب متغیر مالش افزایش می‌یابد.



«۳» - گزینه ۱۱۶

$$\frac{w_w}{w_G} = \frac{N_G}{N_w} = \frac{2^\circ}{4^\circ} = 5$$

«۴» - گزینه ۱۱۷

نکته: افزایش تعداد دندانهای چرخدنده ساده سبب افزایش ضریب هندسی چرخدنده می‌شود.

نکته: چرخدنده‌های هلیکال نسبت به چرخدنده‌های ساده، کم سروصدایترند. از این رو در سرعتهای بالاتر از این نوع چرخدنده‌ها استفاده می‌شود. زاویه دندانه‌ها با محور چرخدنده، زاویه هلیکس نامیده می‌شود که این زاویه باید در دو چرخدنده هلیکال که با هم درگیر هستند مساوی باشد.

«۳» - گزینه ۱۱۸

نکته: در این نوع ترمزا فشار در $\theta = 90^\circ$ ماکزیمم است و اگر زاویه سر کفشک کمتر از 90° باشد فشار در سر کفشک ماکزیمم است. با توجه به نکته بیان شده در این حالت فشار در زاویه 90° یعنی نقطه C ماکزیمم است.

«۲» - گزینه ۱۱۹

$$f\theta = (\circ/28)(2\pi)\left(\frac{27^\circ}{36^\circ}\right) = 1/32$$

$$P_r = \frac{P_1}{e^{f\theta}} = \frac{\gamma/\Delta}{e^{1/32}} = 2 \text{ kN}$$

$$T = (\gamma/\Delta - 2)\left(\frac{30^\circ}{\gamma}\right) = 825 \text{ N.m}$$

* در رابطه $f\theta$ ، زاویه θ باید بر حسب رادیان بیان شود.



«۱۲۰- گزینه «۴»

نکته ۱: بازده تسمه‌های V شکل نسبت به تسمه‌های تخت اندکی کمتر است.

نکته ۲: وقتی قطر پولی کاهش یابد، تسمه به میزان بیشتری خم می‌شود که در نتیجه تنש‌های متناوب خمشی بزرگتری را تحمل می‌نماید که باعث کاهش عمر تسمه می‌گردد.

نکته ۳: برای اجتناب از لغزش، عبارت $e^{f(t)}$ باید بزرگتر از نسبت کشش باشد.



«۱۲۱- گزینه ۳»

چون زاویه θ کوچک است پس:

اگر طناب به اندازه $l \sin \theta$ جایه جا شود مقدار کشیدگی فنر برابر با $\frac{l}{\sqrt{3}} \sin \theta$ خواهد بود پس

$$T = k \Delta x = \frac{kl}{\sqrt{3}} \sin \theta$$

$$\sum M_O = 0$$

$$T_x l - mg \cos \theta \frac{l}{\sqrt{3}} = 0$$

$$T.l - mg \cos \theta \frac{l}{\sqrt{3}} = 0$$

$$\frac{kl}{\sqrt{3}} \sin \theta = mg \cos \theta \frac{l}{\sqrt{3}}$$

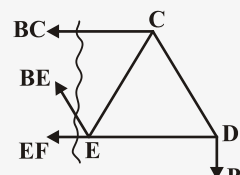
$$\tan \theta = \frac{mg}{kl} \Rightarrow \theta = \tan^{-1} \frac{mg}{kl}$$

«۱۲۲- گزینه ۴»

برای بدست آوردن BE از برش زیر استفاده می‌کنیم.

$$\sum M_E = 0$$

$$-PL + BC \times \frac{\sqrt{3}}{2} l = 0$$



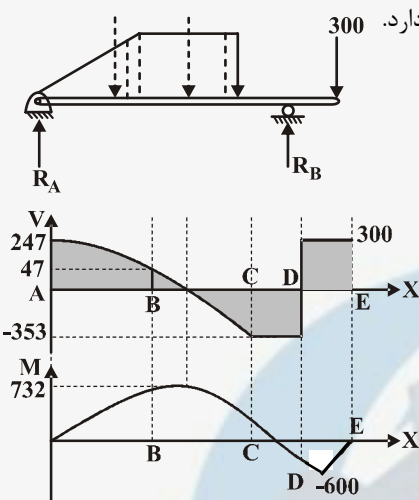
$$\sum F_y = 0 \quad BE \frac{\sqrt{3}}{2} = P \Rightarrow BE = \frac{P}{\sqrt{3}} \quad \text{کششی}$$

برای BF نیز مطابق بالا خواهیم داشت

$$\sum F_y = 0 \quad -BF \frac{\sqrt{3}}{2} - P = 0 \quad BF = -\frac{P}{\sqrt{3}} \quad \text{فشاری}$$



«۳» - گزینه ۱۲۲

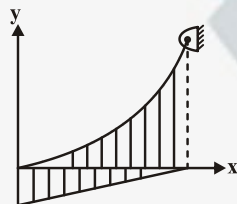


$$R_B \times 10 = 300 \times 12 + 400 \times 6 + 200 \times \frac{8}{3}$$

$$R_A = 247 \text{ N}$$

نمودار نیروی برشی را به صورت کیفی رسم می‌کنیم
می‌دانیم که نیروی برشی با انتگرال گیری از بار به دست می‌آید.
بنابراین فقط ماقزیموم در جایی بین B و C رخ می‌دهد.

«۲» - گزینه ۱۲۴



مبداً مختصات را در پایین‌ترین نقطه کابل قرار می‌دهیم.

$$\text{معادله بار گستردگی به صورت } w(x) = -\frac{W_0}{l}x + W_0 \text{ خواهد بود.}$$

معادله حاکم بر طناب به شکل $\frac{d^2y}{dx^2} = \frac{w(x)}{H}$ است که $w(x)$ از رابطه بالا جایگذاری می‌شود.

$$\frac{d^2y}{dx^2} = \frac{-\frac{W_0}{l}x + W_0}{H} \Rightarrow H \frac{dy}{dx} = -\frac{W_0}{l}x + W_0 + c_1$$

$$Hy = -\frac{W_0}{l}x^2 + \frac{W_0}{2}x^2 + c_1 x + c_2$$

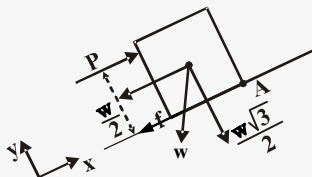
$$\left. \begin{array}{l} x=0 \quad y=0 \\ x=0 \quad \frac{dy}{dx}=0 \\ x=l \quad y=h \end{array} \right\} \quad \text{B.C}$$

$$\text{I, II} \Rightarrow c_1 = c_2 = 0$$

$$h = \frac{-W_0}{l}l^2 + \frac{W_0}{2}l^2 \Rightarrow H = \frac{W_0l^2}{2h} \Rightarrow y = -\frac{h}{l}(\frac{x}{l})^2 + \frac{h}{2}(\frac{x}{l})^2$$

«۱۲۵- گزینه «۱»

در ابتدا دیاگرام آزاد جسم را رسم می کنیم.



برای آنکه جسم بلغزد ابتدا نیروی P را محاسبه می کنیم.

$$\sum F_x = 0 \quad P - \frac{W}{\gamma} - f = 0 \Rightarrow P = \delta \cdot + 17 = 87 \text{ N}$$

$$f - \mu \cdot N = \mu \cdot \frac{W\sqrt{3}}{\gamma} = . / 2 \times 50 \cdot \sqrt{3} = 10 \times 1 / 7 = 17$$

برای اینکه واژگون نشود باید. $\sum M_A = 0$

$$-Ph + \frac{W}{\gamma} \times . / \delta + \frac{W\sqrt{3}}{\gamma} \times . / 3 = 0$$

$$87h = 25 + 86 \times . / 3 \Rightarrow h = \frac{50 / 1}{87} \approx . / 76 \text{ m}$$

«۱۲۶- گزینه «۴»

$$\Delta_1 = \Delta_\gamma$$

$$\left. \begin{aligned} \frac{P_1 L}{E_1 A_1} &= \frac{P_\gamma L}{A_\gamma E_\gamma} \\ P_1 + P_\gamma \end{aligned} \right\} \Rightarrow P_1 = \frac{E_1 A_1}{E_\gamma A_\gamma + E_1 A_1} P$$

$$E_1 = r E_\gamma \quad A_1 = \frac{\pi}{4} D^2 \quad A_\gamma = \frac{\pi}{4} (2d)^2 - \frac{\pi}{4} D^2 \quad A_\gamma = 3A_1$$

$$P_1 = \frac{E_1 A_1}{E_1 A_1 + \frac{r}{4} E_1 A_1} P \Rightarrow P_1 = \frac{r}{5} P$$

$$\Delta A = \frac{P_1 \frac{L}{r}}{E_1 A_1} = \frac{LP}{5 E_1 A_1}$$

«۱۲۷» - گزینه

با نوشتن روابط سازگاری داریم:

$$\delta_x = 0 \rightarrow \frac{\ell}{E} [\sigma_x - v\sigma_y] - \alpha\Delta T = 0$$

$$\delta_y = 0 \rightarrow \frac{\ell}{E} [\sigma_y - v\sigma_x] - \alpha\Delta T = 0$$

$$\sigma_x - v\sigma_y = \alpha\Delta T E$$

$$\sigma_y - v\sigma_x = \alpha\Delta T E \Rightarrow \sigma_x = \sigma_y = \frac{\alpha\Delta T E}{1-v}$$

$$\Rightarrow \Delta T_{max} = \frac{(1-v)\sigma_y}{\alpha E}$$



«۱۲۸» - گزینه

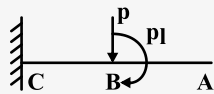
$$\frac{1}{\rho} = \frac{M}{EI} \Rightarrow \frac{\rho_x}{\frac{1}{12}bh^3} = \frac{\rho_x}{\frac{1}{12}bh_o^3 \cdot \ell}$$

$$\frac{1}{P} = \frac{12P\ell}{bh_o^3} = Cte$$

چون مقدار P همیشه ثابت است تیر به صورت قوسی از یک دایره خم می‌شود.



«۱۲۹» - گزینه



برای محاسبه تغییر مکان نقطه B کافی است نیرو را به نقطه B منتقل کنیم.

$$\Delta_B = \frac{P\ell^3}{3EI_{BC}} + \frac{P\ell \times \ell^2}{2EI_{BC}}$$

همانطور که دیده می شود معادلات فقط به I در فاصله BC بستگی دارد و تغییر ضخامت AB هیچ تأثیری روی Δ_B نخواهد داشت.

«۱۳۰» - گزینه

$$\sigma_r = \sigma_\theta = \frac{Pr}{rt}$$

$$\Delta r = \varepsilon_\theta r \quad \Delta t = \varepsilon_r t$$

$$\varepsilon_\theta = \frac{\sigma_\theta}{E} (1 - \nu)$$

$$\varepsilon_r = \frac{-2\nu\sigma_\theta}{E}$$

$$\Delta r = -\nu \Delta t$$

$$\Rightarrow (1 - \nu) = -\nu(-r) \Rightarrow \nu = +/\pm$$

«۱۳۱» - گزینه

$$S = \frac{I}{C} = \frac{\frac{\pi}{4}ab^3}{b} = \frac{\pi}{4}ab^2$$

$$Z = \frac{1}{2}A(\bar{x}_1 + \bar{x}_2) = \frac{1}{2}(\pi ab)\left(\frac{4b}{3\pi} + \frac{4b}{3\pi}\right) = \left(\frac{4ab^2}{3}\right)$$

$$S.F = \frac{Z}{S} = \frac{16}{3\pi}$$

برای دایره نیز ضریب شکل برابر $\frac{16}{3\pi}$ می باشد بنابراین نسبت ضریب شکل ها برابر ۱ می باشد.



«۱» - گزینه ۱۳۴

$$\sigma_{\max} = E\varepsilon = 200 \times 10^9 \times 0.0032 = 640 \text{ MPa}$$

$$K_t = \frac{\sigma_{\max}}{\sigma_n}$$

$$\sigma_n = \frac{MC}{I} = \frac{2 \times 10^9 \times 1 \times 0.0032}{\frac{1}{4}\pi \times (0.0032)^4} = \frac{640}{\pi} \text{ MP}$$

$$\left. \begin{array}{l} \\ \end{array} \right\} \rightarrow K_t = \pi$$

«۲» - گزینه ۱۳۴

برای استوانه تنش‌های شعاعی و محیطی به صورت زیر هستند:

$$\sigma_1 = \frac{PR}{t}, \quad \sigma_2 = \frac{PR}{2t}$$

$$\sigma = \sigma_y = \sqrt{\sigma_1^2 + \sigma_2^2 - \sigma_1 \sigma_2} = \sqrt{\left(\frac{PR}{t}\right)^2 + \left(\frac{PR}{2t}\right)^2 - \frac{P^2 R^2}{4t^2}} = \frac{\sqrt{3}}{2} \frac{PR}{t} \Rightarrow t = \frac{\sqrt{3}}{2} \frac{PR}{\sigma_y}$$

برای مخزن کروی:

$$\sigma_1 = \sigma_2 = \frac{PR}{t}$$

$$\sigma_u = \sqrt{\sigma_1^2 + \sigma_2^2 - \sigma_1 \sigma_2} = \sqrt{2\left(\frac{PR}{t}\right)^2 - \left(\frac{PR}{t}\right)^2} = \frac{PR}{t} \Rightarrow t = \frac{PR}{\sigma_y}$$

$$\frac{\sqrt{3}}{2} \frac{PR}{\sigma_y} = \frac{\frac{\sqrt{3}}{2} PR}{\frac{PR}{\sigma_y}} = \frac{\sqrt{3}}{2}$$



«۲» - گزینه ۱۳۴

قطعه در ابتدا تحت تنش کاملاً معکوس قرار دارد.

$$\sigma = \frac{MC}{I} = \frac{M}{\frac{I}{C}} = \frac{400 \times 4}{3} = 533$$

چون عمر قطعه محدود است در حالت ۱:

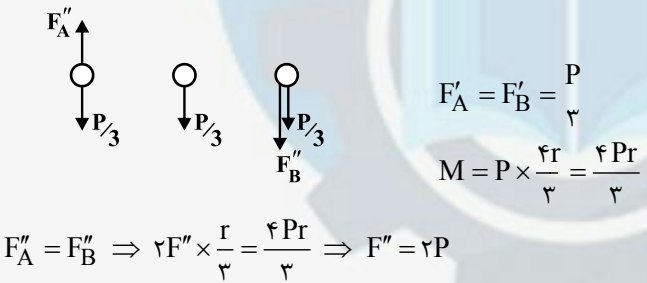
$$\frac{\sigma_{a_1}}{S_{f_1}} = 1$$

$$\frac{\sigma_{a_r}}{S_{f_r}} + \frac{\sigma_m}{S_{yt}} = 1 \Rightarrow \sigma_{a_r} = (1 - \frac{\sigma_m}{S_{yt}})S_{f_r} = (1 - \frac{\sigma_m}{S_{yt}})\sigma_{a_1}$$

$$S_{f_1} = S_{f_r} \quad \sigma_{a_r} = (1 - \frac{400}{533})533 = 400 \text{ MPa}$$

«۳» - گزینه ۱۳۵

در ابتدا مقدار نیروهای اولیه و ثانویه را روی هر پیچ بدست می‌آوریم.



$$F_A'' = F_B'' \Rightarrow 2F'' \times \frac{r}{3} = \frac{4Pr}{3} \Rightarrow F'' = 2P$$

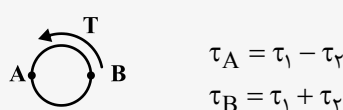
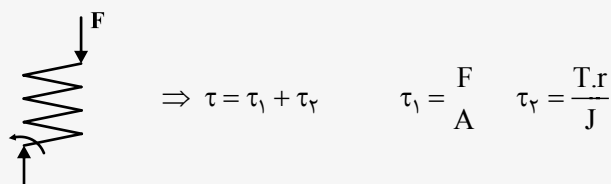
$$F_{TA} = \frac{\delta P}{r}$$

$$F_{TB} = \frac{\gamma P}{r} \quad \frac{\tau_A}{\tau_B} = \frac{F_A}{F_B} = \frac{\frac{\delta}{r} P}{\frac{\gamma}{r} P} = \frac{\delta}{\gamma}$$



«۱۳۶- گزینه «۱»

دیاگرام آزاد فنر را رسم می‌کنیم:



اگر سیم مفتول فر به صورت روپرو باشد:
پس شکست احتمالی در نقطه B رخ می‌دهد.

«۱۳۷- گزینه «۴»

عمر مفید بلبیرینگ از رابطه زیر محاسبه می‌شود.

$$L_{10} = \left(\frac{C}{F}\right)^3 = \left(\frac{18}{9}\right)^3 = 8 \text{ milion}$$

$$8^3 / 3 \times 60 = 500 \text{ min}$$

$$\text{سرعت دورانی شفت} = \frac{18 \times 10^6}{5 \times 10^3} = 1600 \frac{\text{rev}}{\text{min}}$$

سرعت شفت $1600 \frac{\text{rev}}{\text{min}}$ است.

«۱۳۸- گزینه «۱»

برای چرخدنده‌های مارپیچ روابط زیر برقرار است:

$$P_d = P_{dn} \cos \psi = 50 \cos 14^\circ / 5 = 48 / 4$$

گام قطری از تقسیم تعداد دندانه‌ها بر P_d بدست می‌آید.

$$d = \frac{N}{P_d} = \frac{N}{48/4} = 0/4 \Rightarrow N = 48/4 \times 0/4 = 19/36 \approx 20$$



«۳» - گزینه ۱۳۹

$$P = F \cdot V = Fr \omega$$

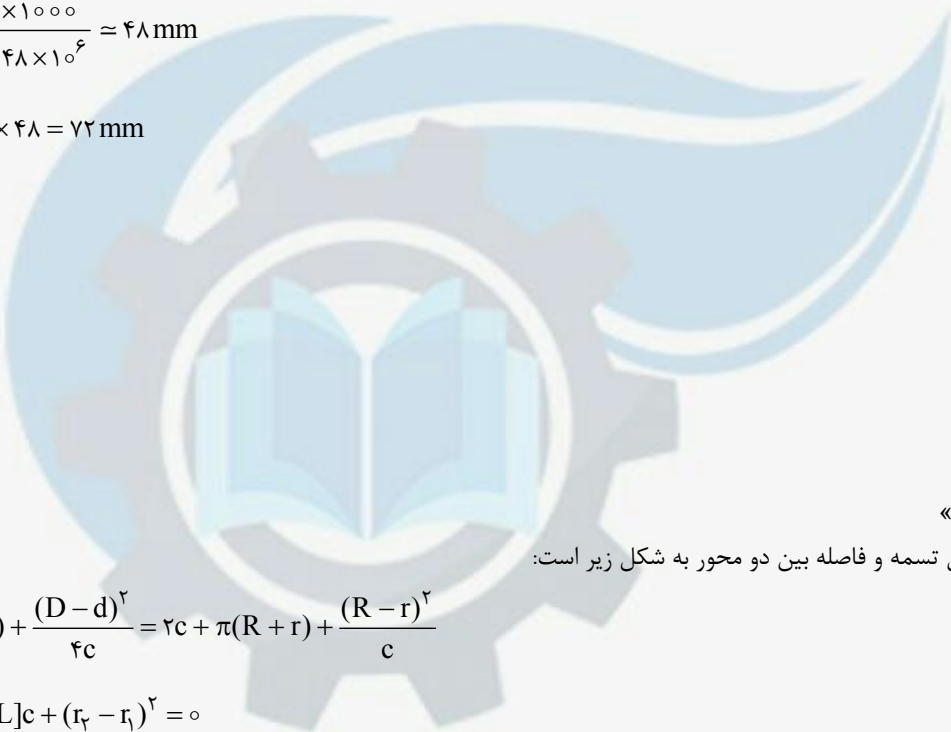
$$T = Fr$$

$$T = \frac{P}{\omega} = \frac{\gamma / \rho \times 10^3}{300 \times \frac{2\pi}{60}} = 1000$$

$$\left. \begin{array}{l} \tau_{\max} = \frac{TR}{J} \\ J = \frac{\pi d^4}{32} \end{array} \right\} \rightarrow \tau = \frac{T \times \frac{d}{r}}{\frac{\pi d^4}{32}} = \frac{16T}{\pi d^3}$$

$$d = \sqrt[3]{\frac{16T}{\pi r}} = \sqrt[3]{\frac{16 \times 1000}{\pi \times 48 \times 10^3}} \approx 48 \text{ mm}$$

$$d_t = F_s \times d = 1/5 \times 48 = 9.6 \text{ mm}$$



«۳» - گزینه ۱۴۰

رابطه بین طول تسممه و فاصله بین دو محور به شکل زیر است:

$$L = \gamma c + \frac{\pi}{\gamma} (D + d) + \frac{(D - d)^2}{4c} = \gamma c + \pi(R + r) + \frac{(R - r)^2}{c}$$

$$\gamma c^2 + [\pi(R + r) - L]c + (r_r - r_l)^2 = 0$$

$$\gamma c^2 + [\pi \times 130 - 120]c + 30^2 = 0$$

$$\gamma c^2 - 791/\gamma c + 900 = 0 \Rightarrow c \approx 395$$

